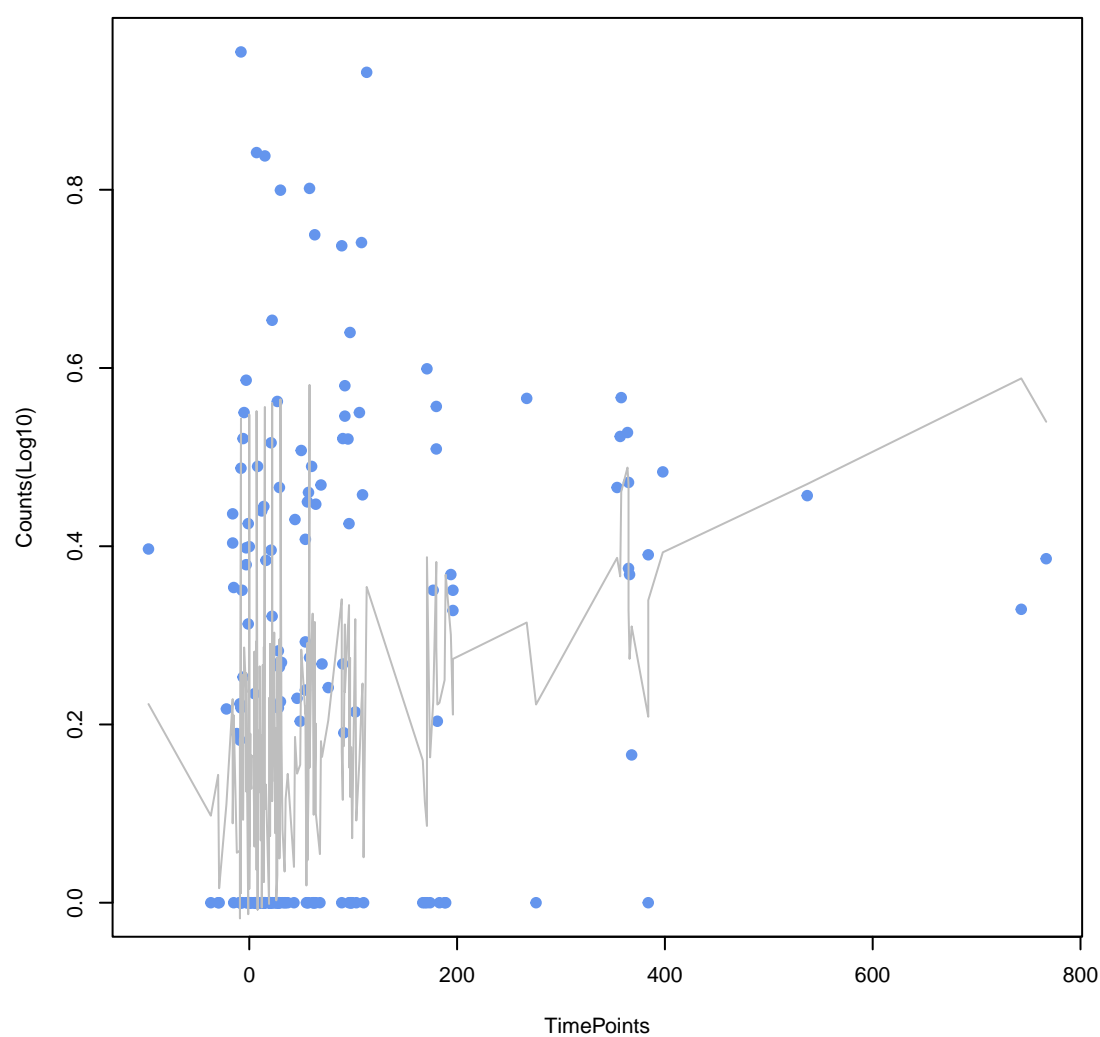
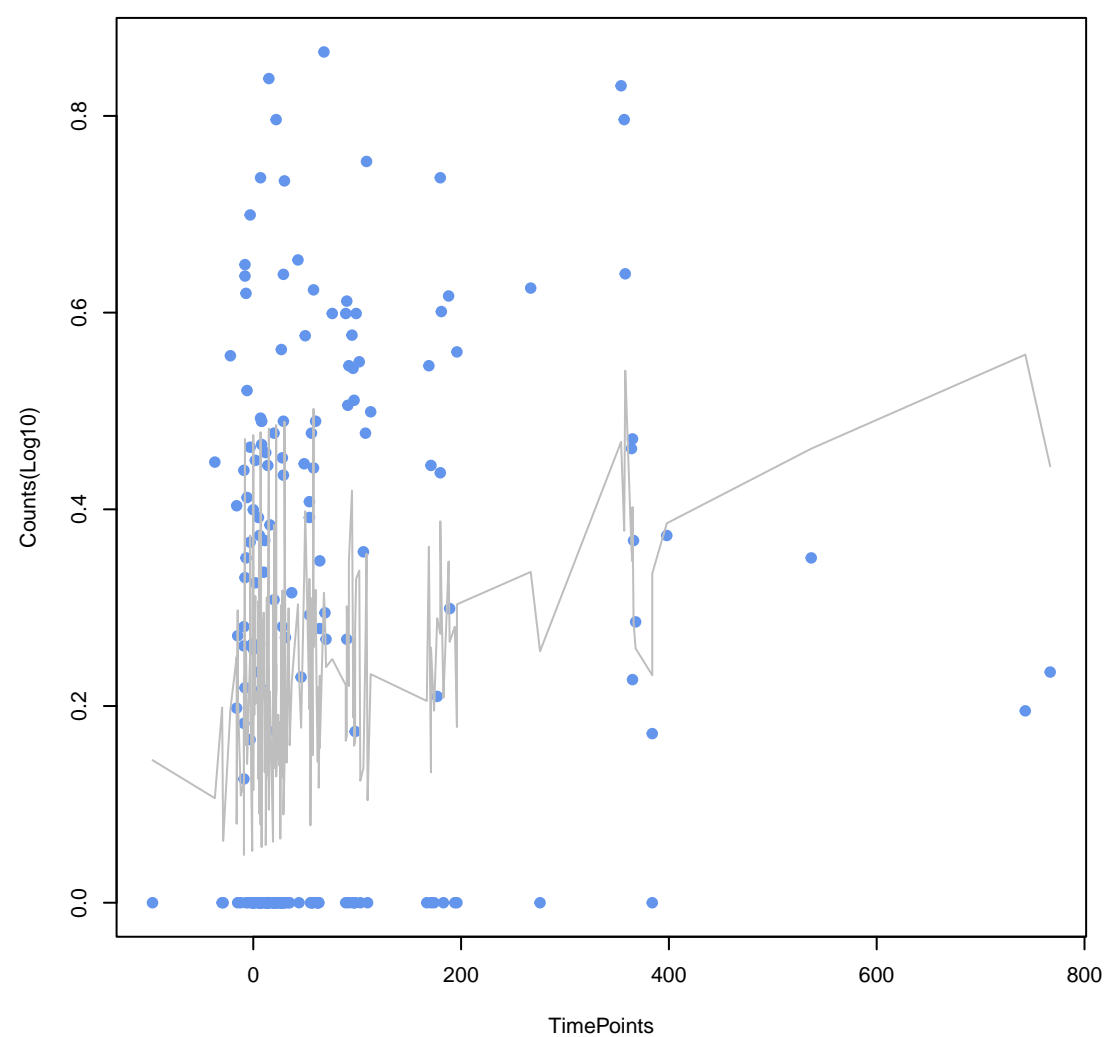


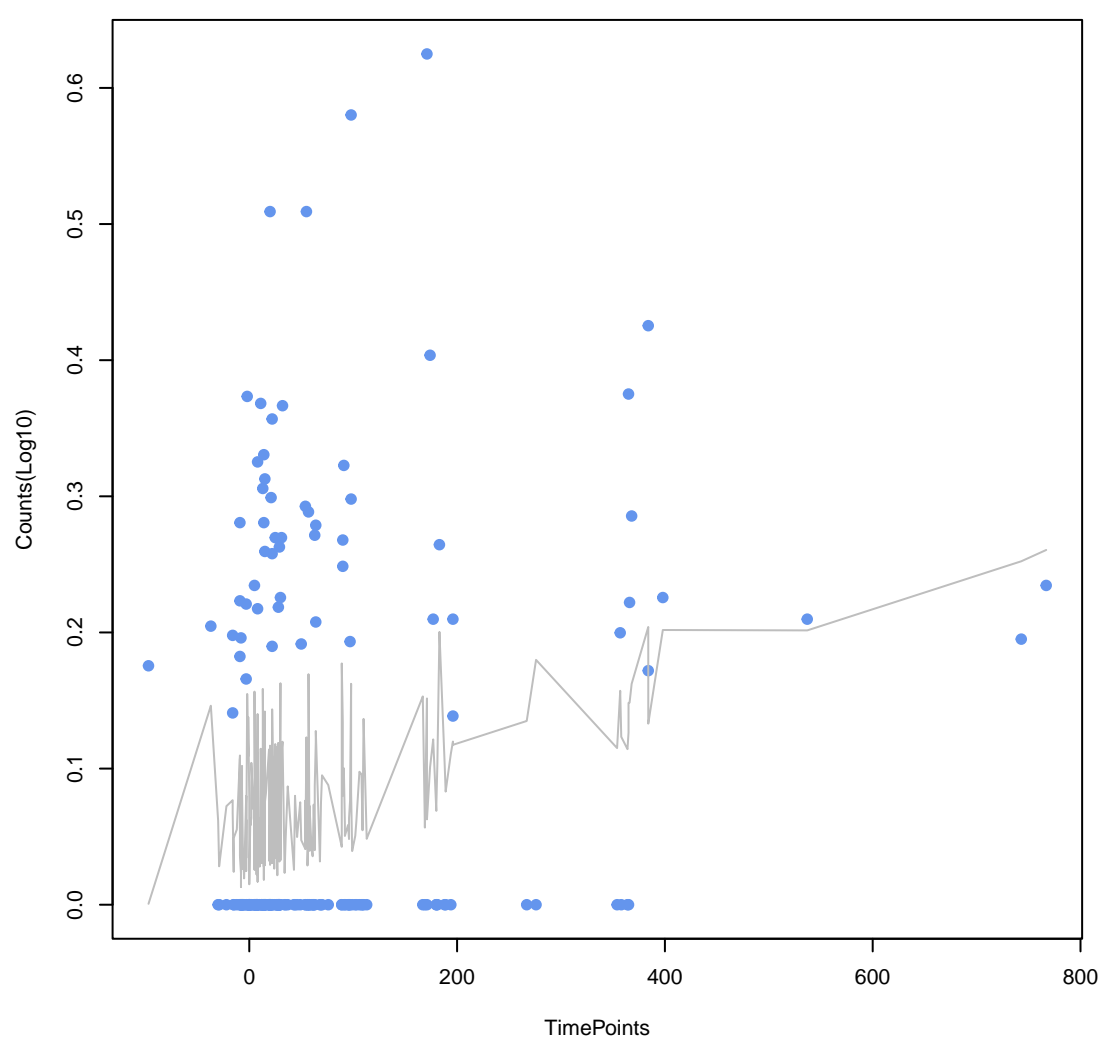
nimA
ANOVA $P=1.1\text{e-}05$, adj. ANOVA $P=0.00117$



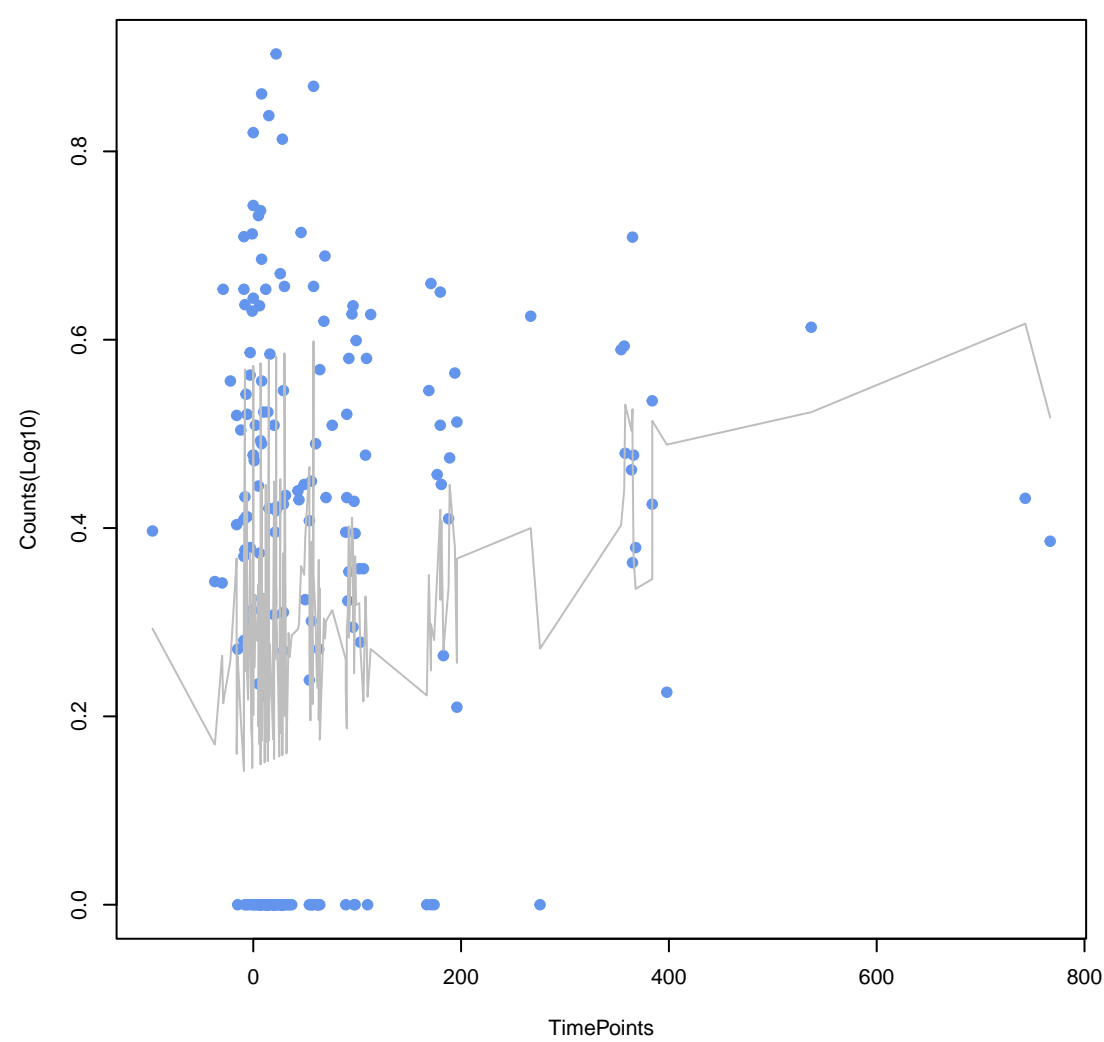
nimJ
ANOVA $P=0.00114$, adj. ANOVA $P=0.0415$



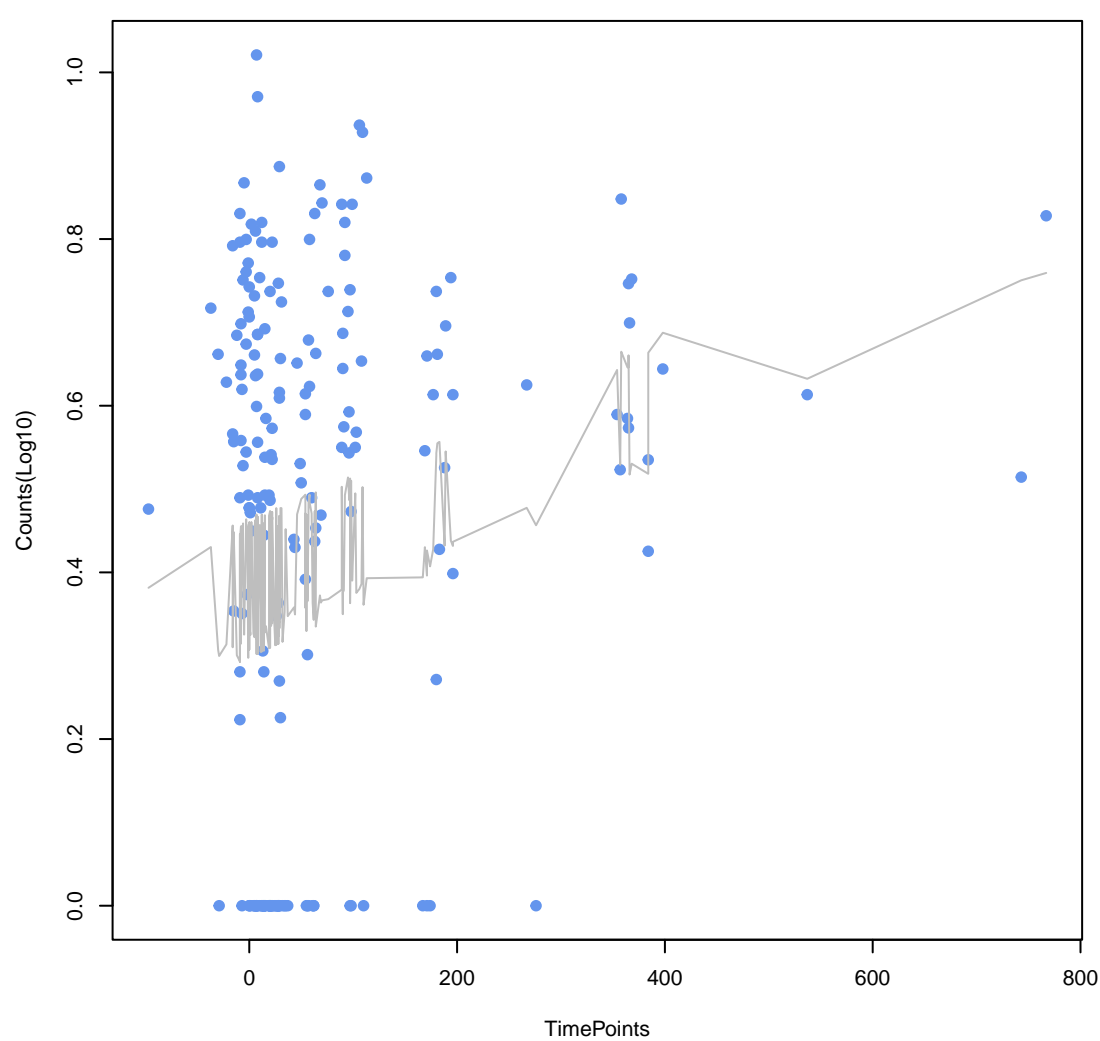
evgA
ANOVA $P=0.00116$, adj. ANOVA $P=0.0415$



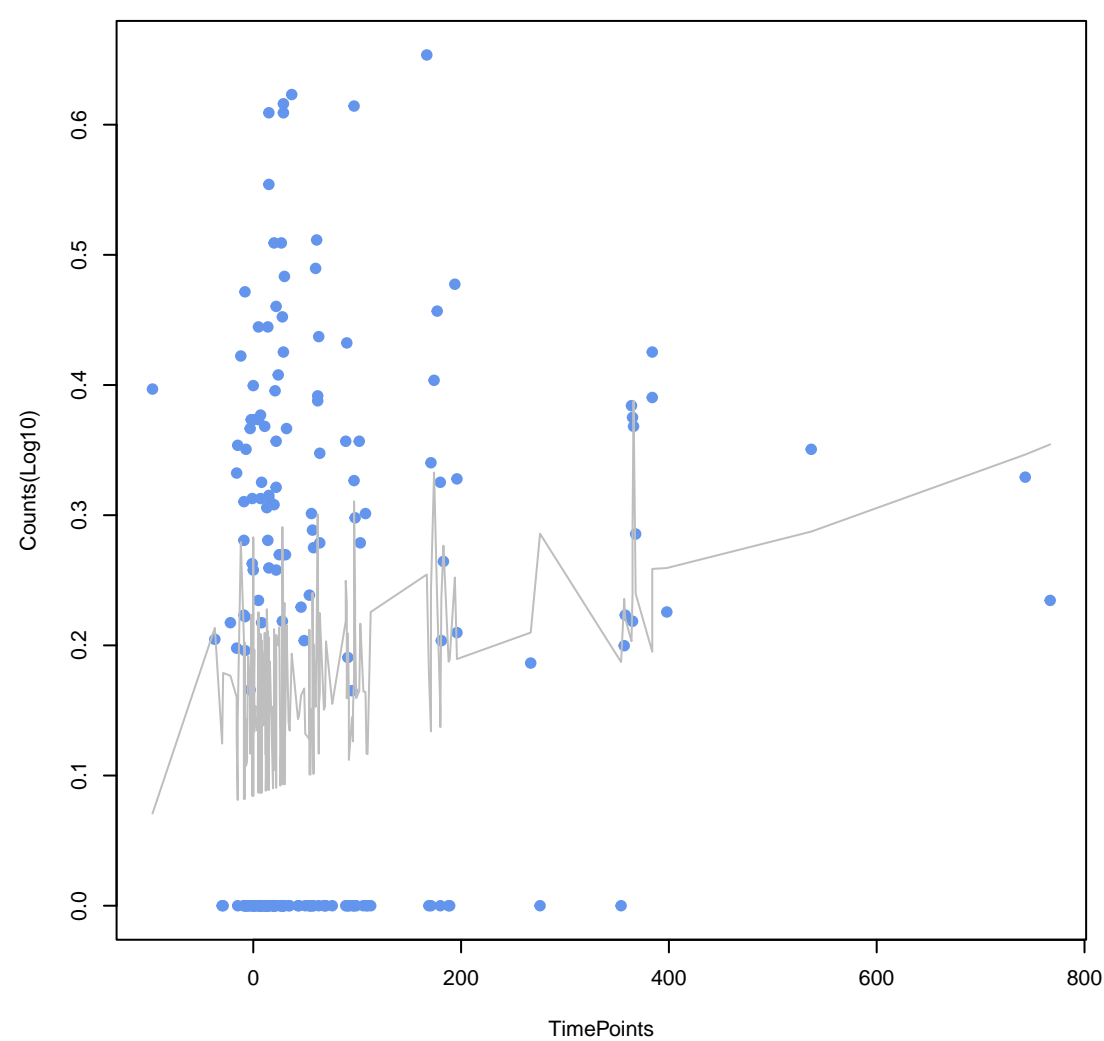
tet(36)
ANOVA $P=0.00348$, adj. ANOVA $P=0.0879$



tet(T)
ANOVA $P=0.00411$, adj. ANOVA $P=0.0879$

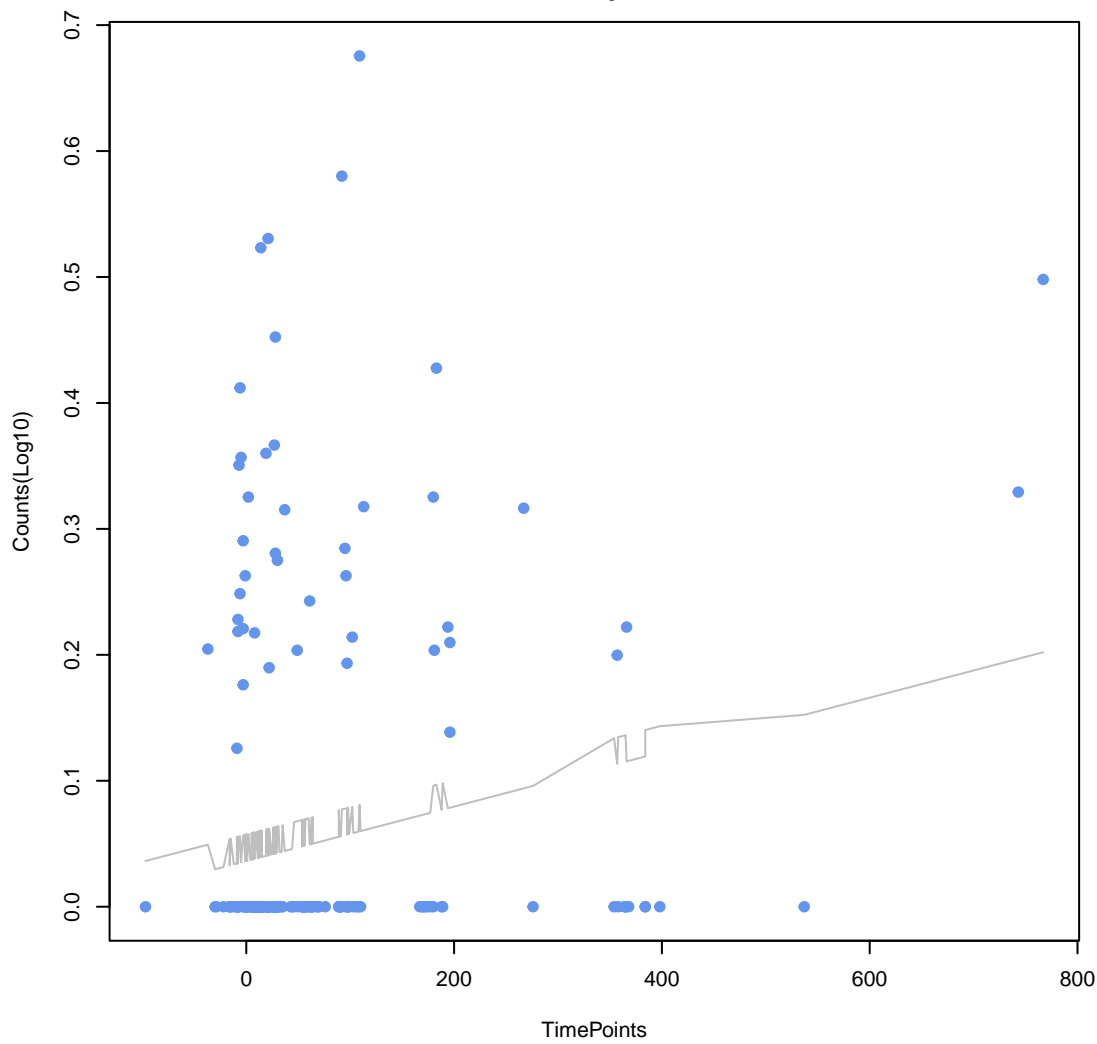


bacA
ANOVA $P=0.00607$, adj. ANOVA $P=0.106$



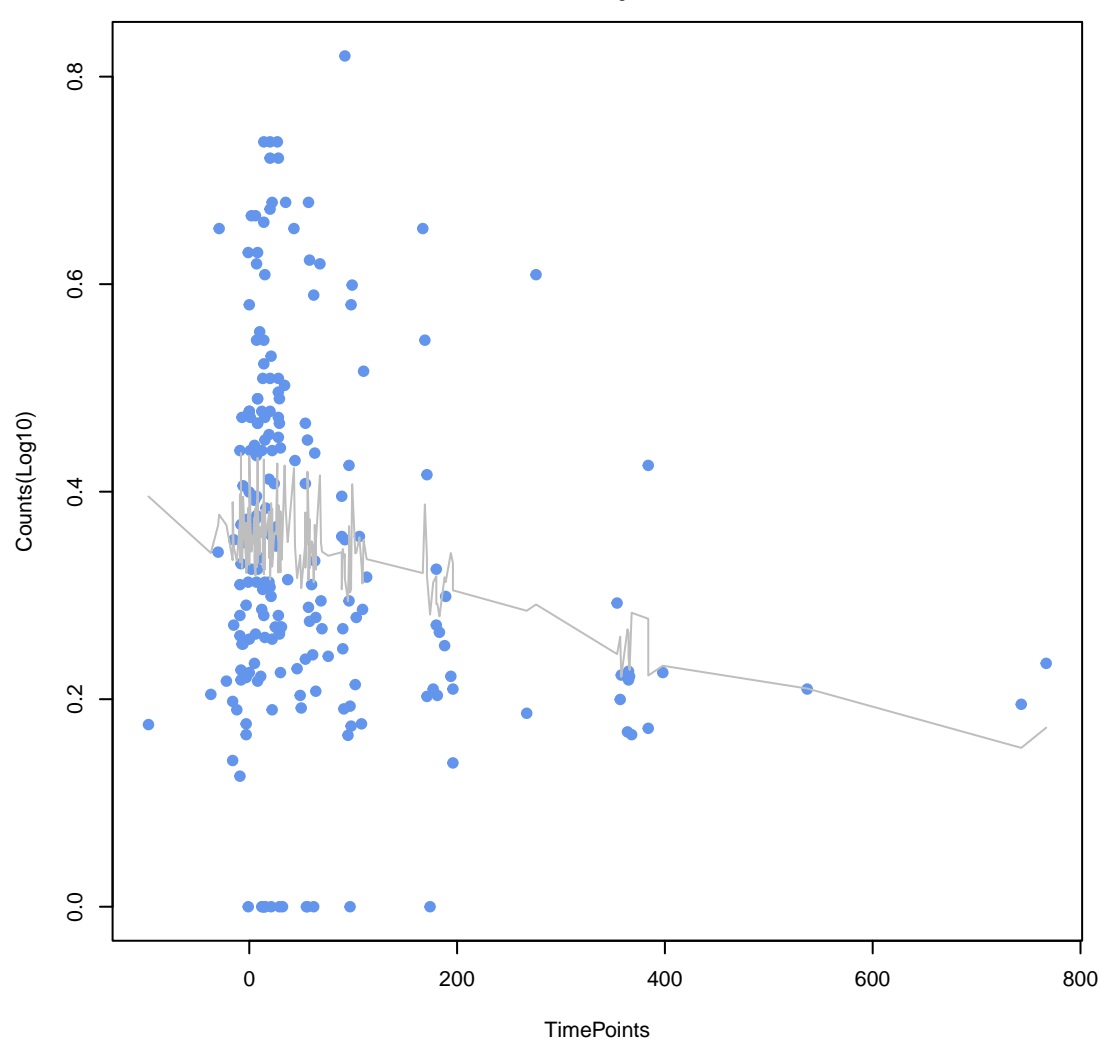
adeA

ANOVA P=0.0077, adj. ANOVA-P=0.106



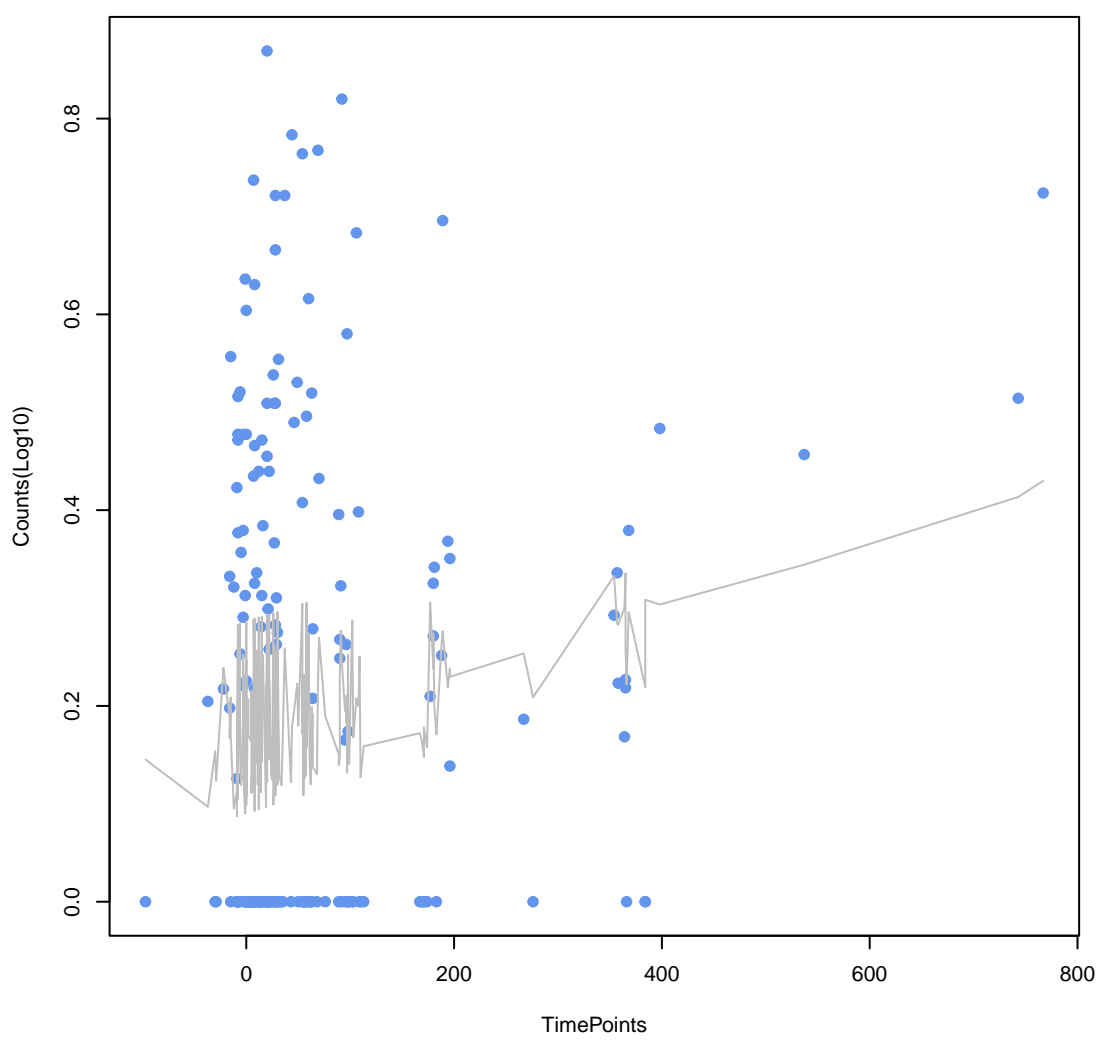
ErmB

ANOVA P=0.00789, adj. ANOVA-P=0.106



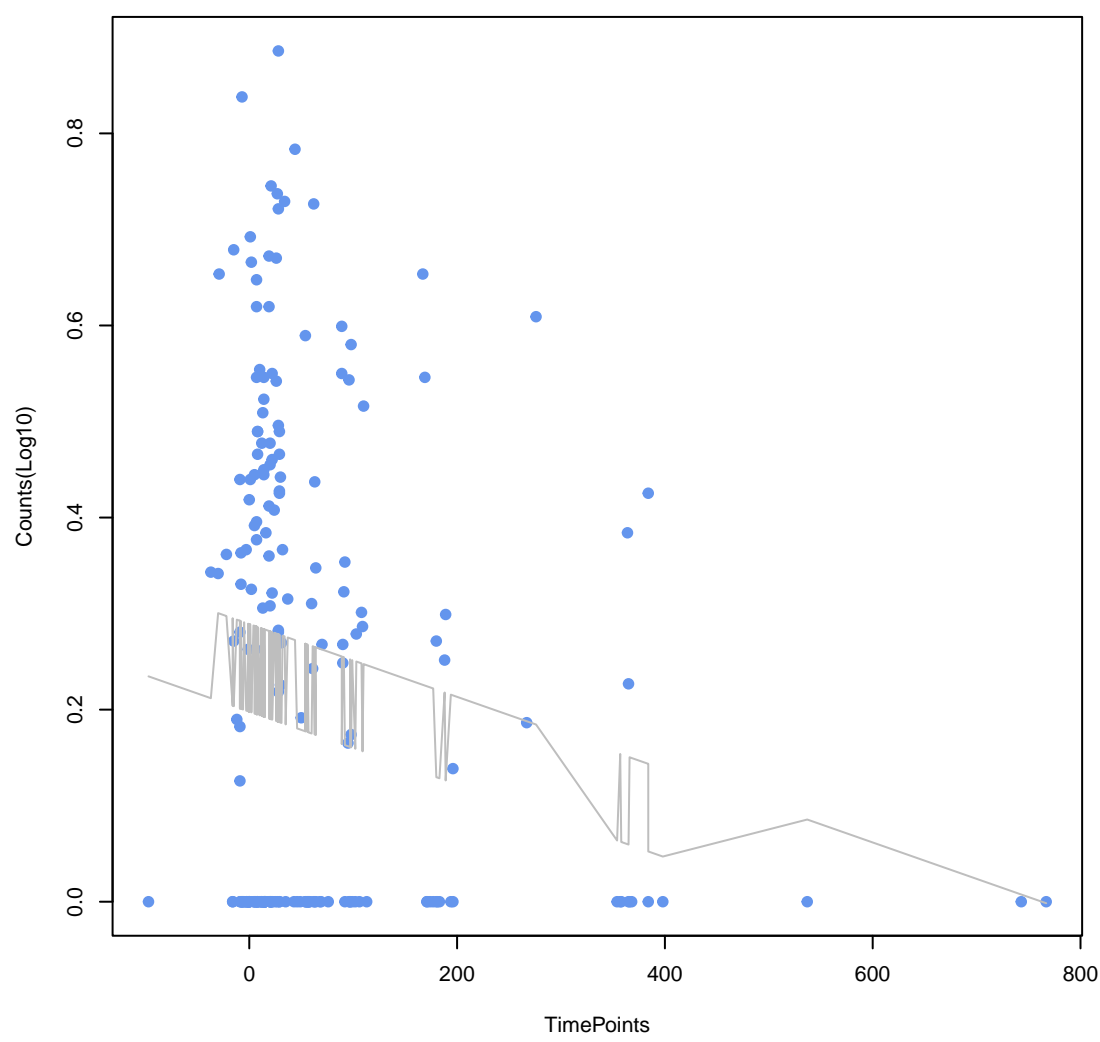
tet(44)

ANOVA P=0.0171, adj. ANOVA-P=0.164



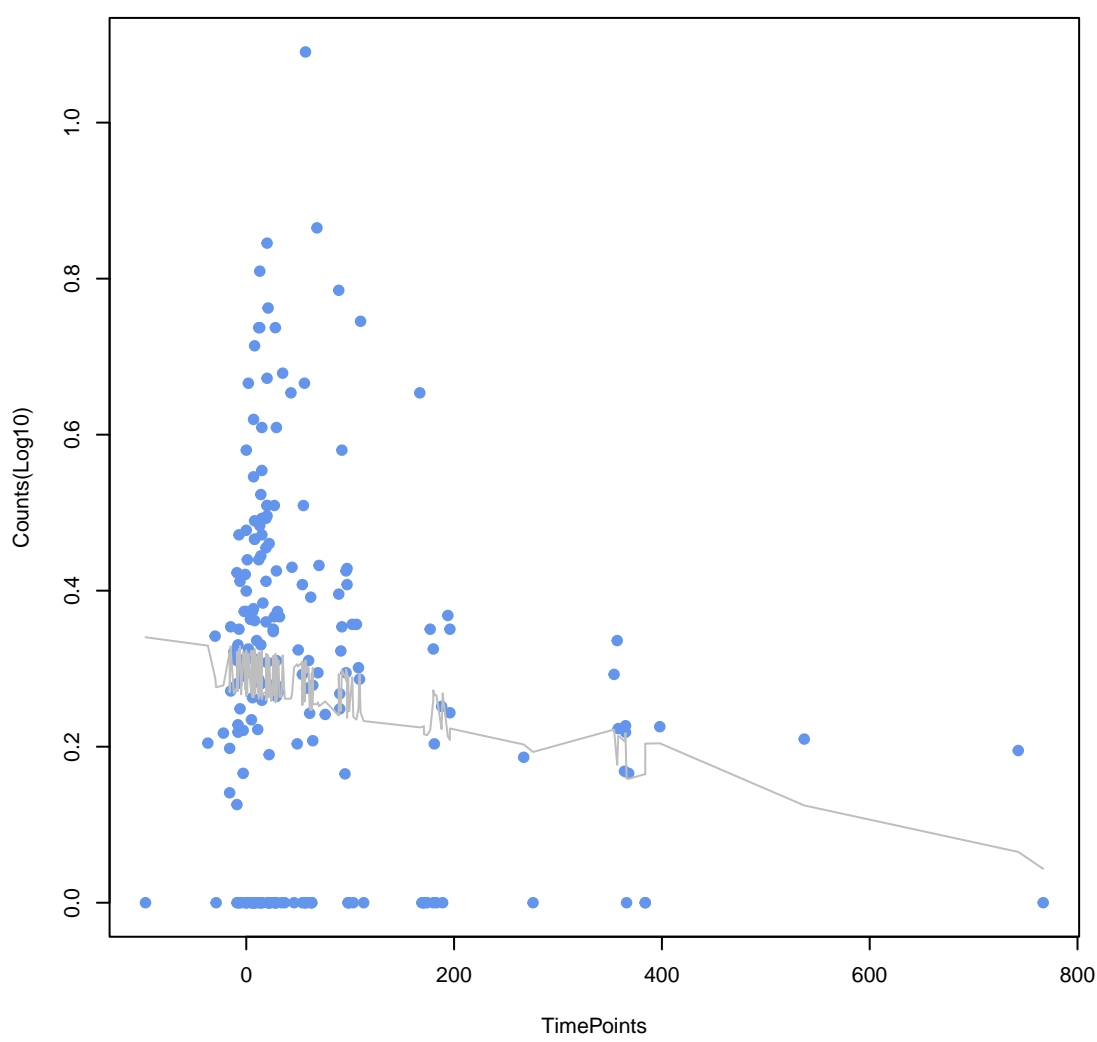
vanH gene in vanA cluster

ANOVA P=0.0177, adj. ANOVA-P=0.164



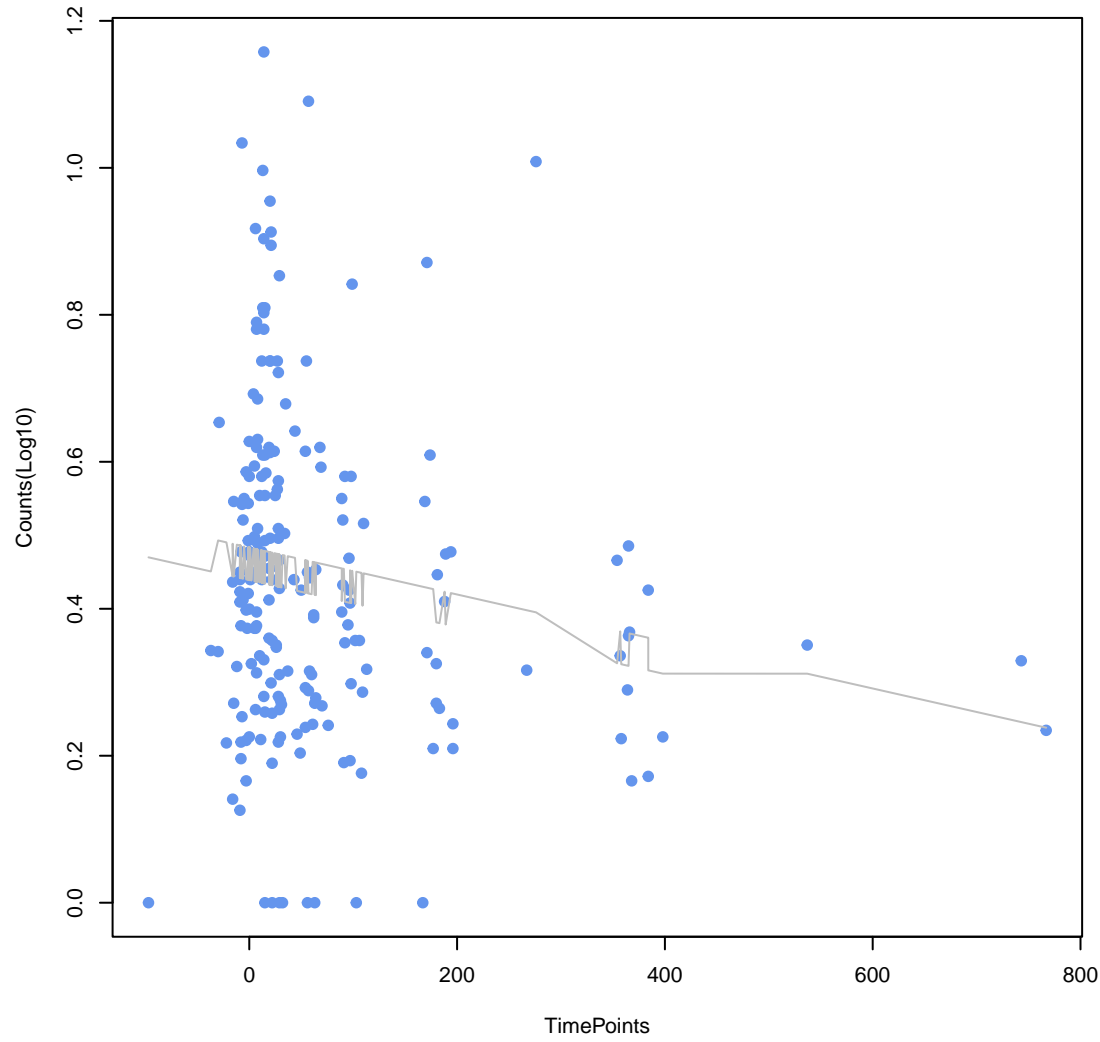
ErmF

ANOVA P=0.0183, adj. ANOVA-P=0.164

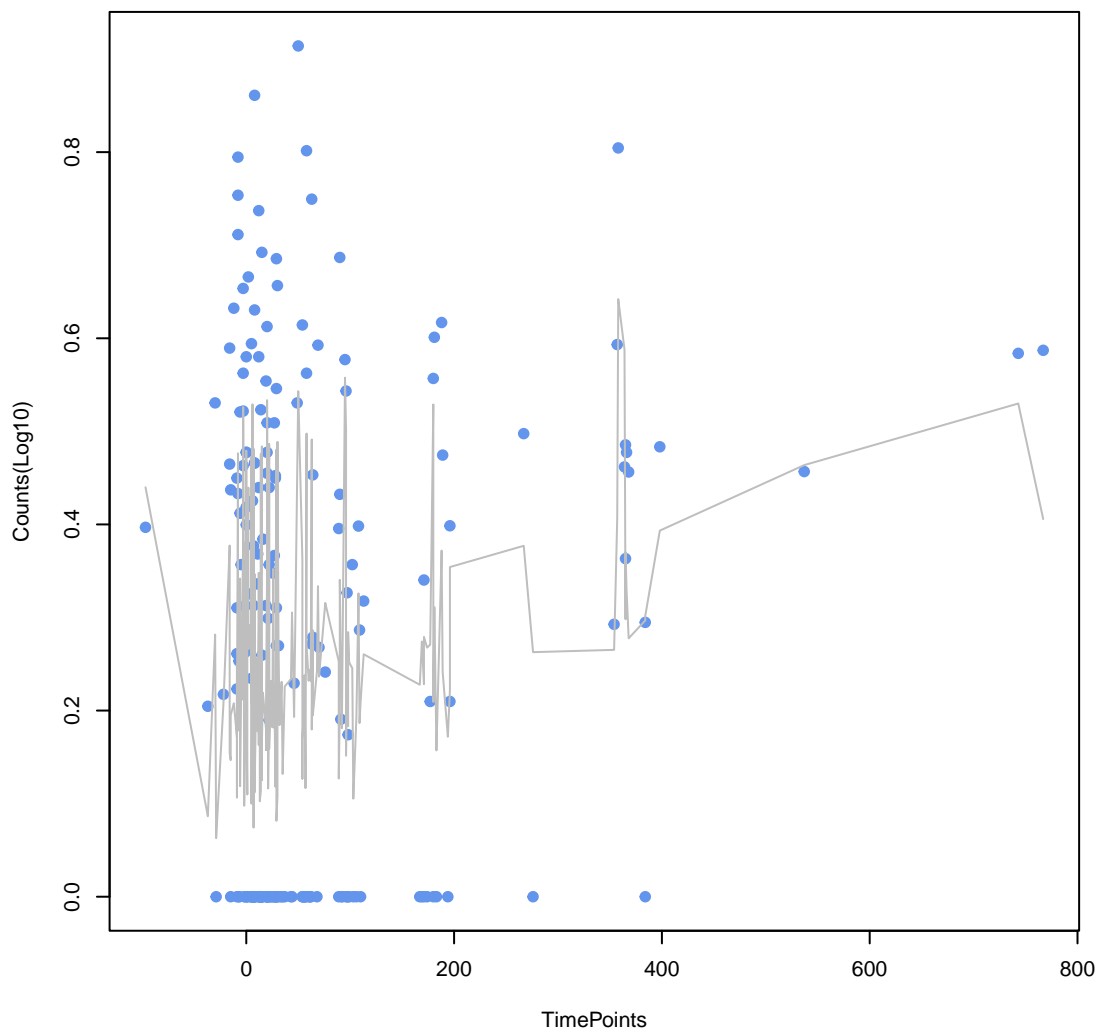


tet(W)

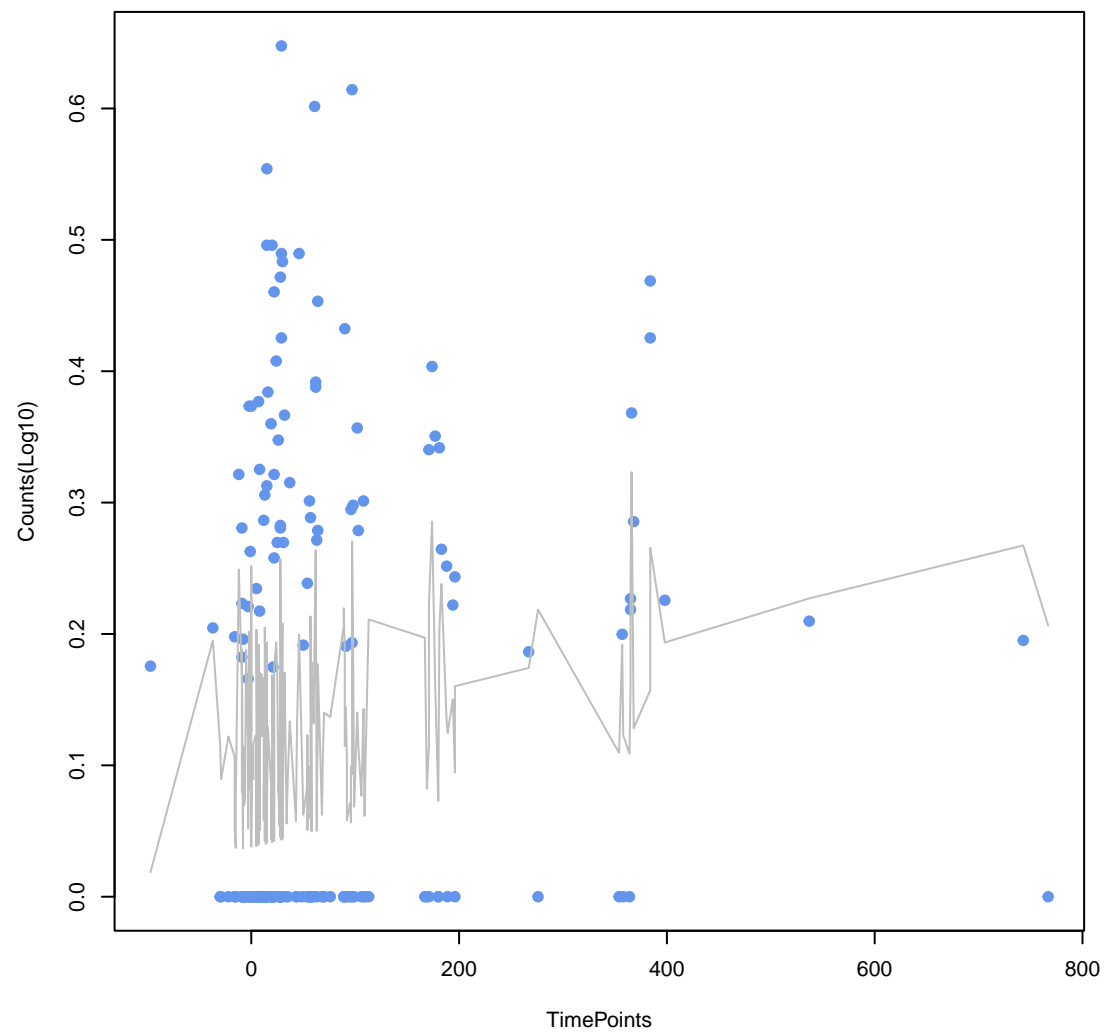
ANOVA P=0.0184, adj. ANOVA-P=0.164



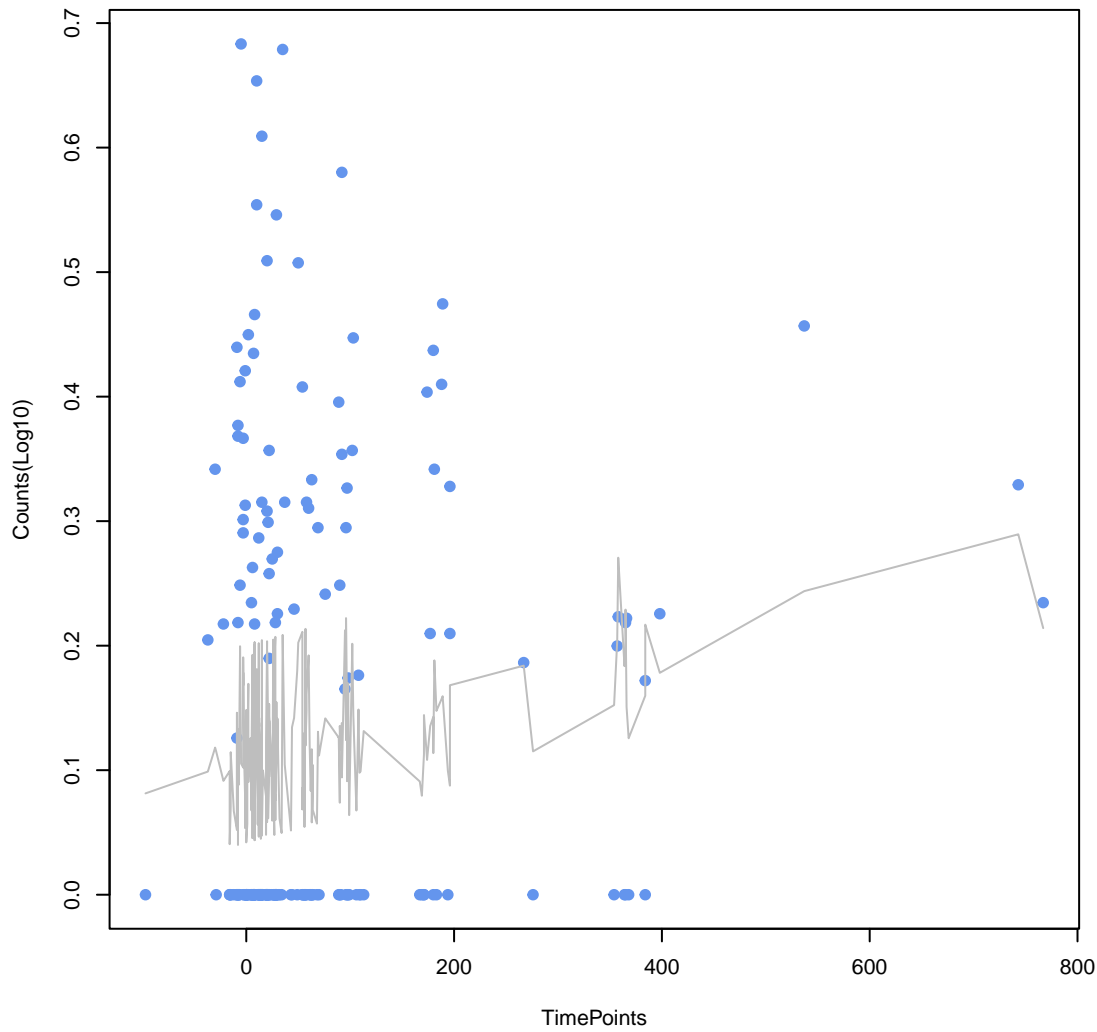
mefH
ANOVA P=0.0218, adj. ANOVA-P=0.179



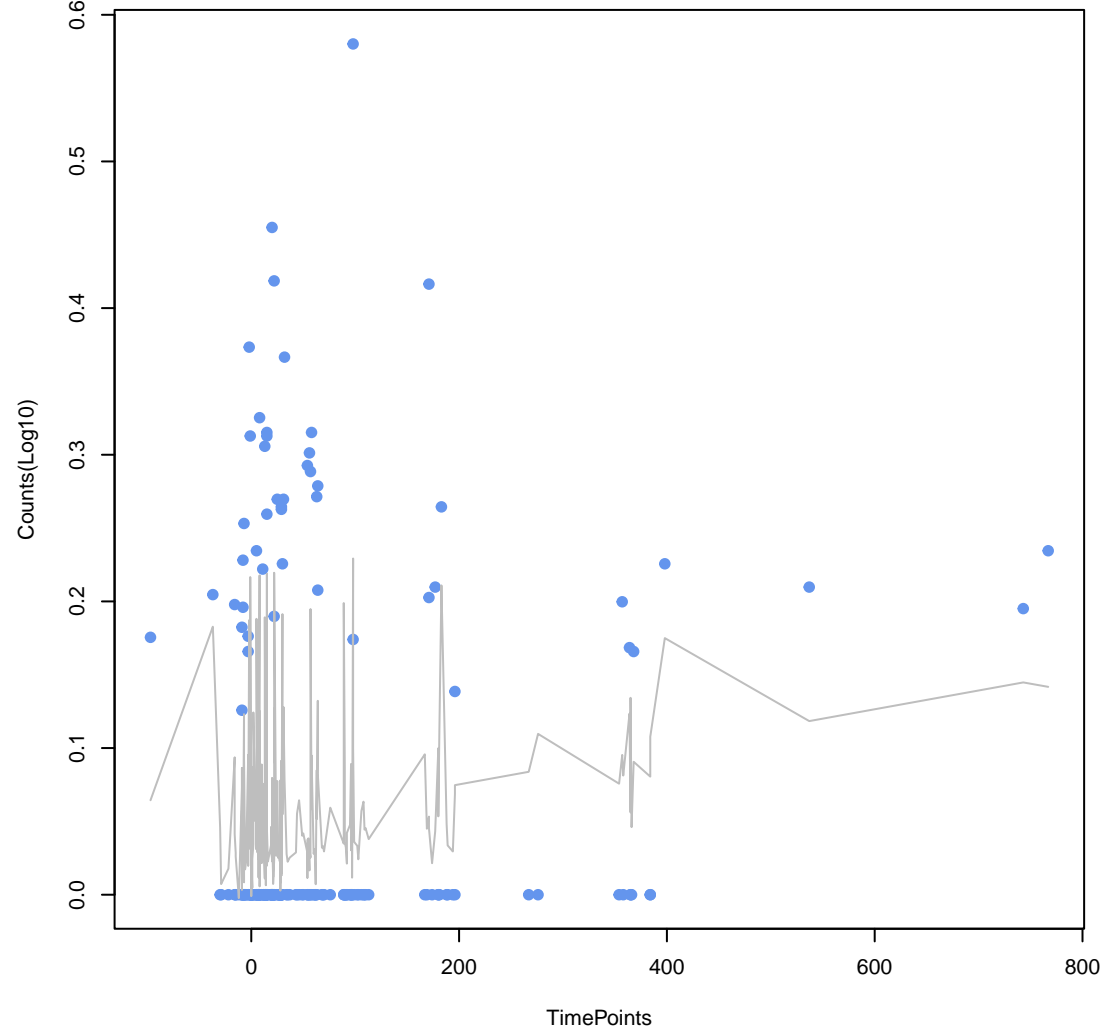
scherrichia coli AcrAB-TolC with MarR mutations conferring resistance to ciprofloxacin and
ANOVA P=0.0357, adj. ANOVA-P=0.273



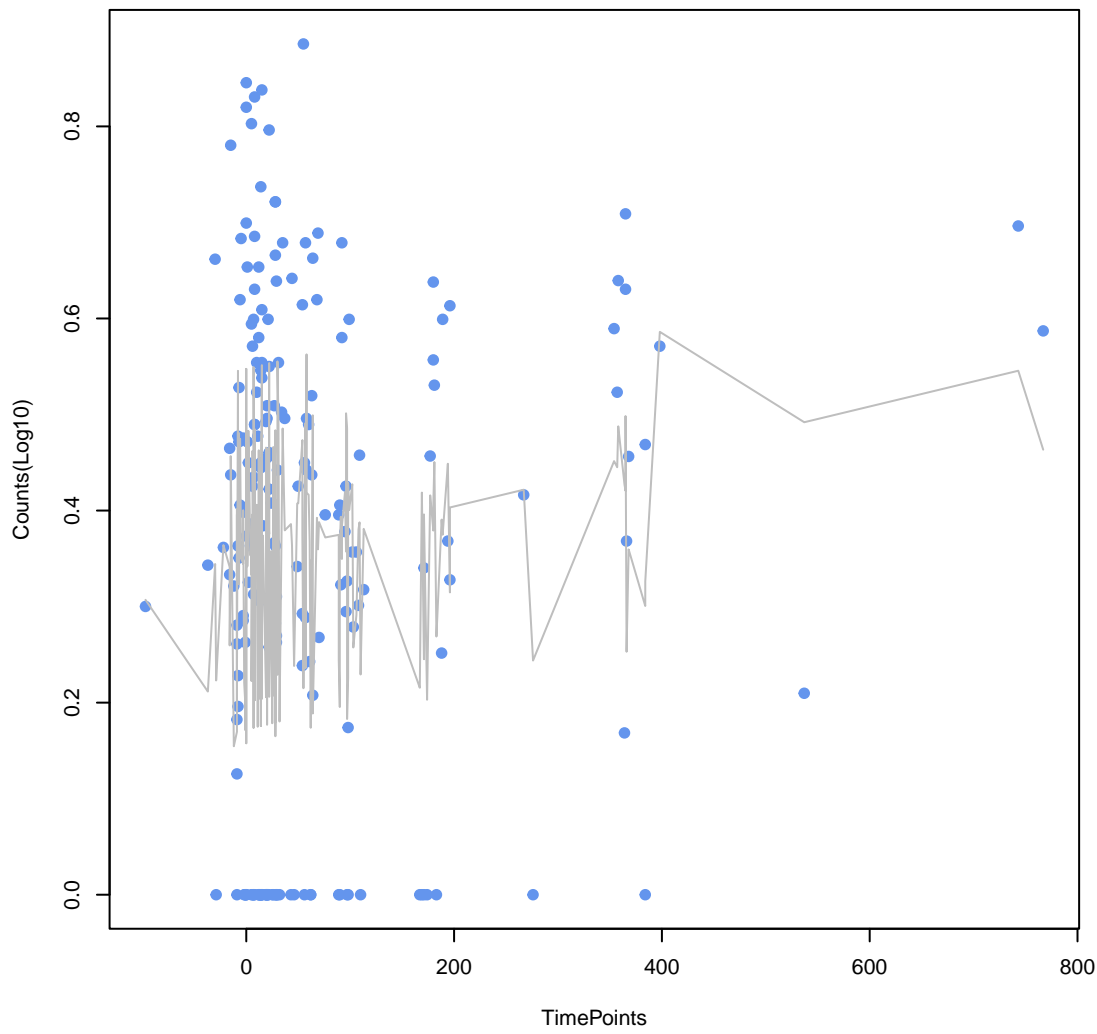
myrA
ANOVA P=0.0411, adj. ANOVA-P=0.293



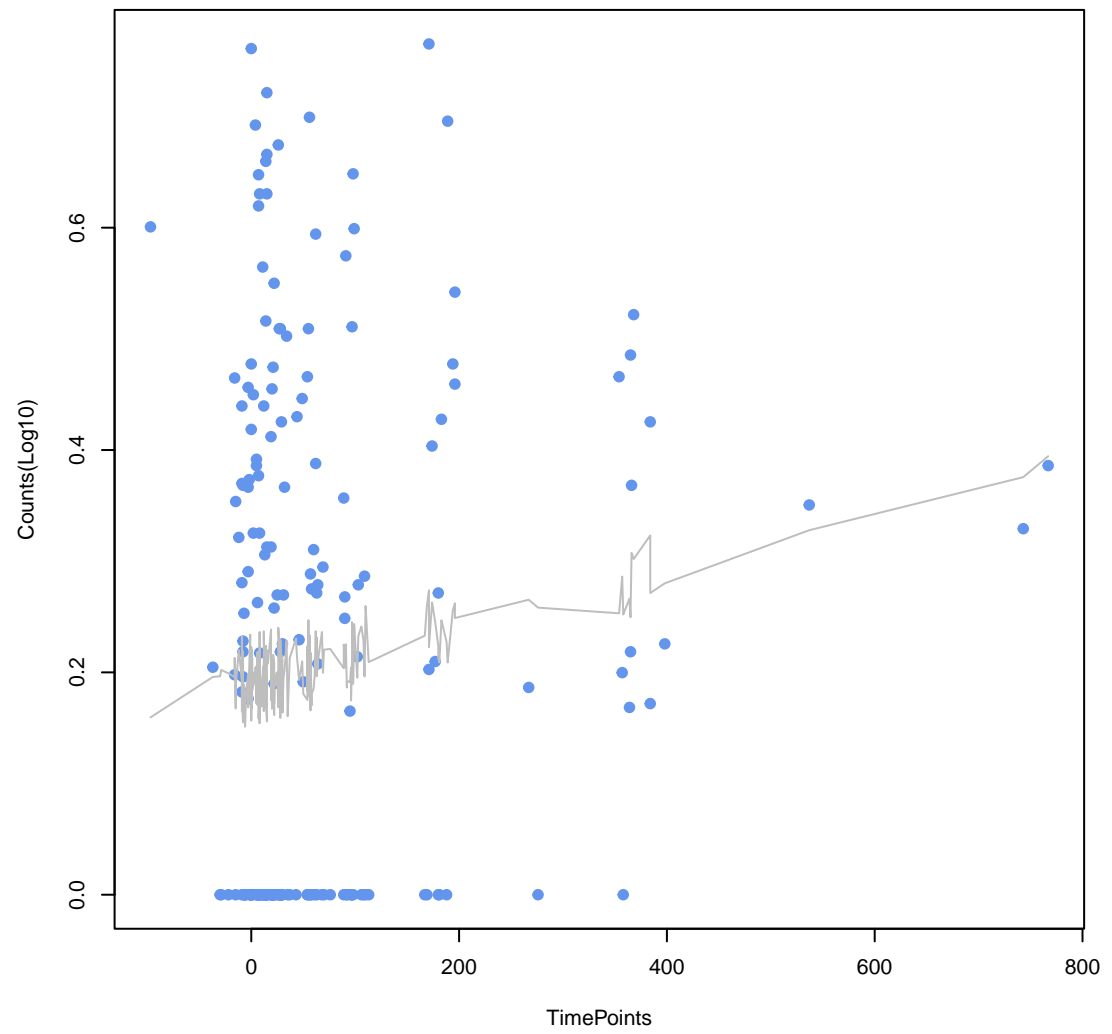
gadW
ANOVA P=0.0503, adj. ANOVA-P=0.336



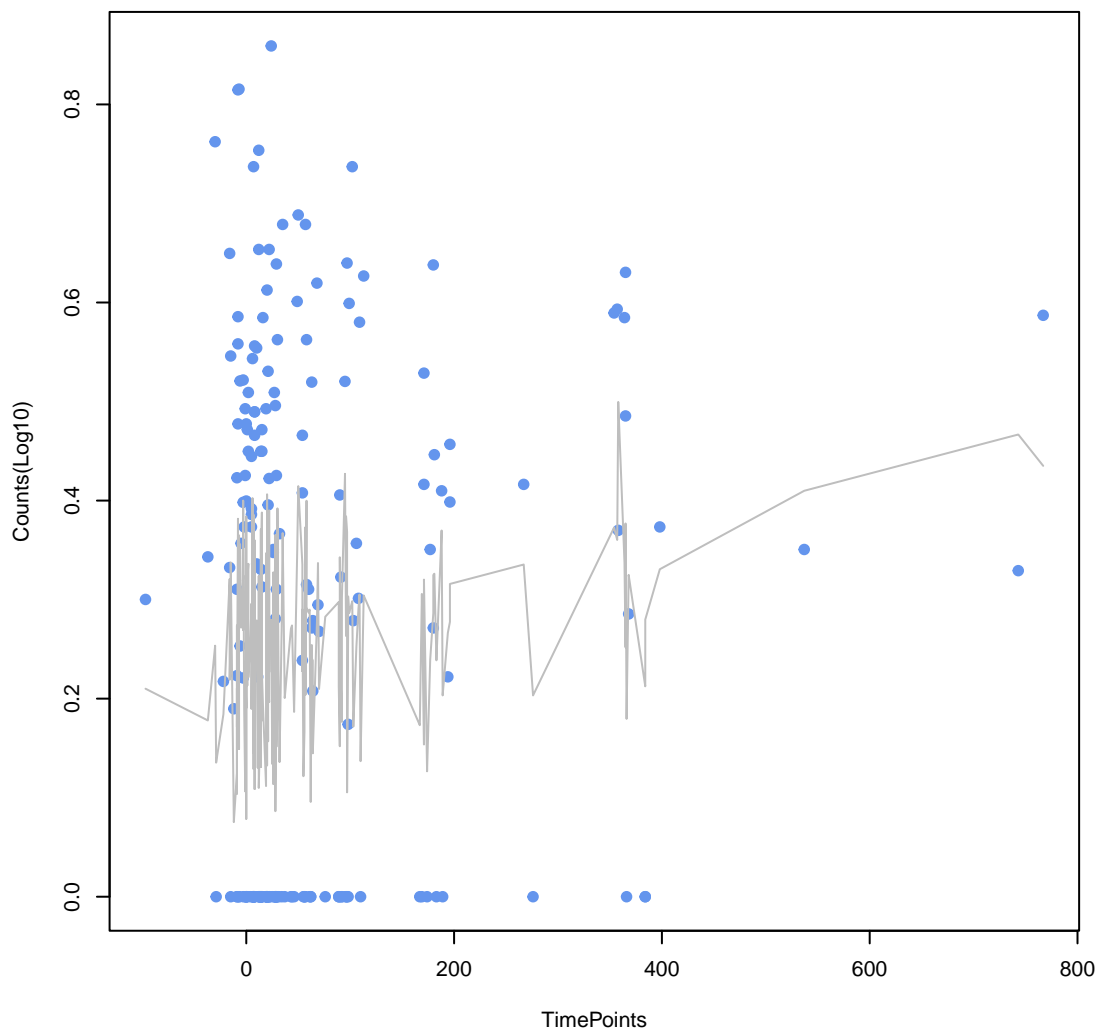
tet(32)
ANOVA P=0.063, adj. ANOVA-P=0.37



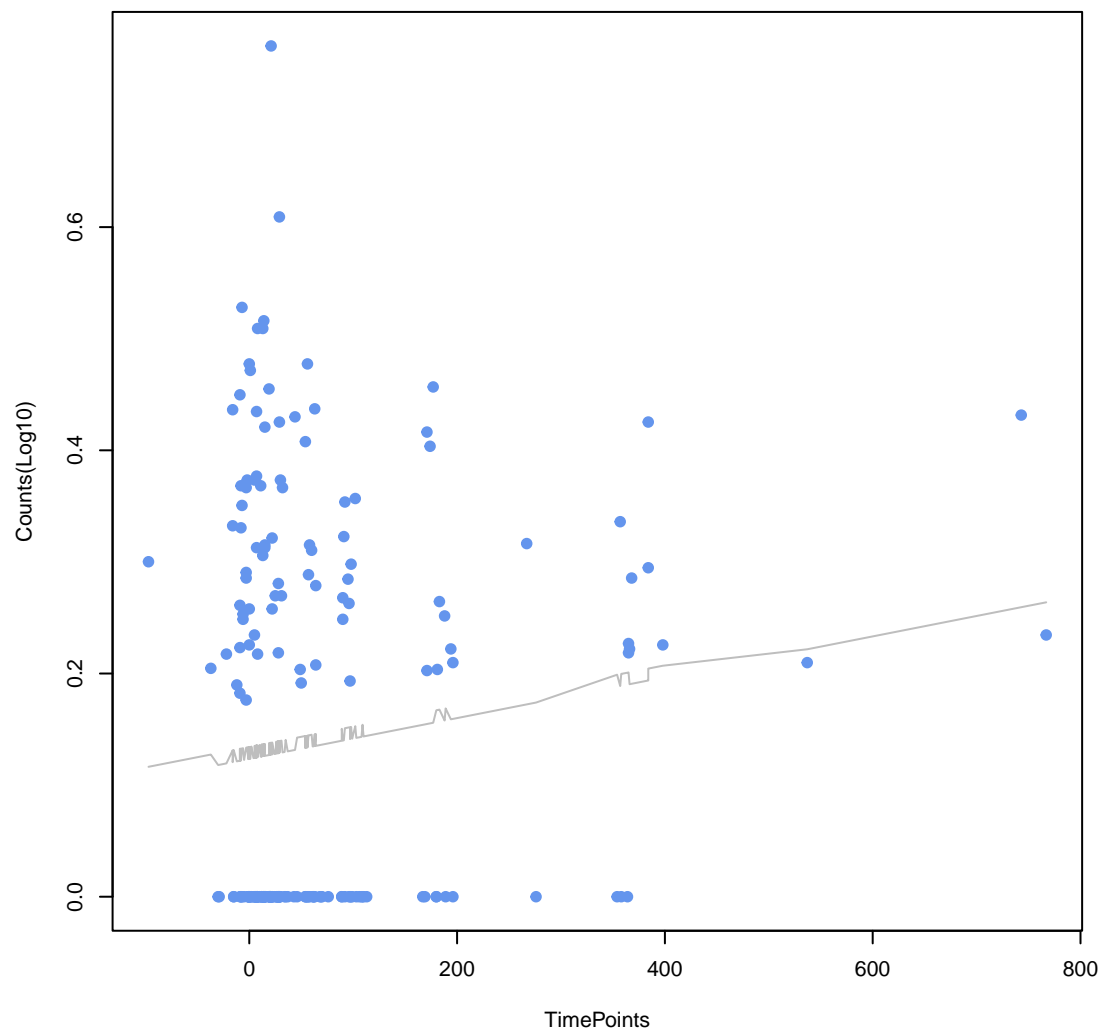
mdtF
ANOVA P=0.0657, adj. ANOVA-P=0.37



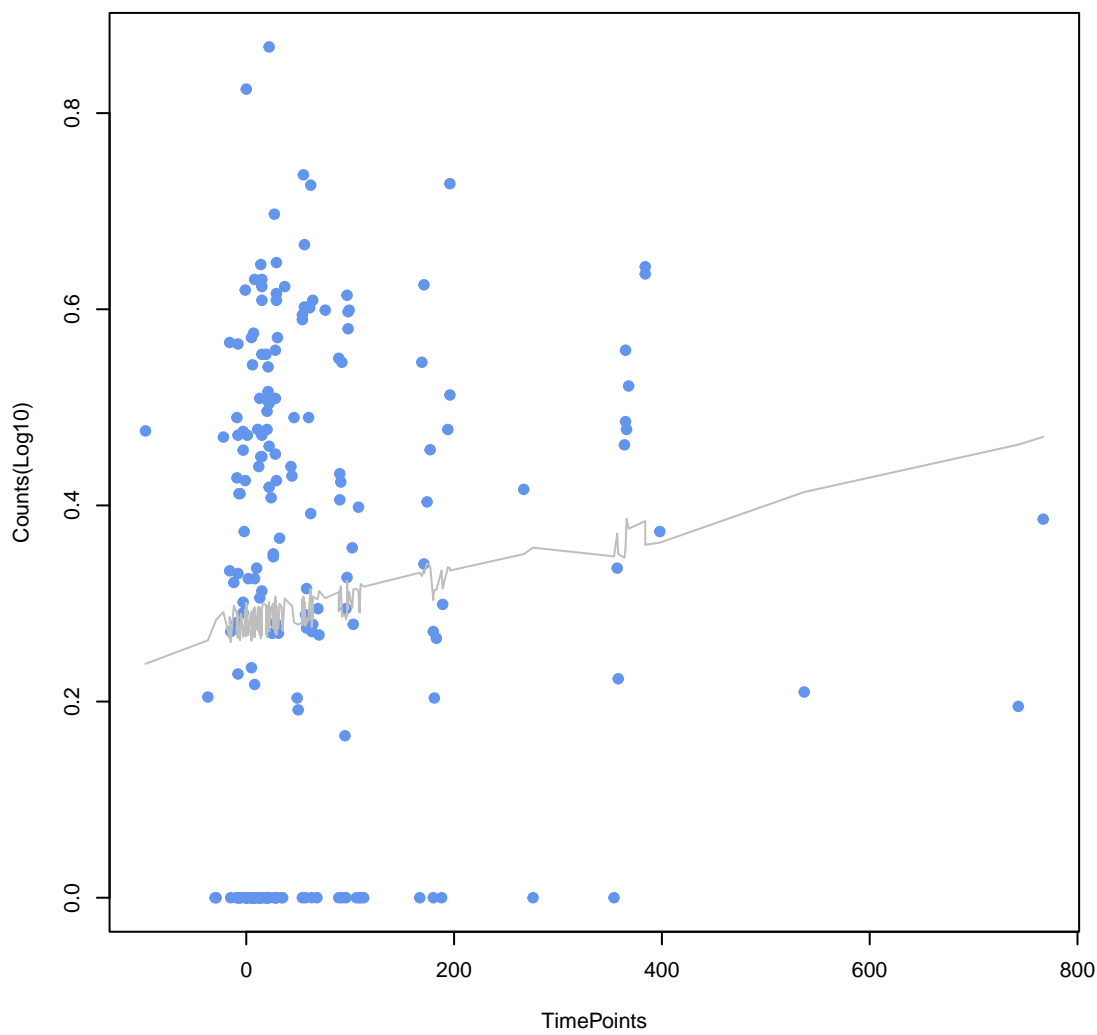
ANA-1
ANOVA P=0.0657, adj. ANOVA-P=0.37



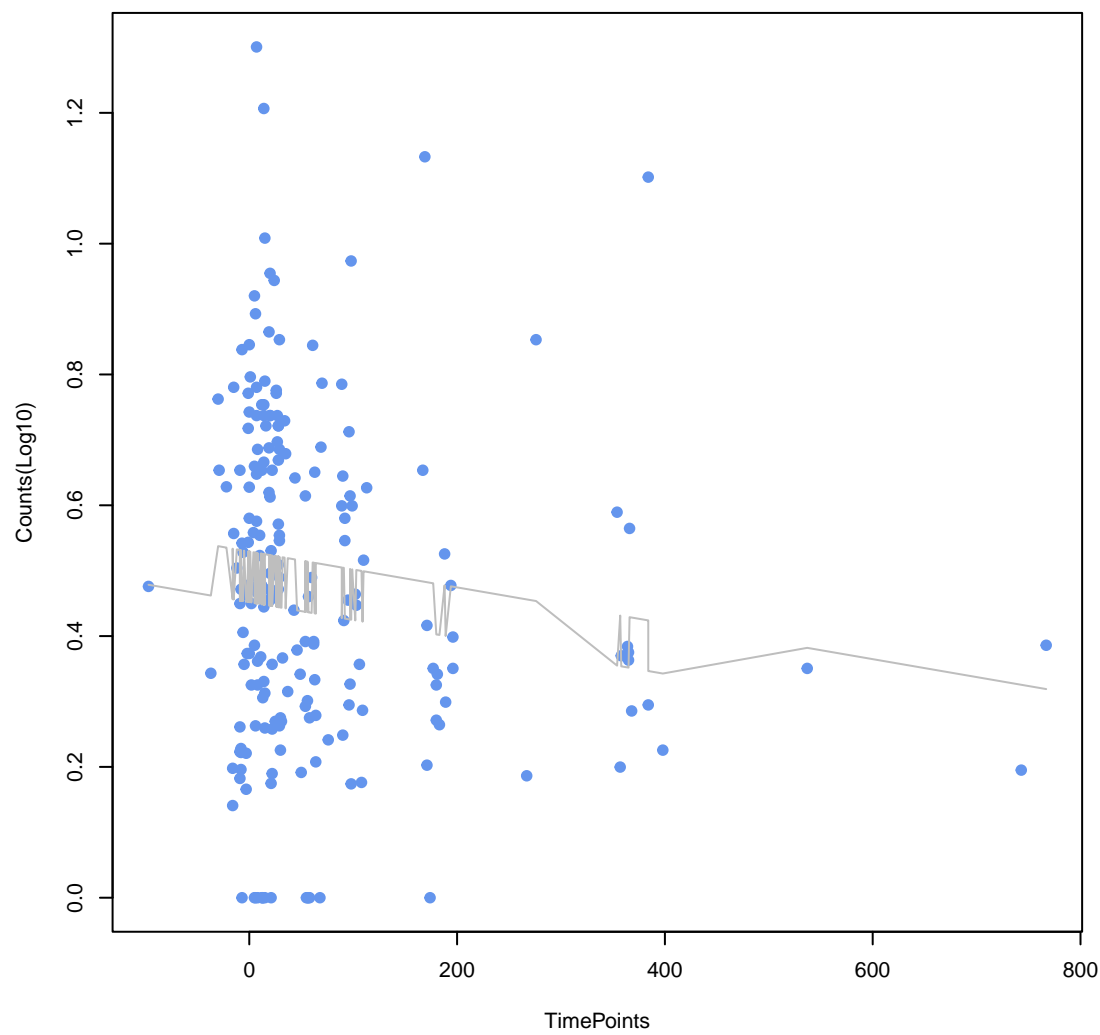
mdtH
ANOVA P=0.0825, adj. ANOVA-P=0.427



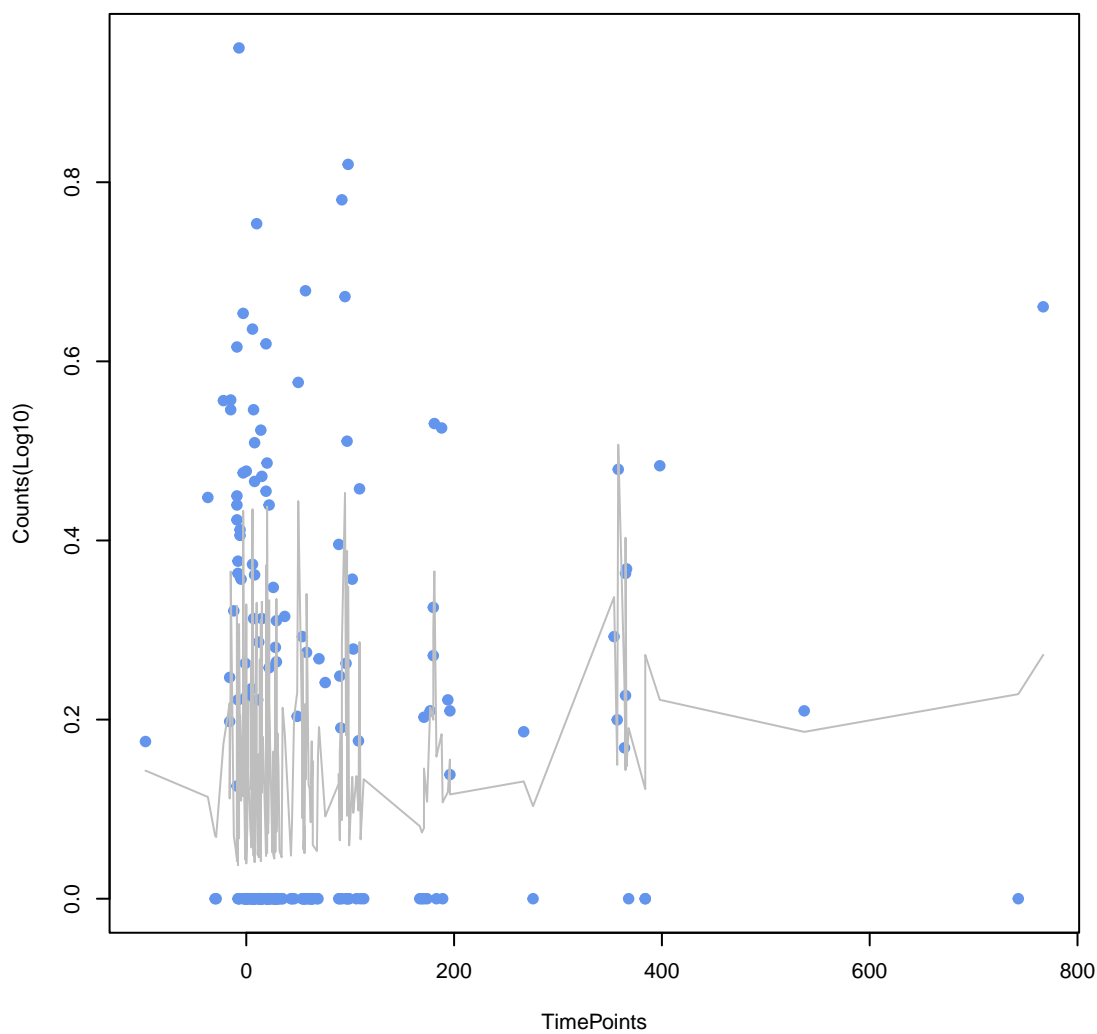
mdtB
ANOVA P=0.0839, adj. ANOVA-P=0.427



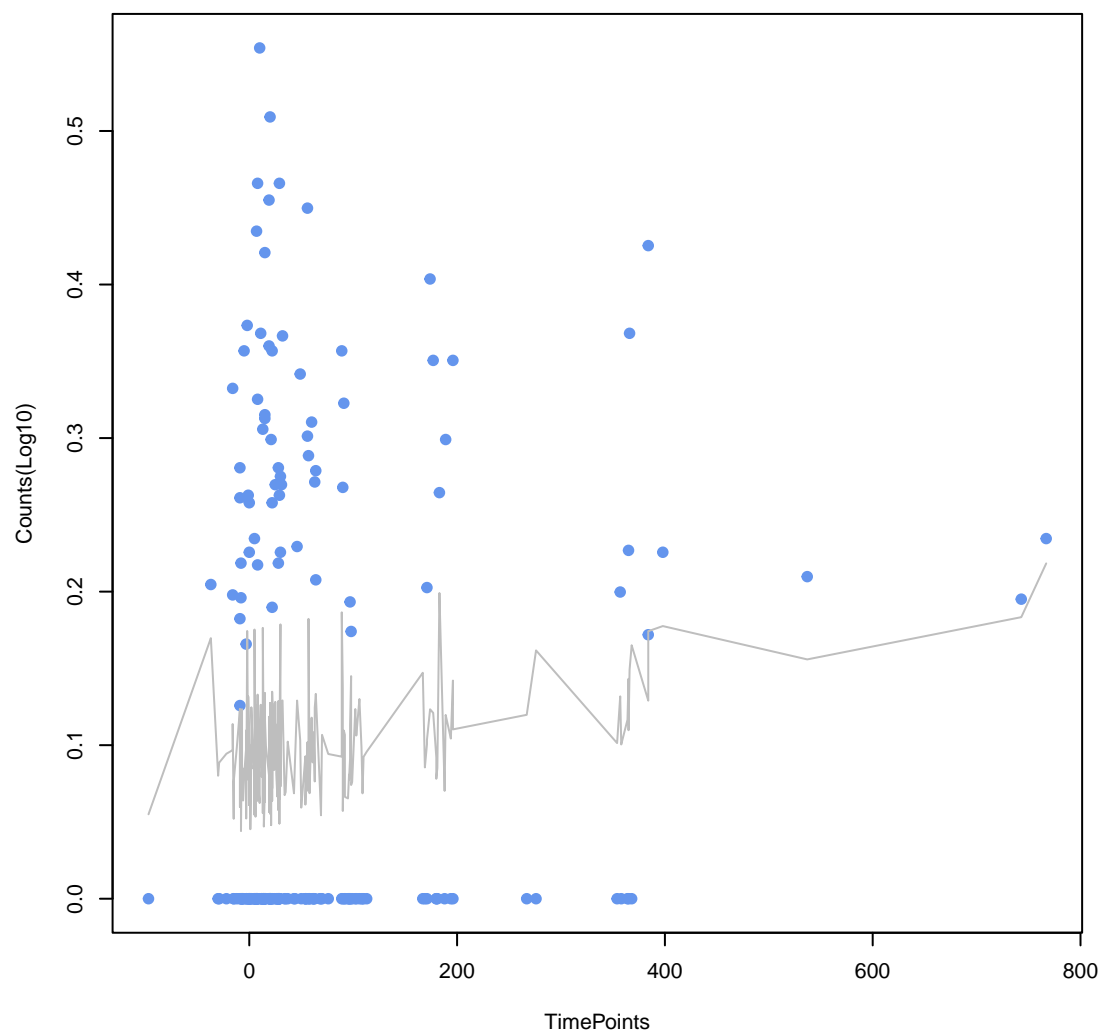
tet(M)
ANOVA P=0.104, adj. ANOVA-P=0.507



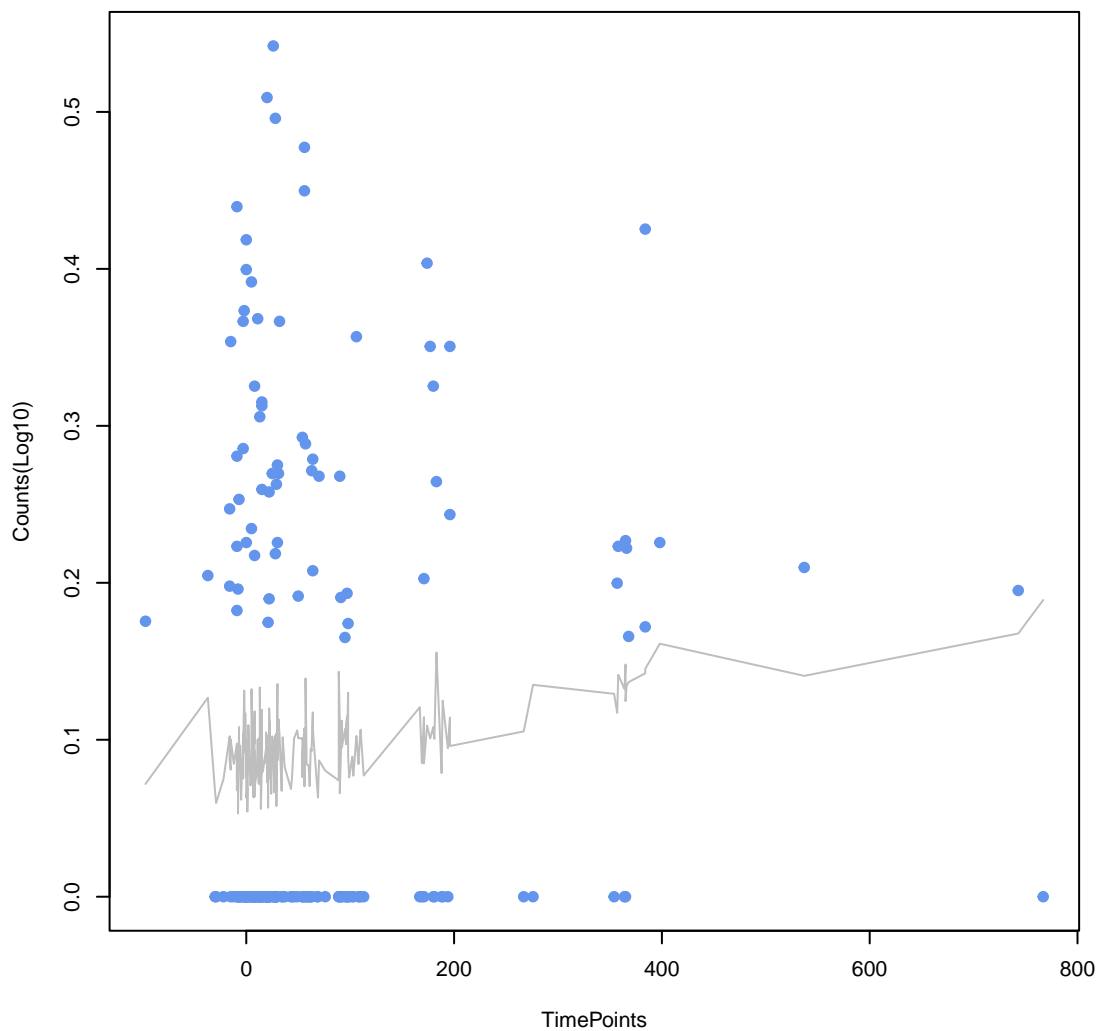
APH(6)-lc
ANOVA P=0.116, adj. ANOVA-P=0.531



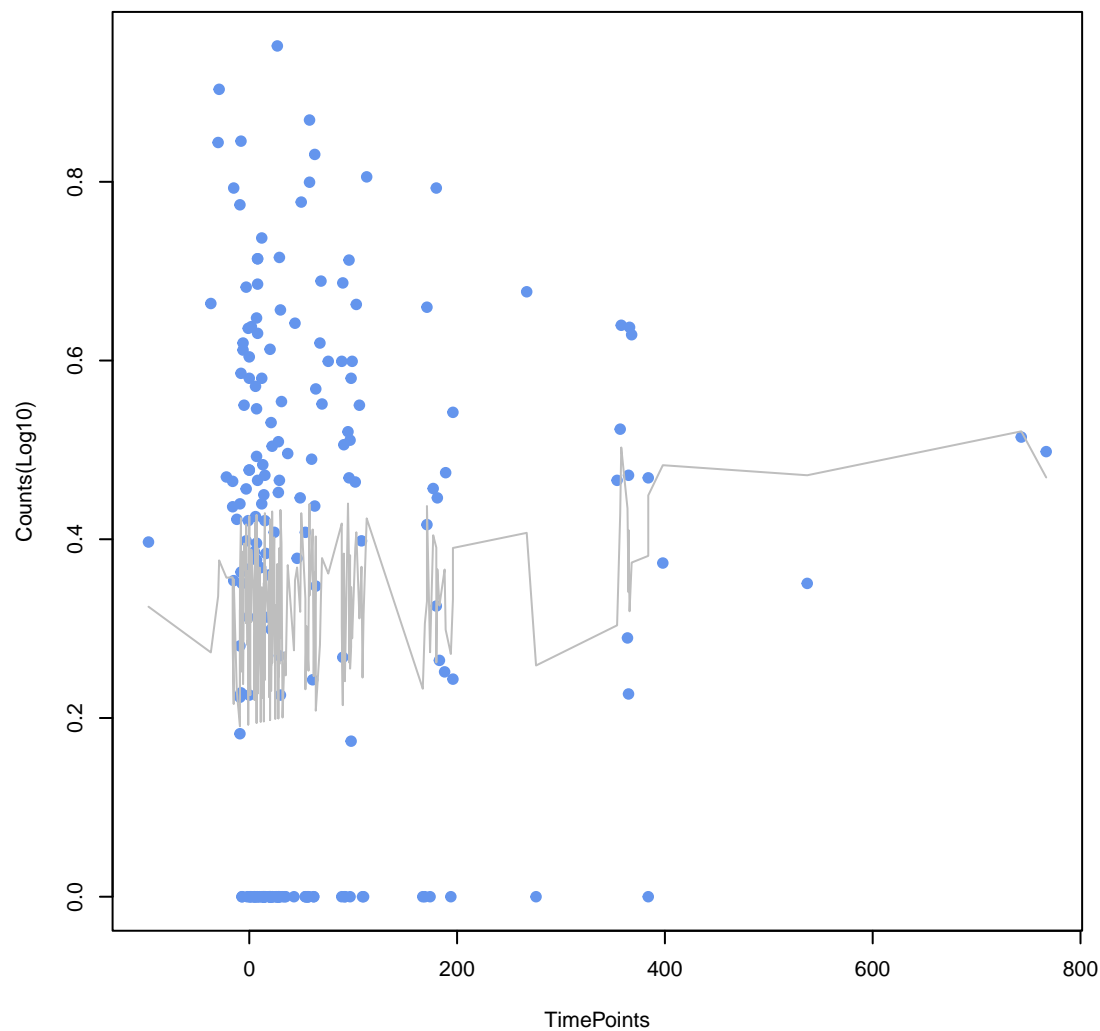
gadX
ANOVA P=0.121, adj. ANOVA-P=0.531



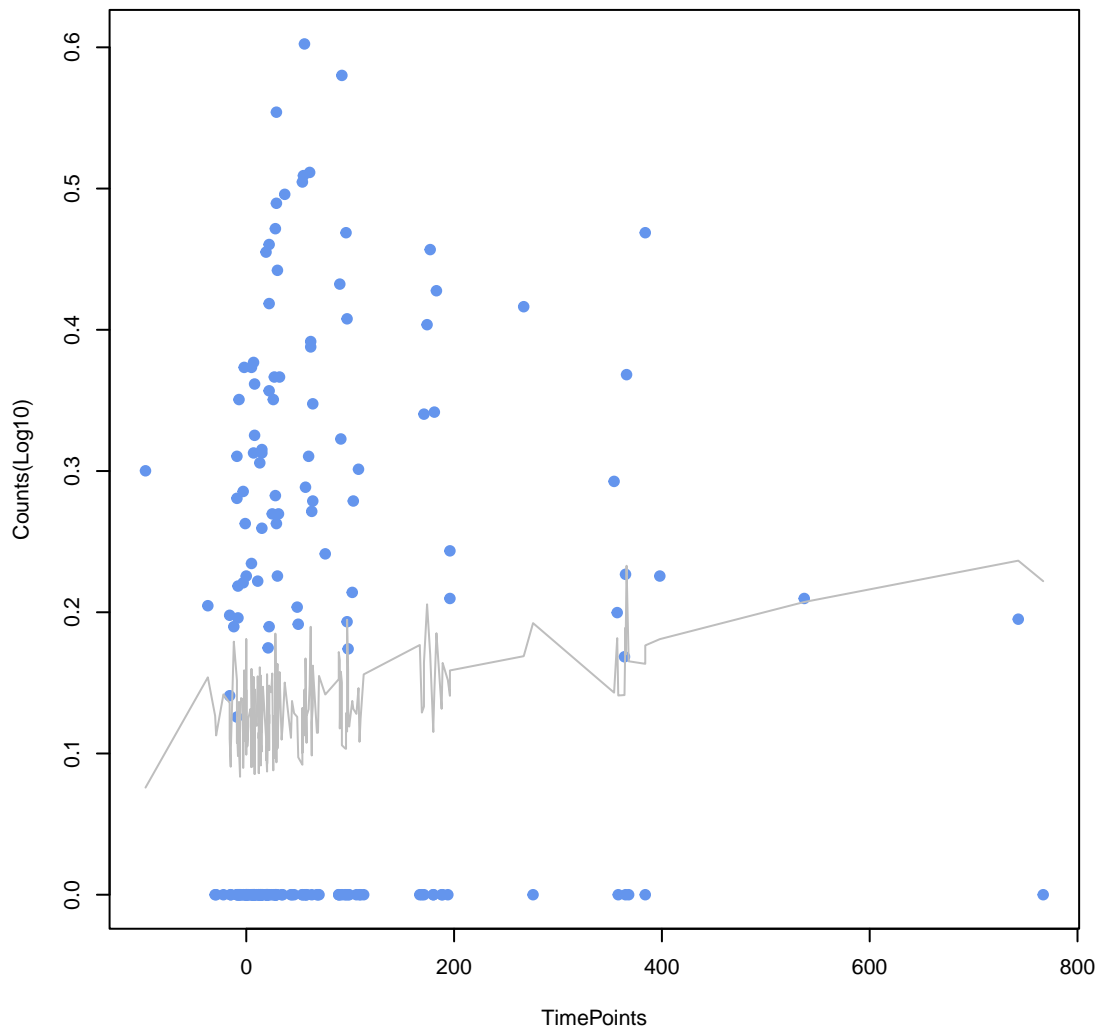
AcrS
ANOVA P=0.142, adj. ANOVA-P=0.531



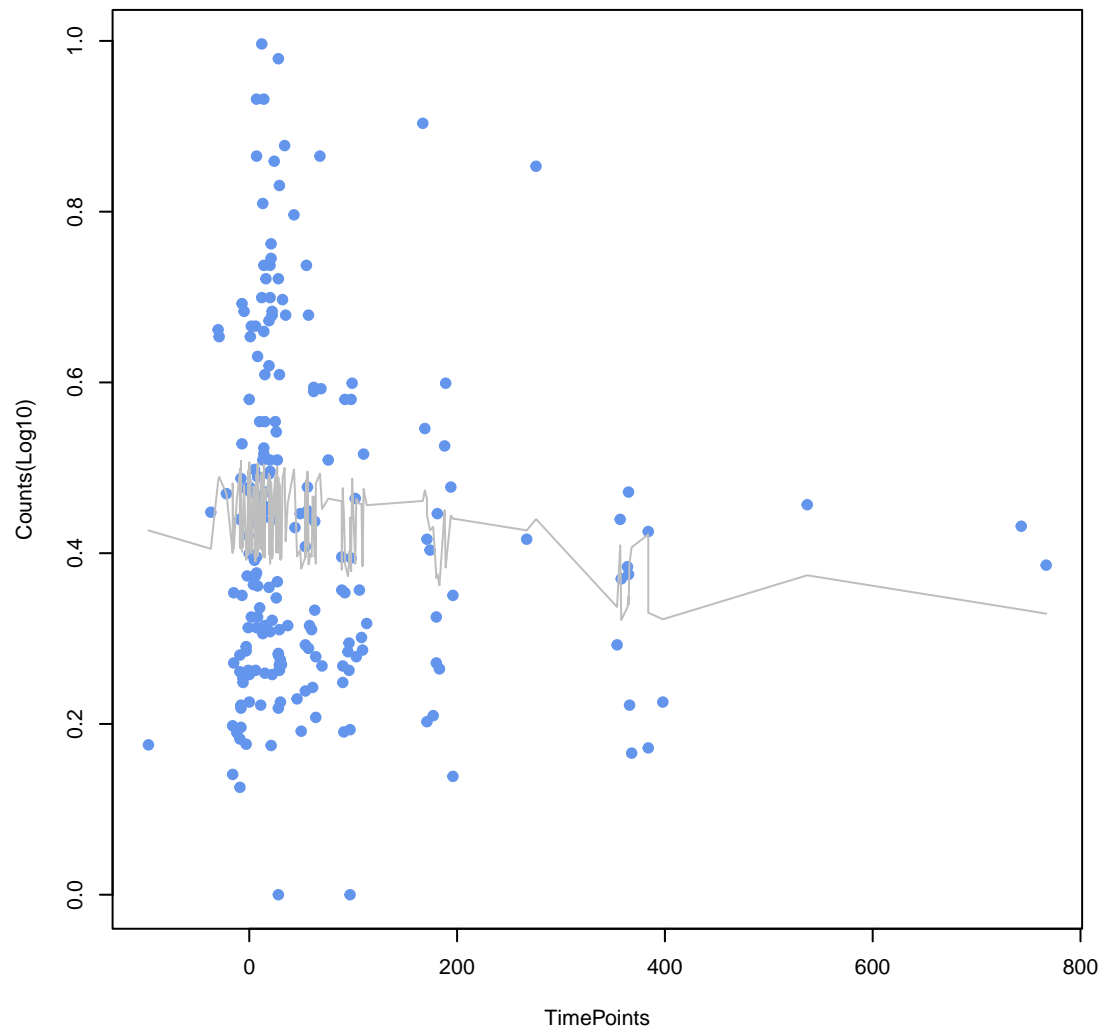
vanI
ANOVA P=0.143, adj. ANOVA-P=0.531



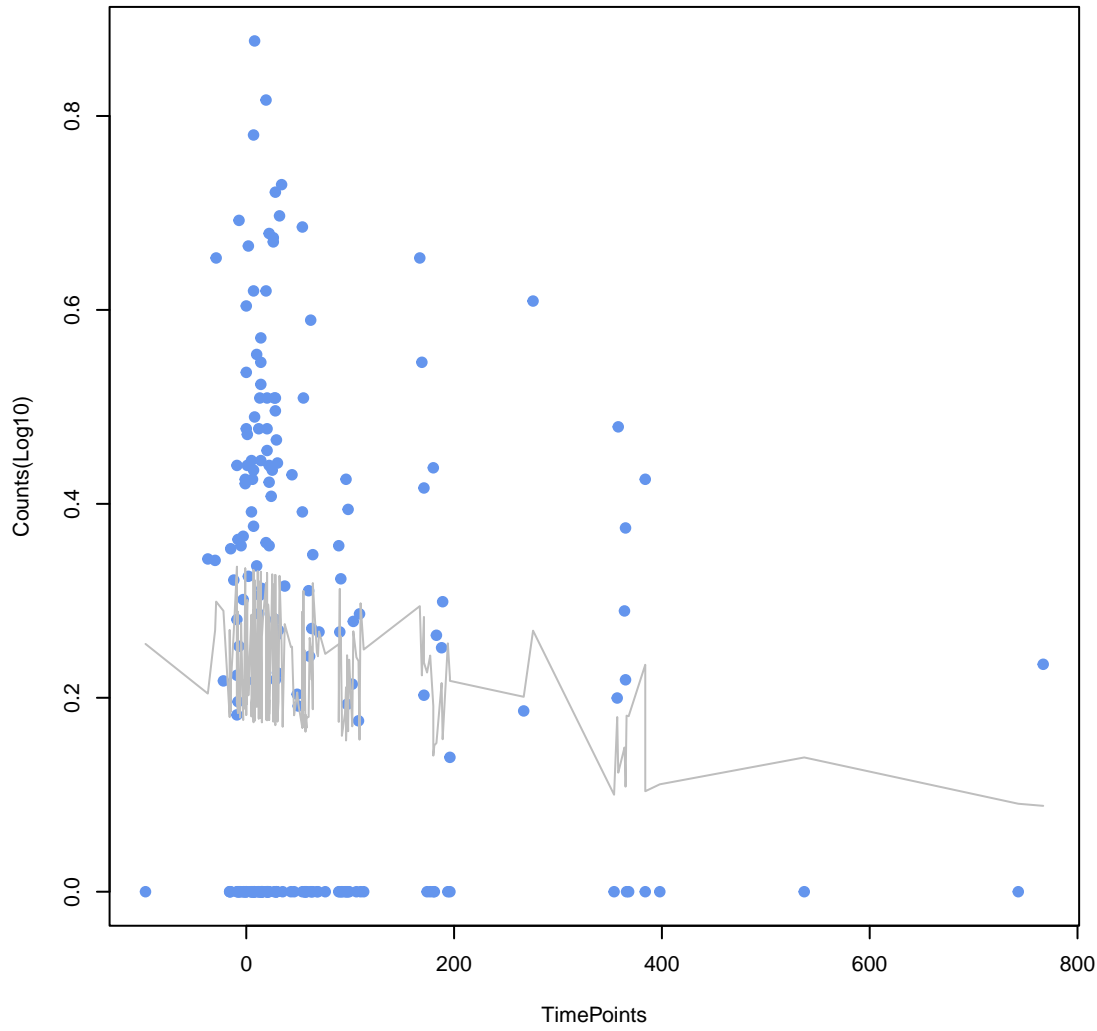
emrB
ANOVA P=0.144, adj. ANOVA-P=0.531



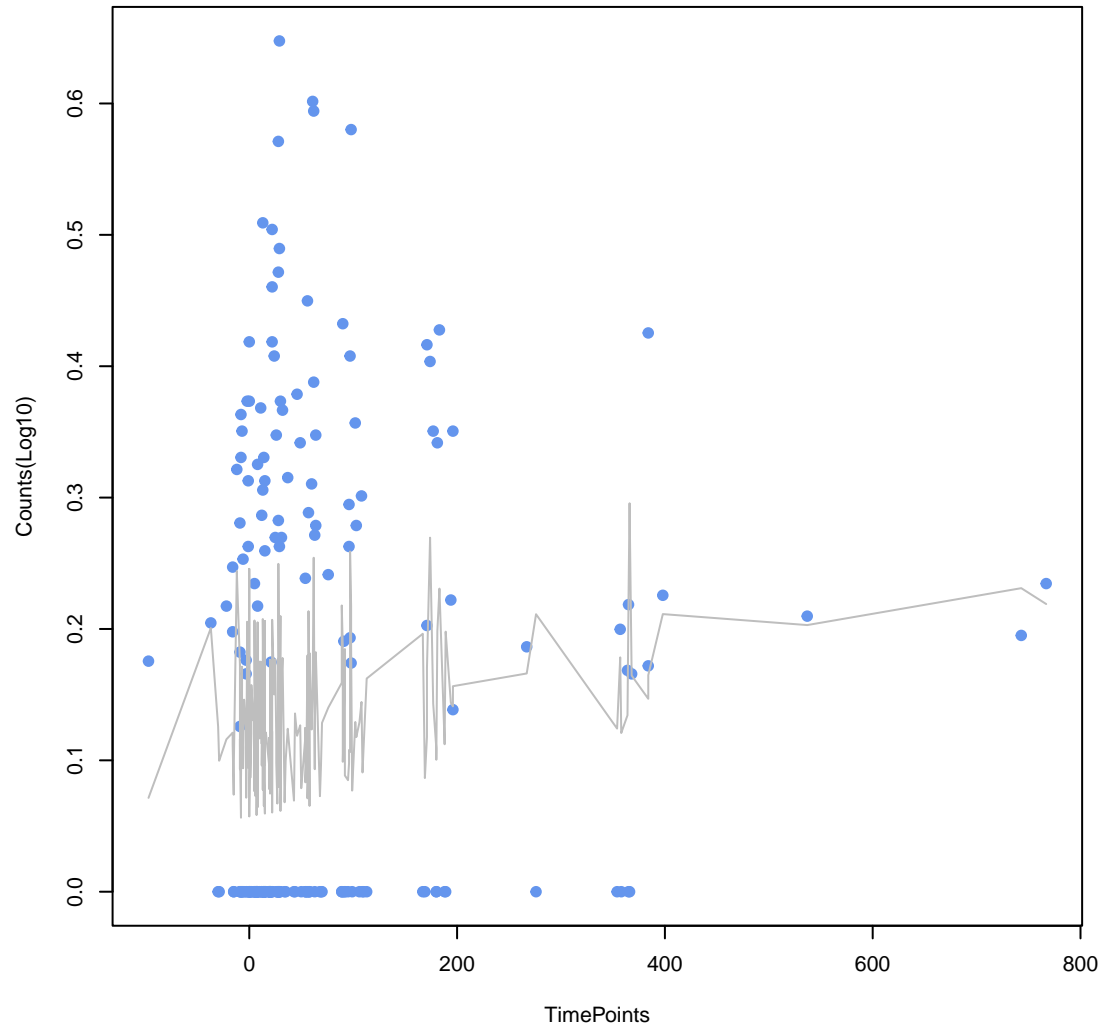
tet(O)
ANOVA P=0.144, adj. ANOVA-P=0.531



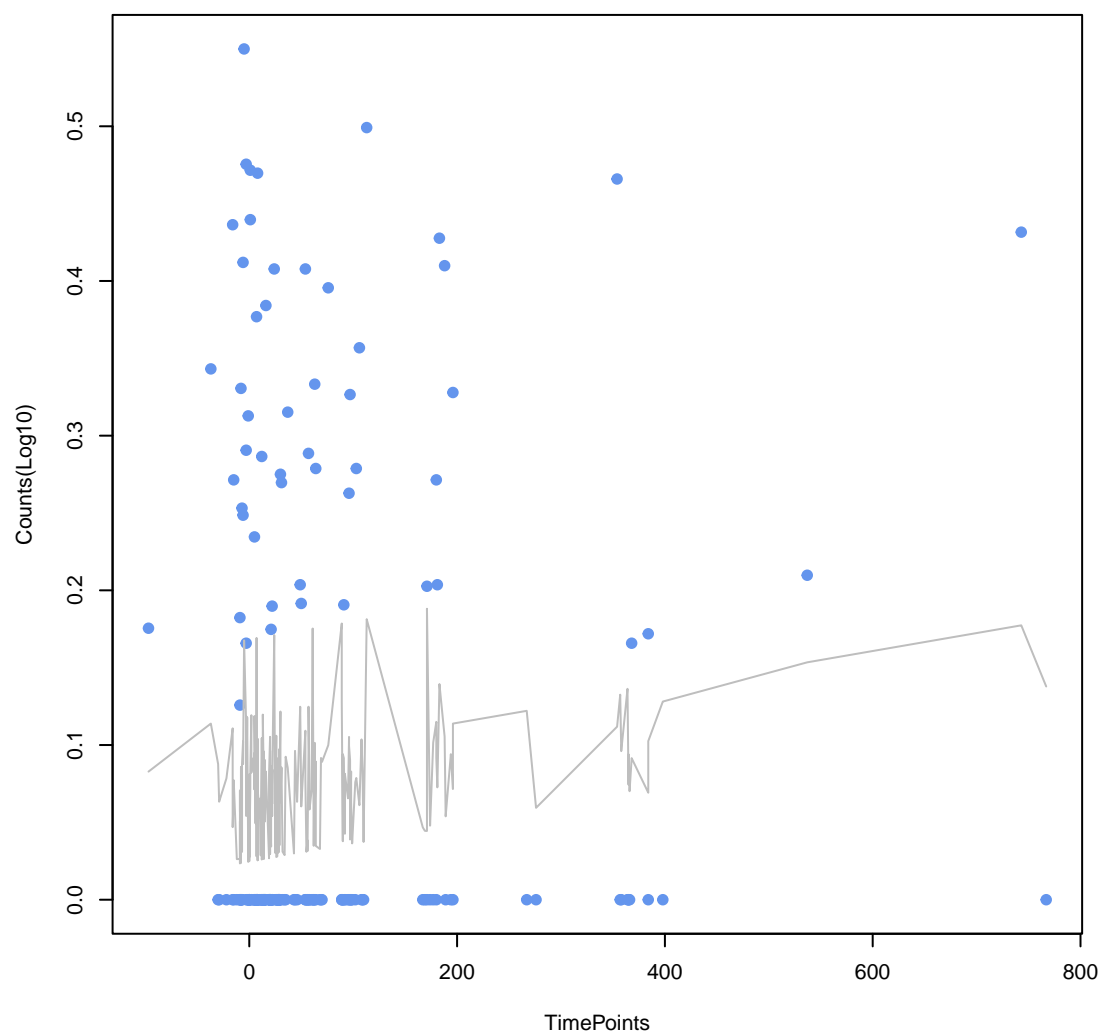
vanA
ANOVA P=0.144, adj. ANOVA-P=0.531



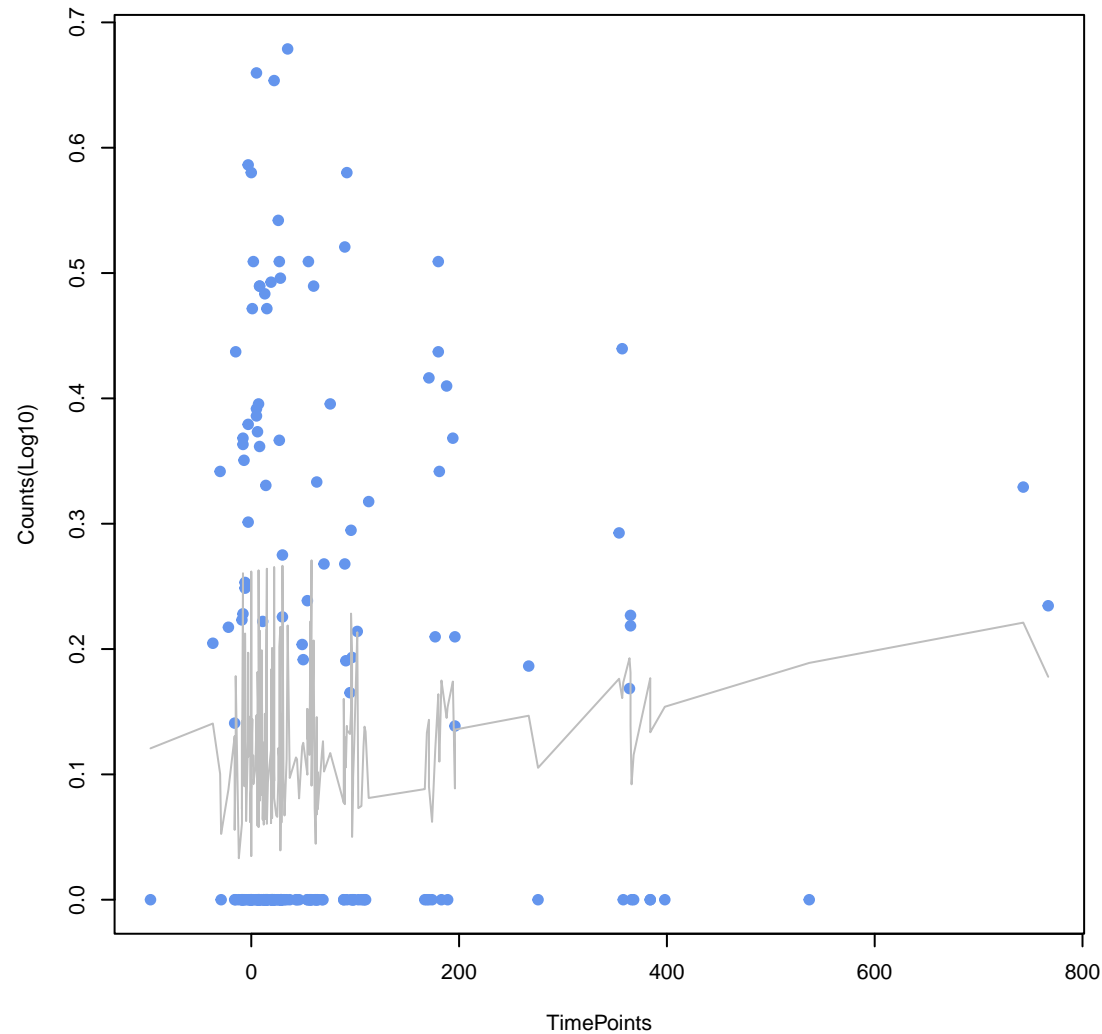
emrR
ANOVA P=0.161, adj. ANOVA-P=0.56



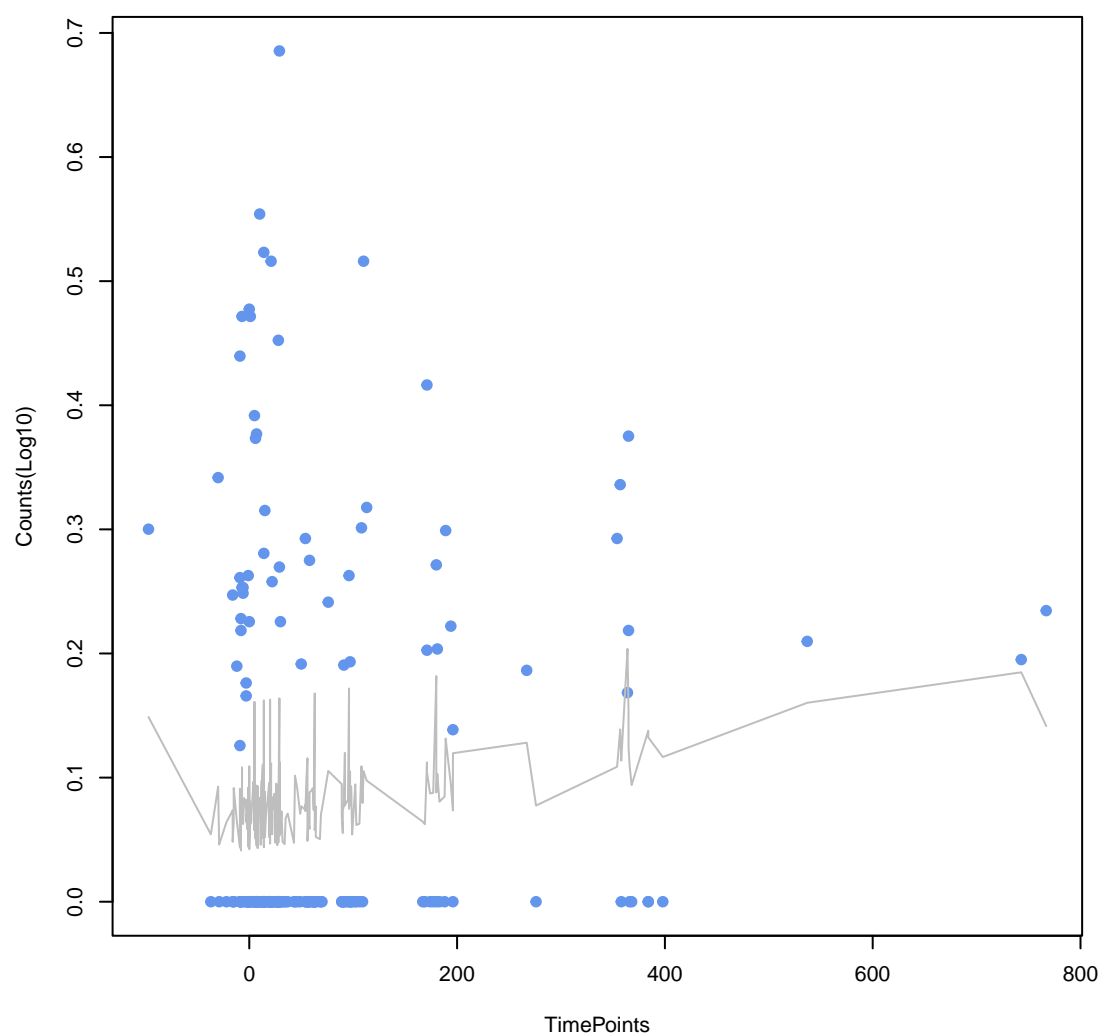
SHV-43
ANOVA P=0.171, adj. ANOVA-P=0.56



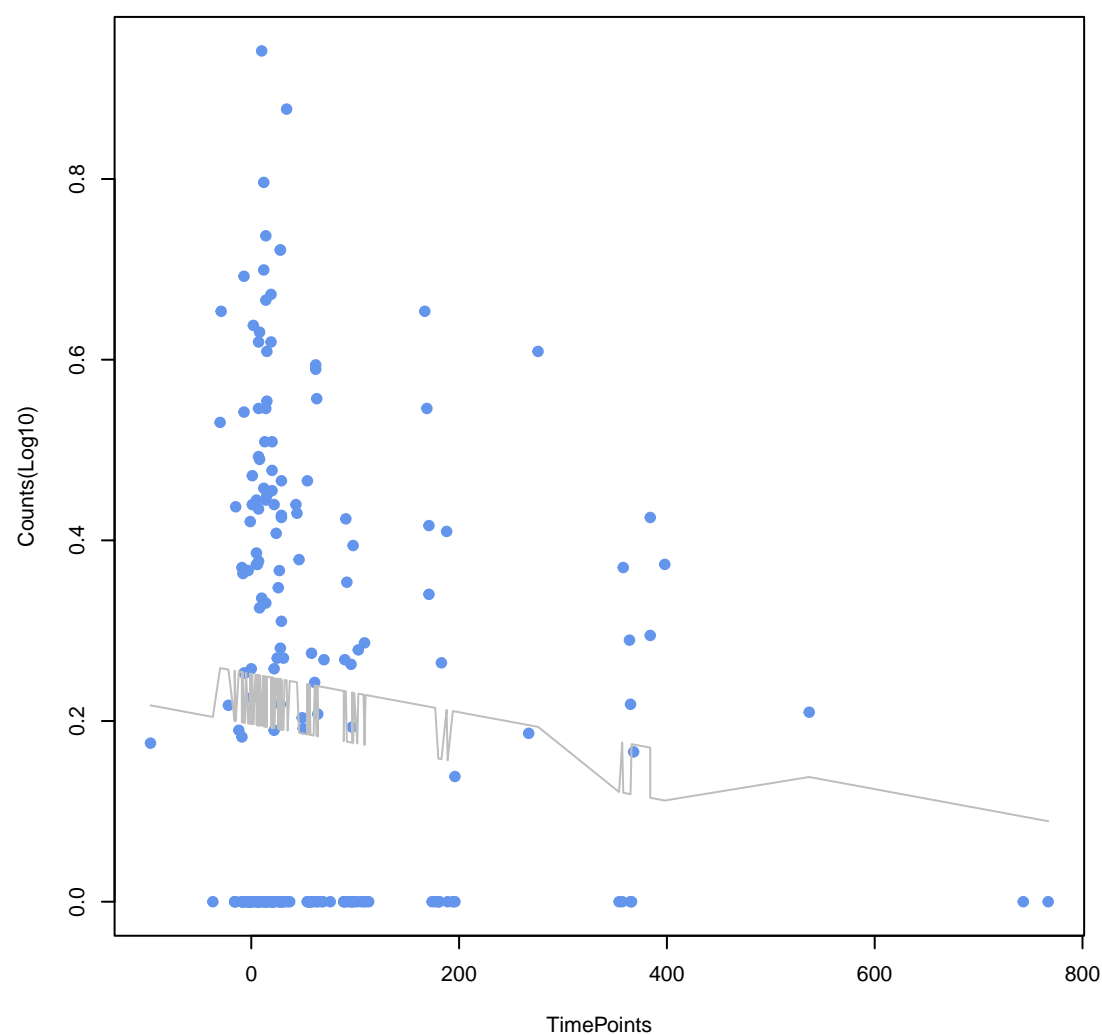
tet(W/32/O)
ANOVA P=0.173, adj. ANOVA-P=0.56



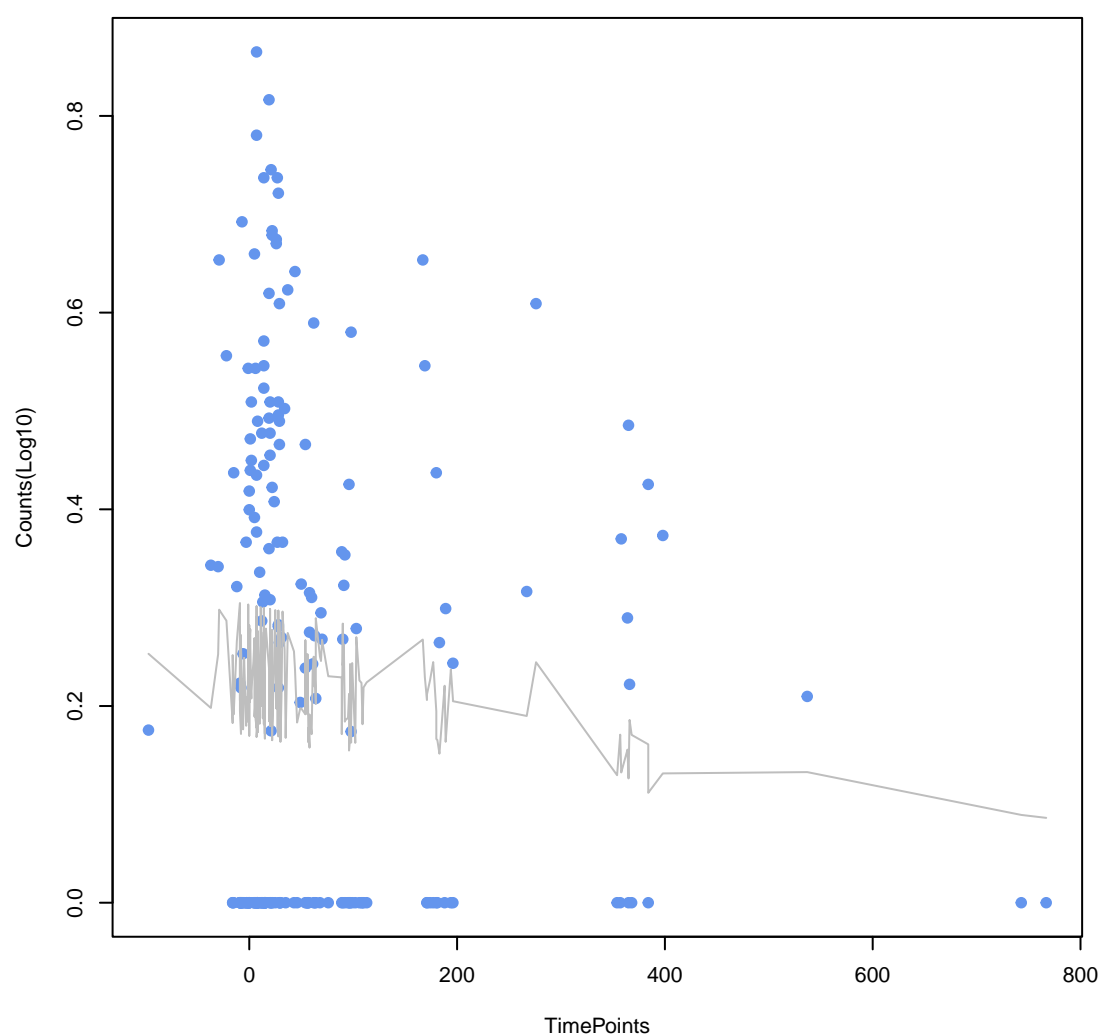
Streptomyces rimosus otr(A)
ANOVA P=0.177, adj. ANOVA-P=0.56



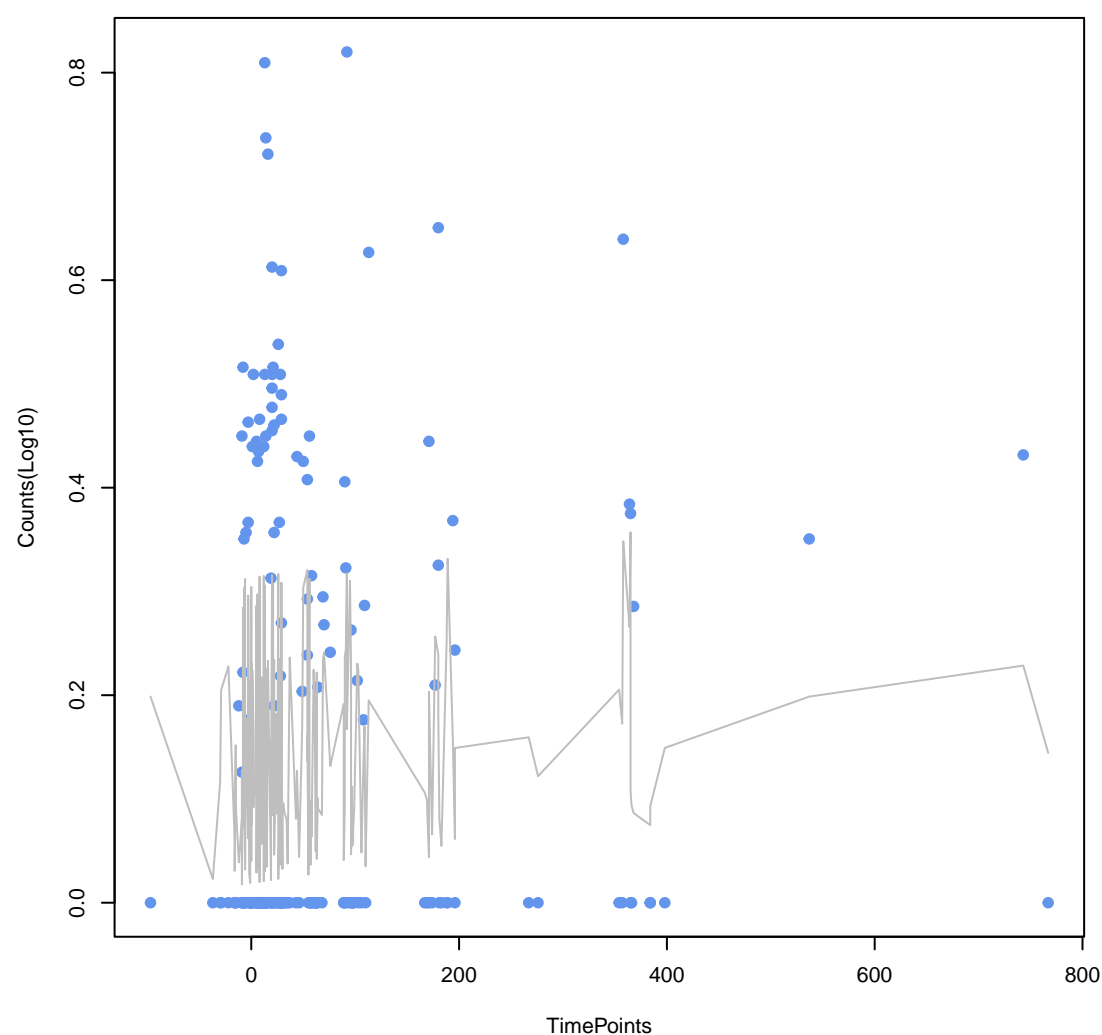
msrC
ANOVA P=0.183, adj. ANOVA-P=0.56



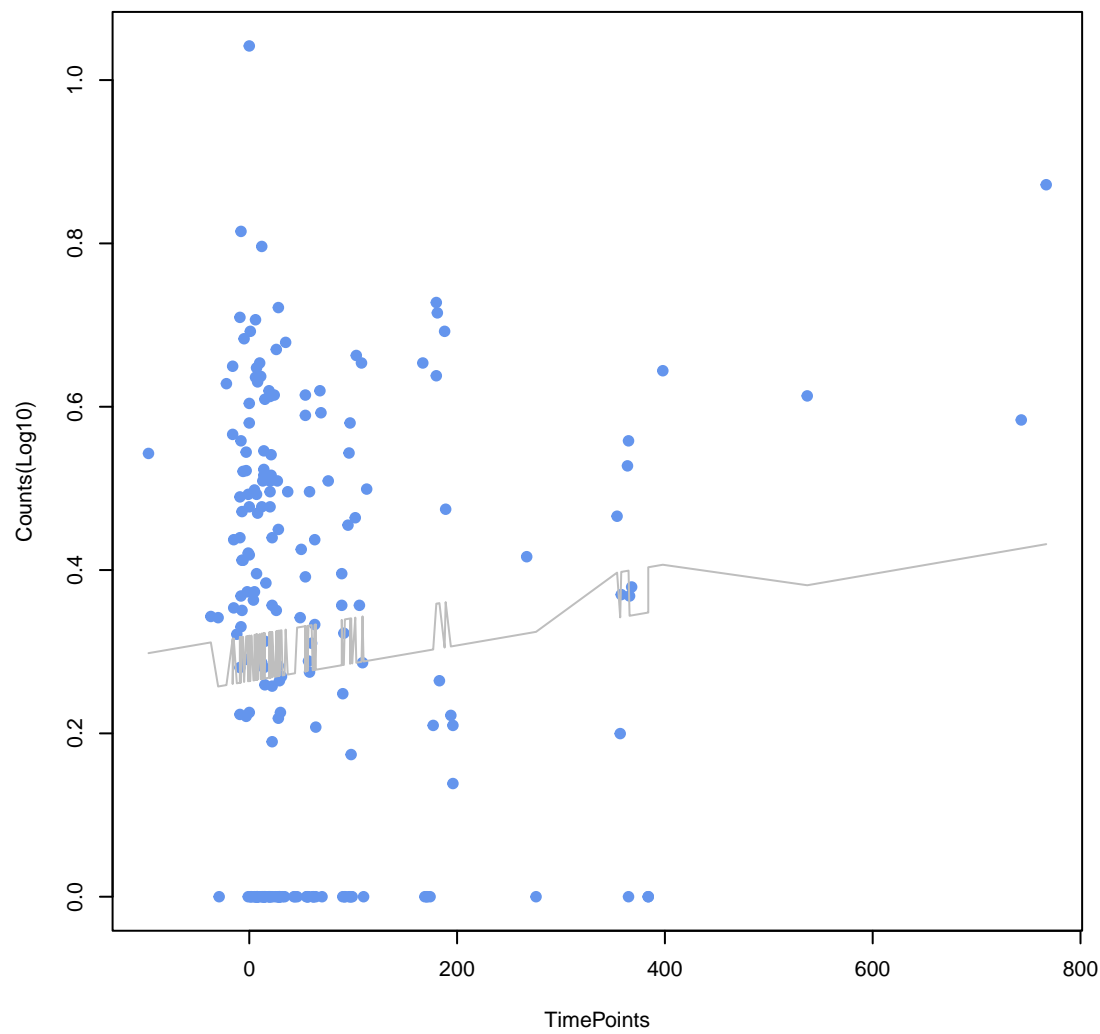
vanS gene in vanA cluster
ANOVA P=0.195, adj. ANOVA-P=0.56



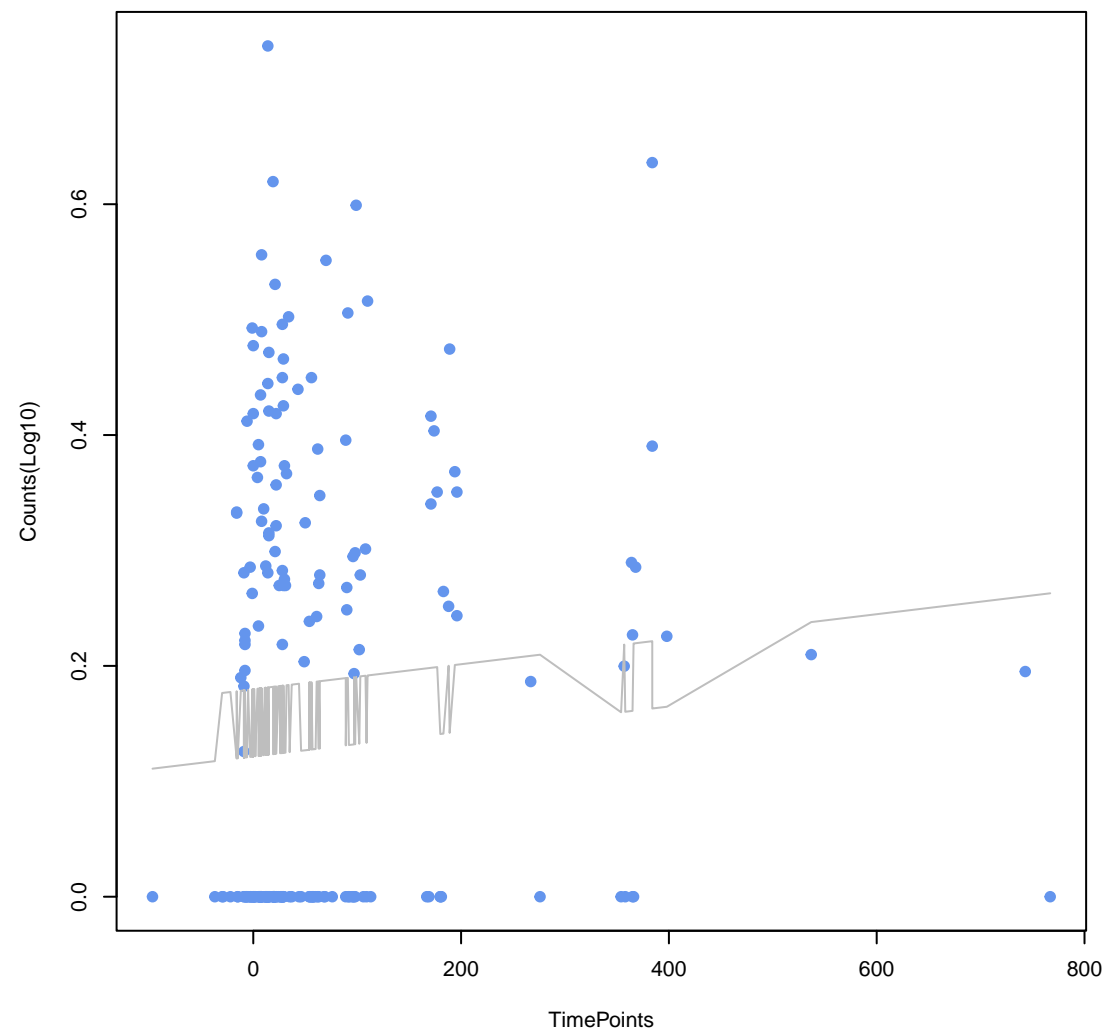
mdeA
ANOVA P=0.199, adj. ANOVA-P=0.56



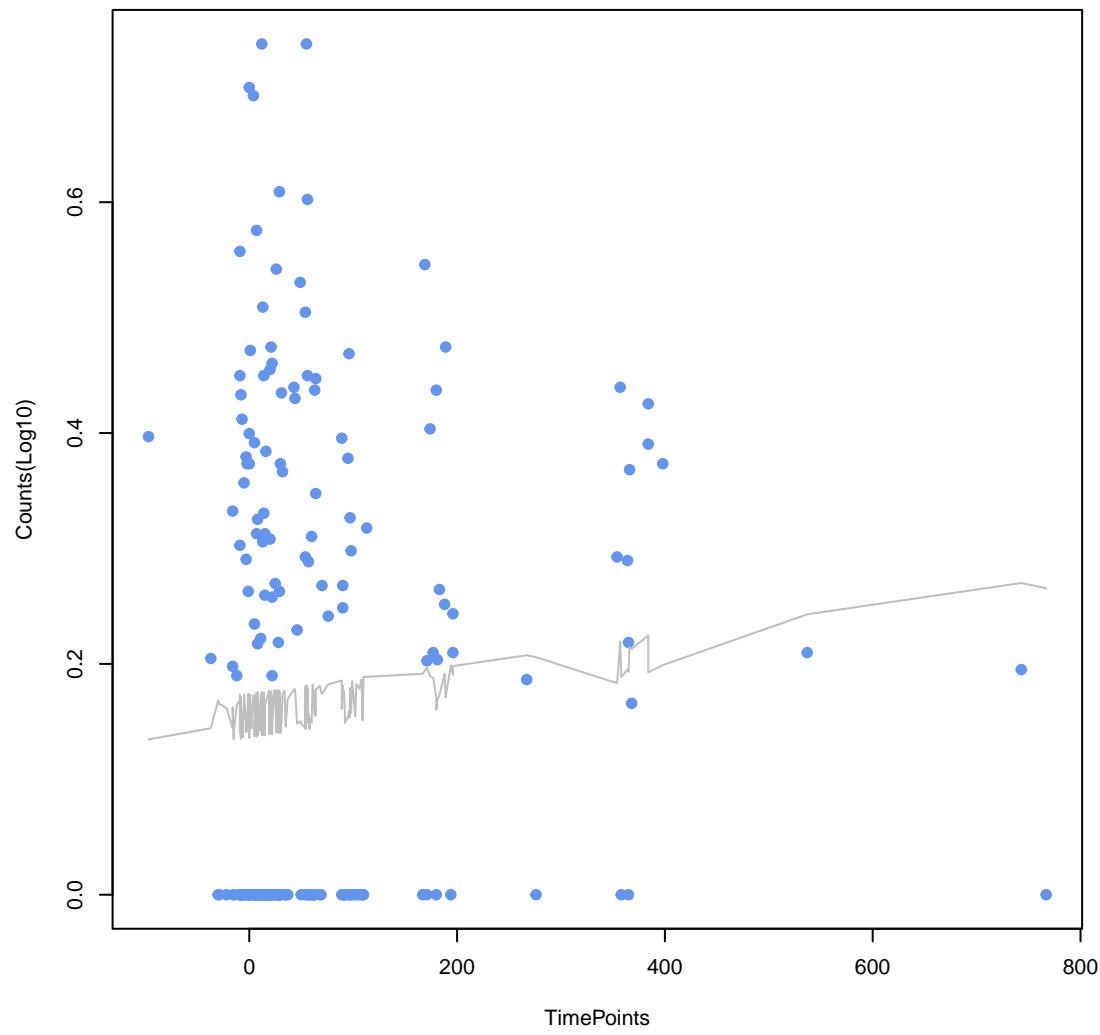
BlaB-16
ANOVA P=0.201, adj. ANOVA-P=0.56



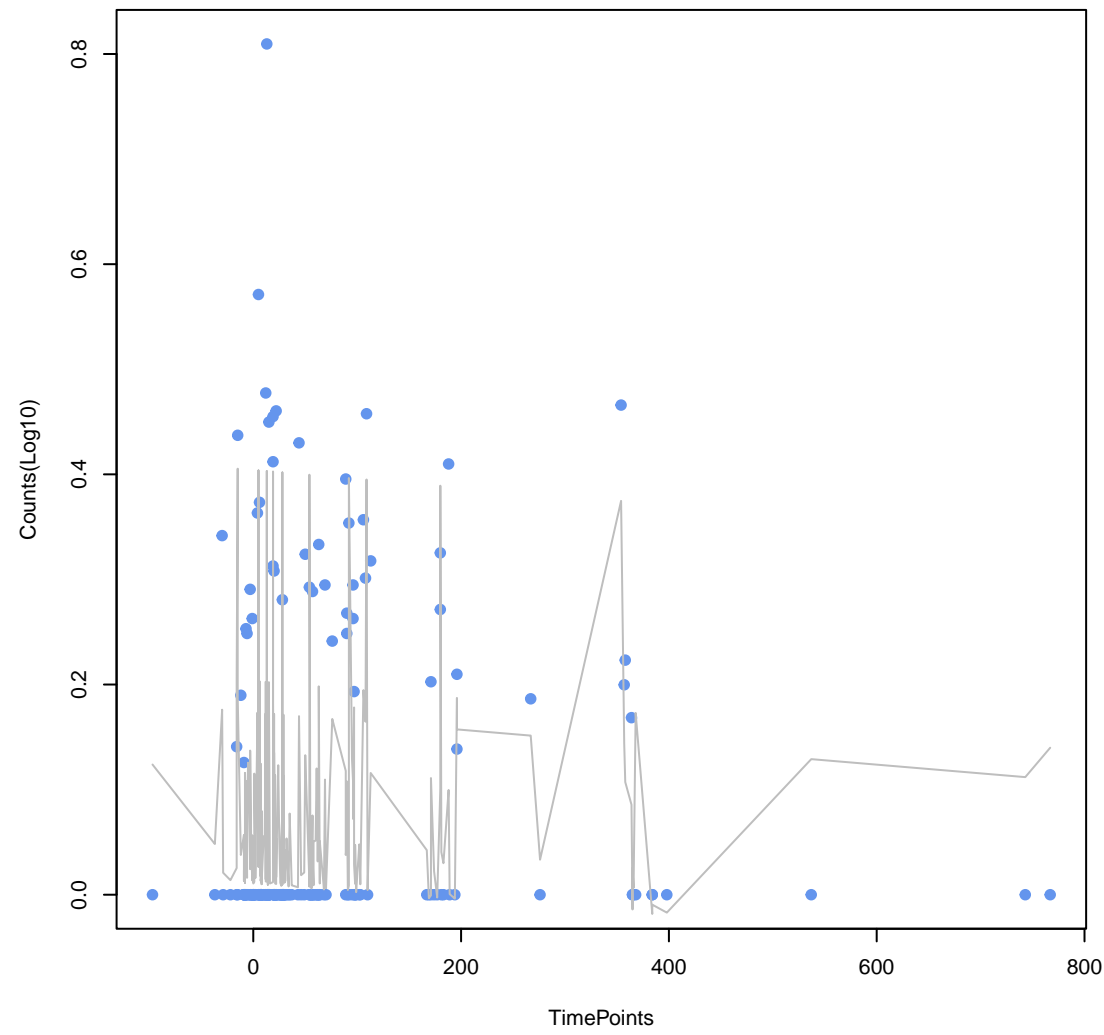
mdtM
ANOVA P=0.212, adj. ANOVA-P=0.56



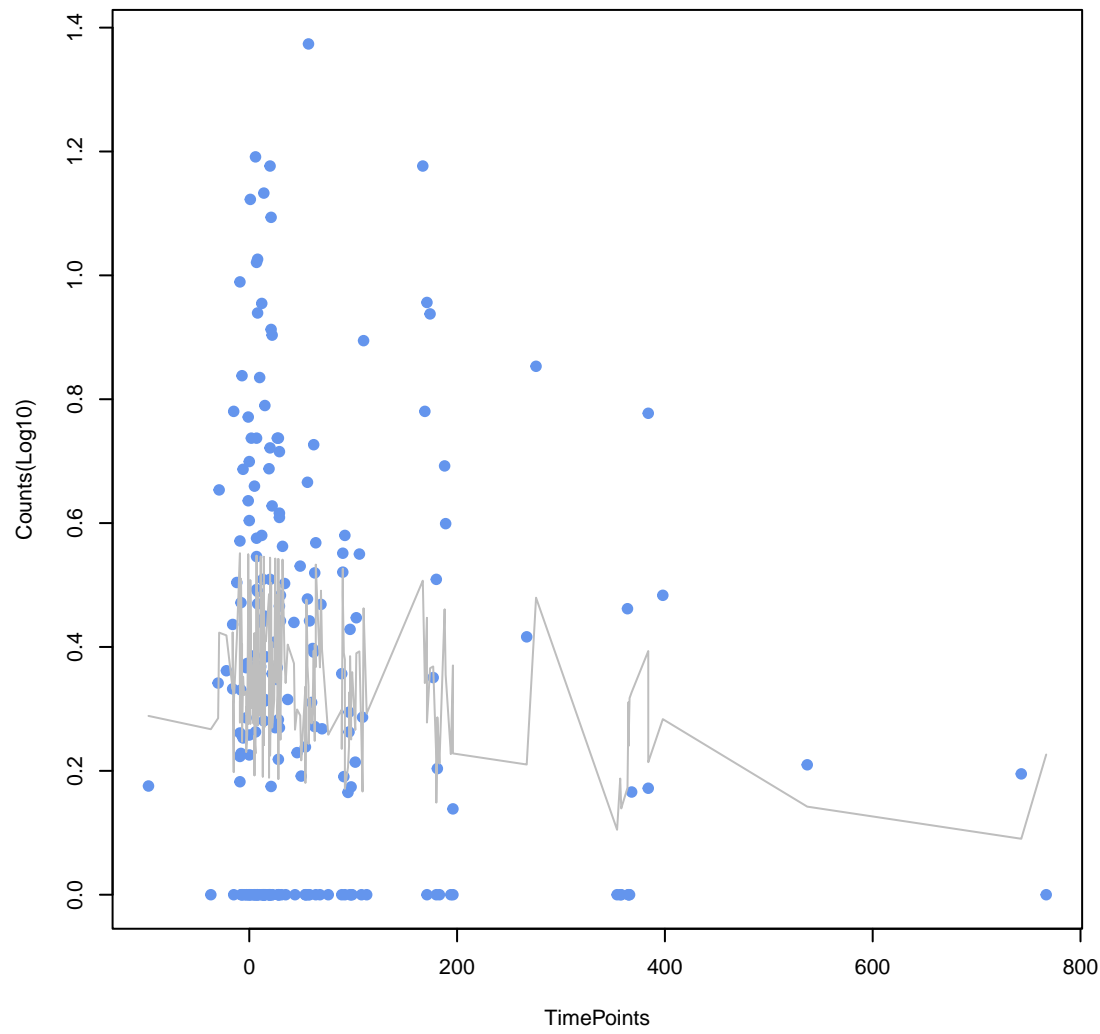
baeS
ANOVA P=0.221, adj. ANOVA-P=0.56



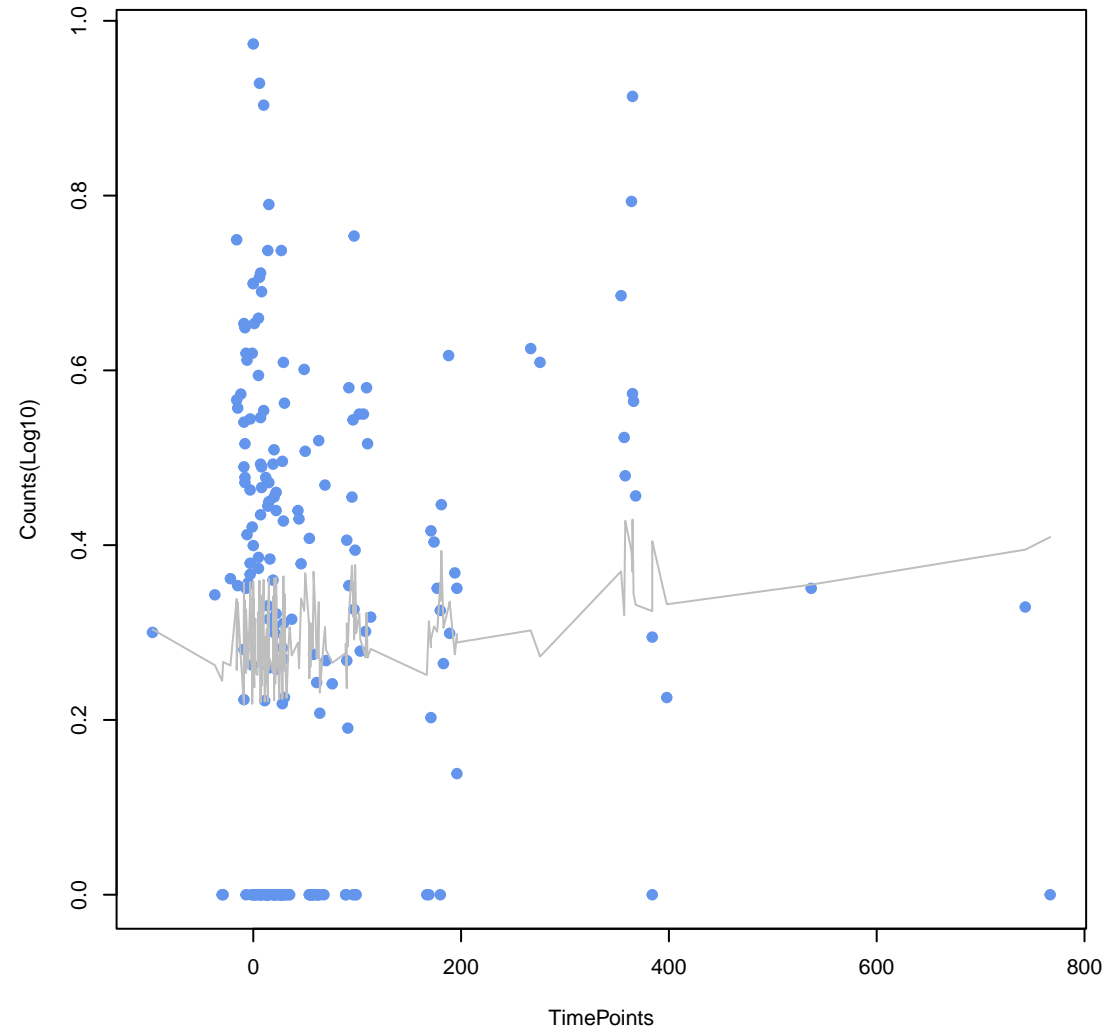
vanR gene in vanE cluster
ANOVA P=0.225, adj. ANOVA-P=0.56



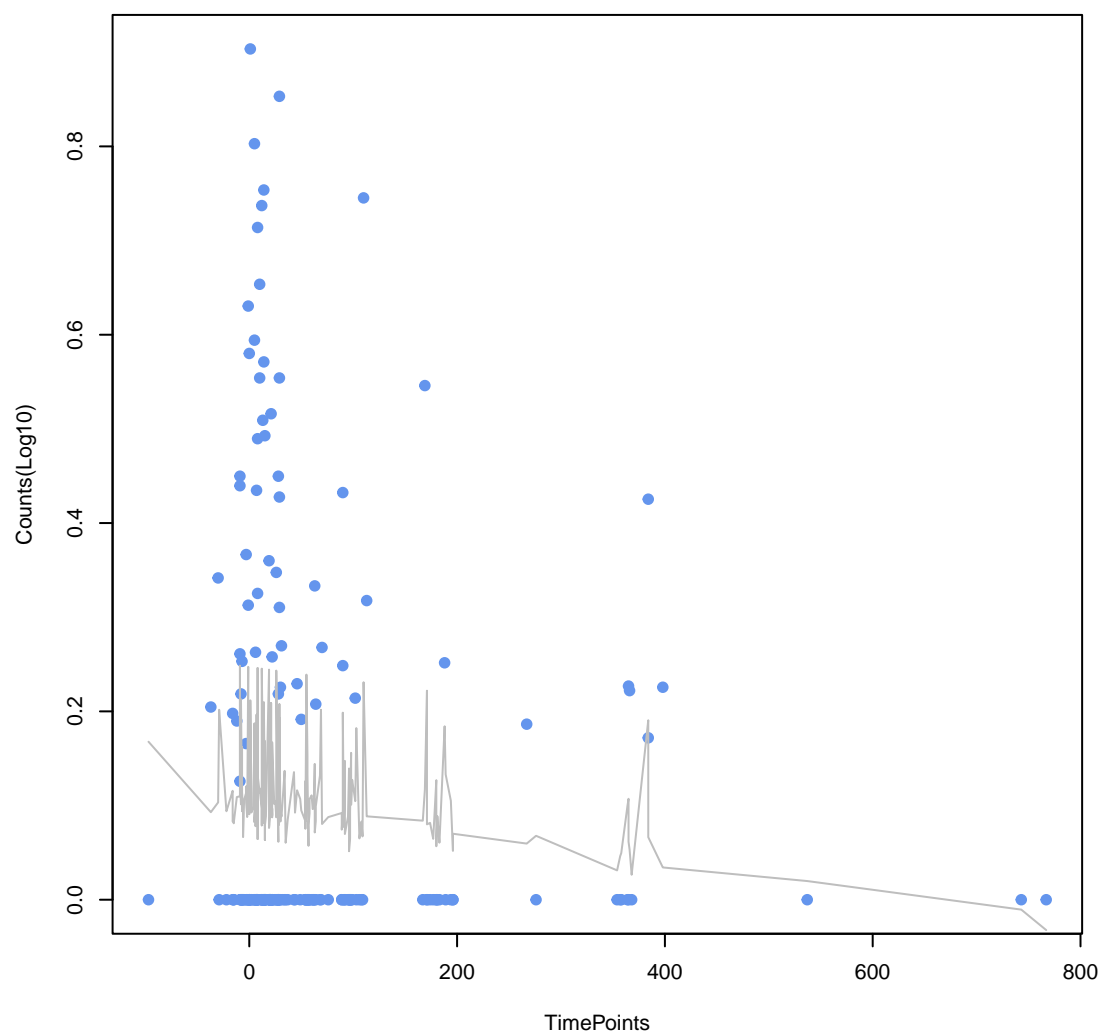
ImrD
ANOVA P=0.227, adj. ANOVA-P=0.56



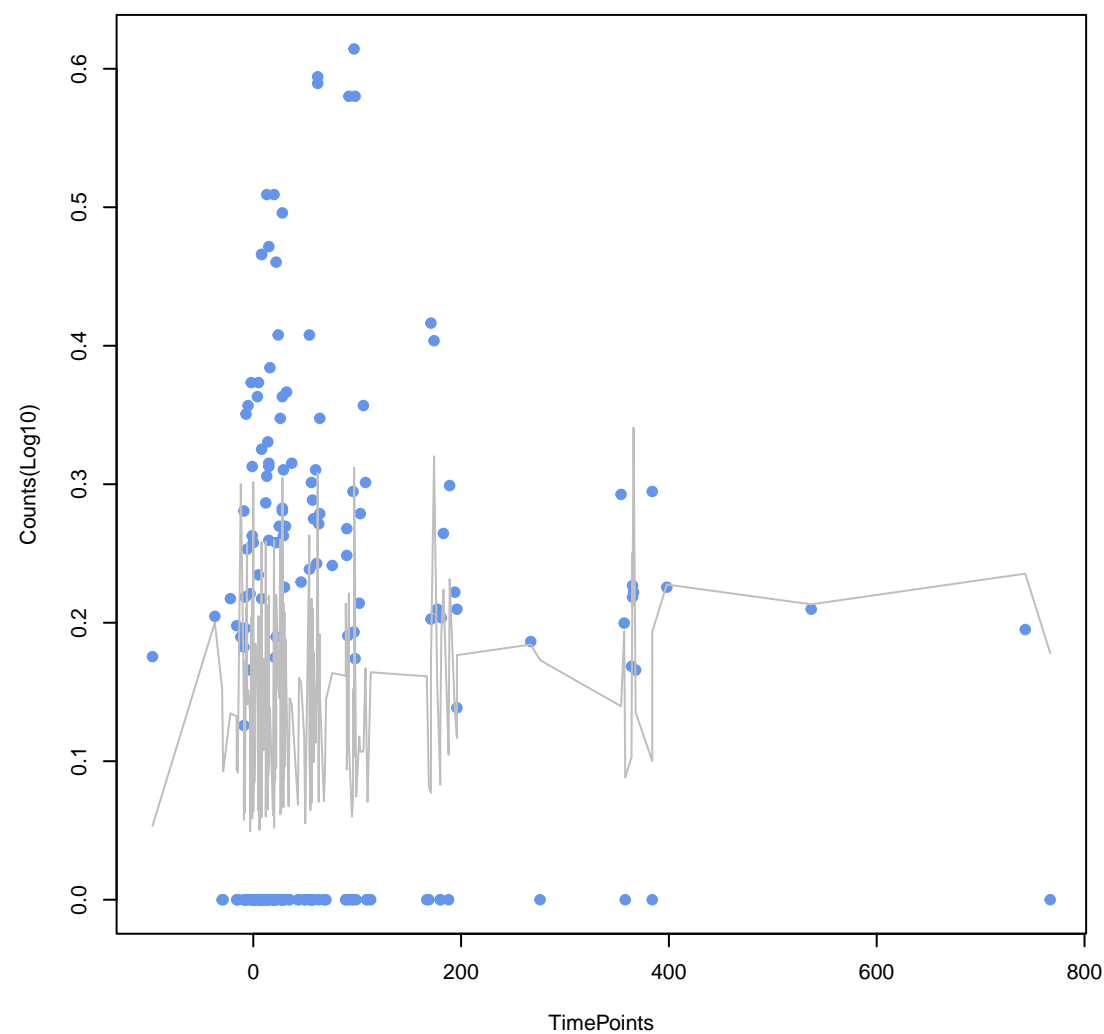
BlaB-38
ANOVA P=0.243, adj. ANOVA-P=0.56



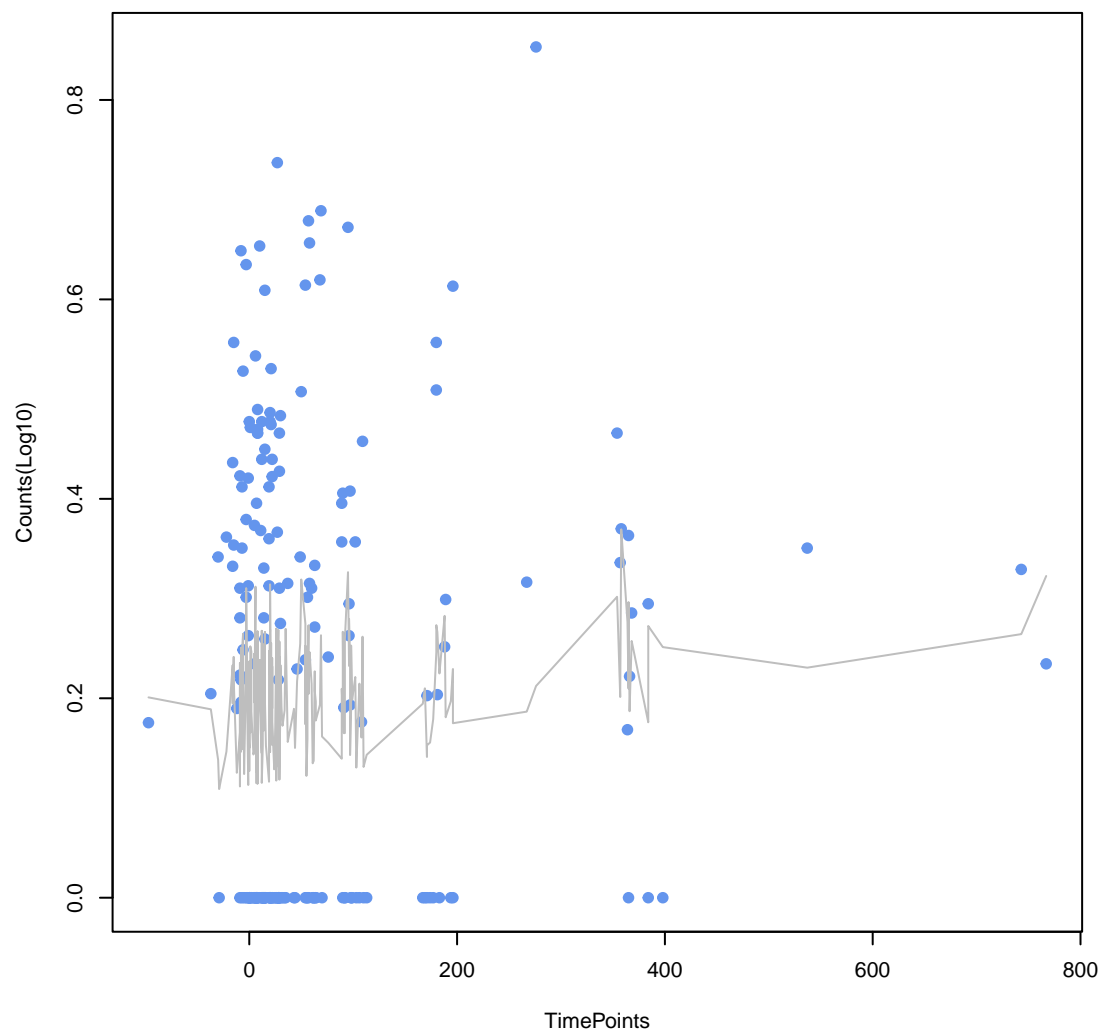
pmrA
ANOVA P=0.243, adj. ANOVA-P=0.56



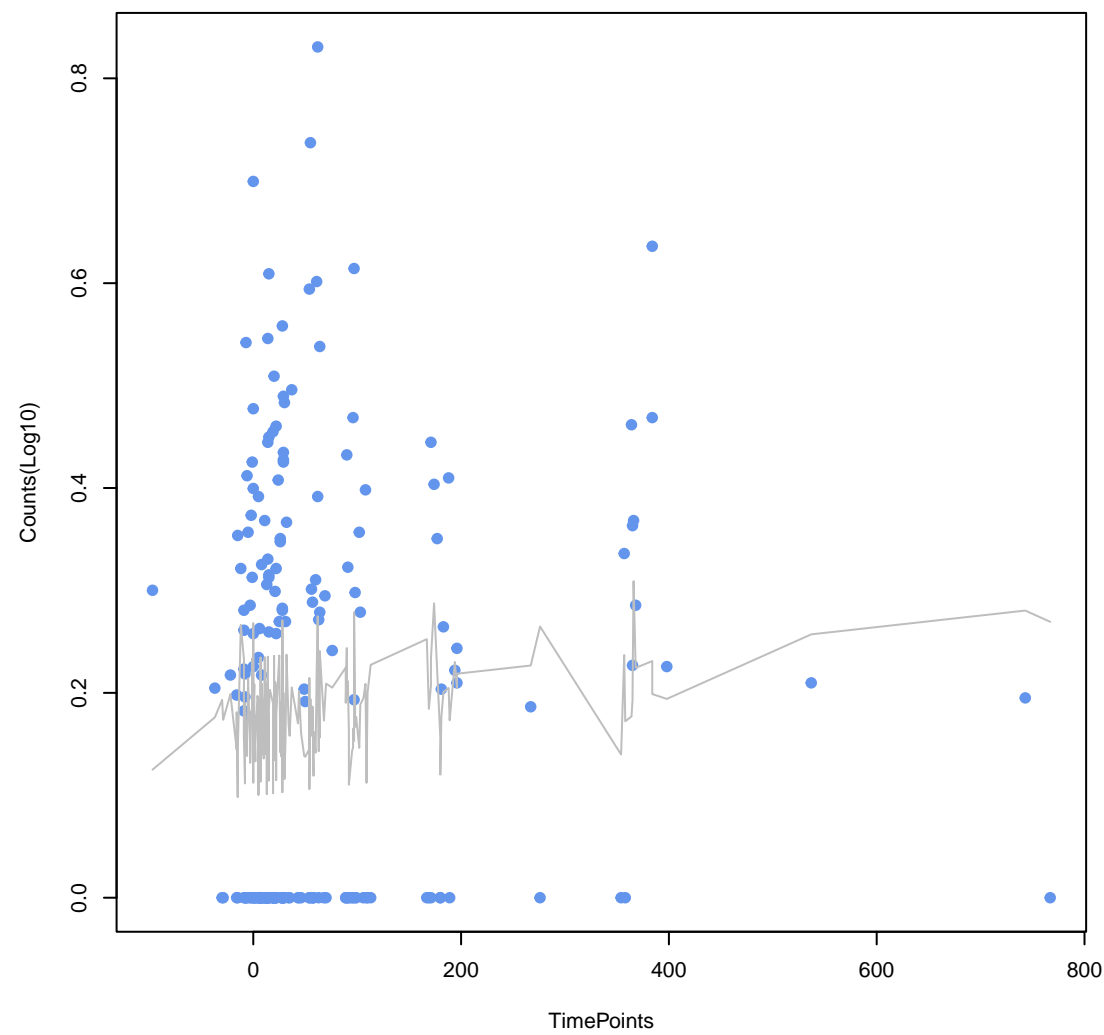
Escherichia coli EF-Tu mutants conferring resistance to Pulvomycin
ANOVA P=0.248, adj. ANOVA-P=0.56



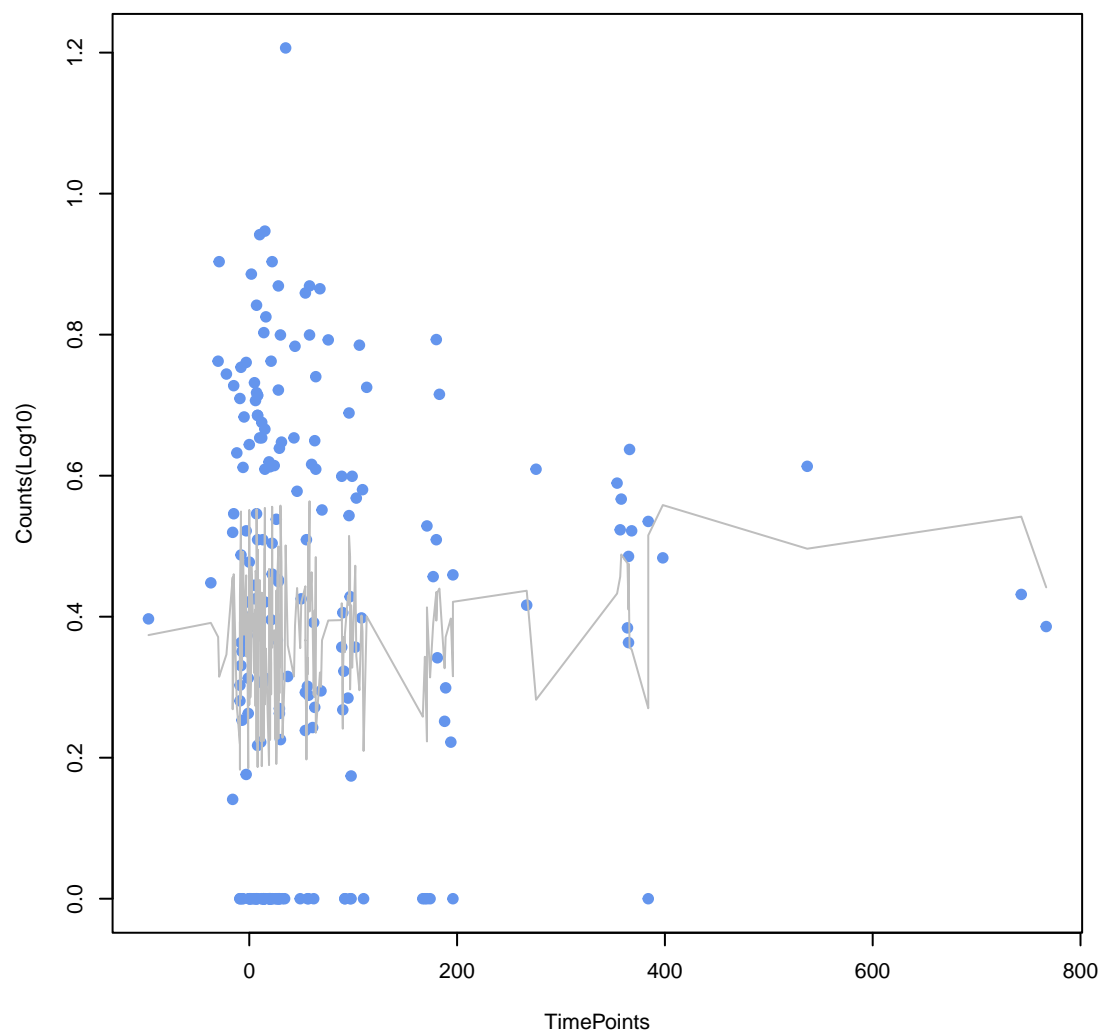
chrB
ANOVA P=0.252, adj. ANOVA-P=0.56



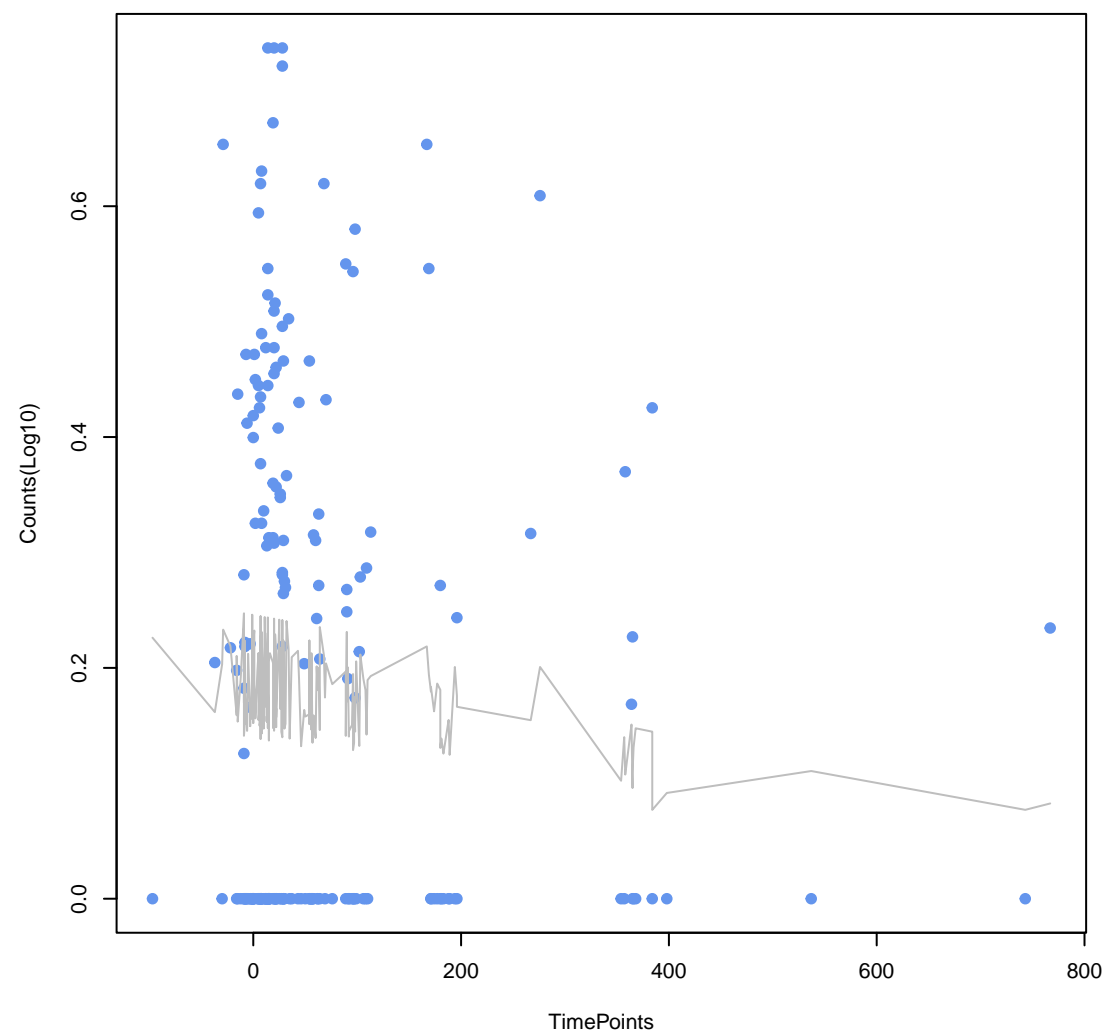
baeR
ANOVA P=0.253, adj. ANOVA-P=0.56



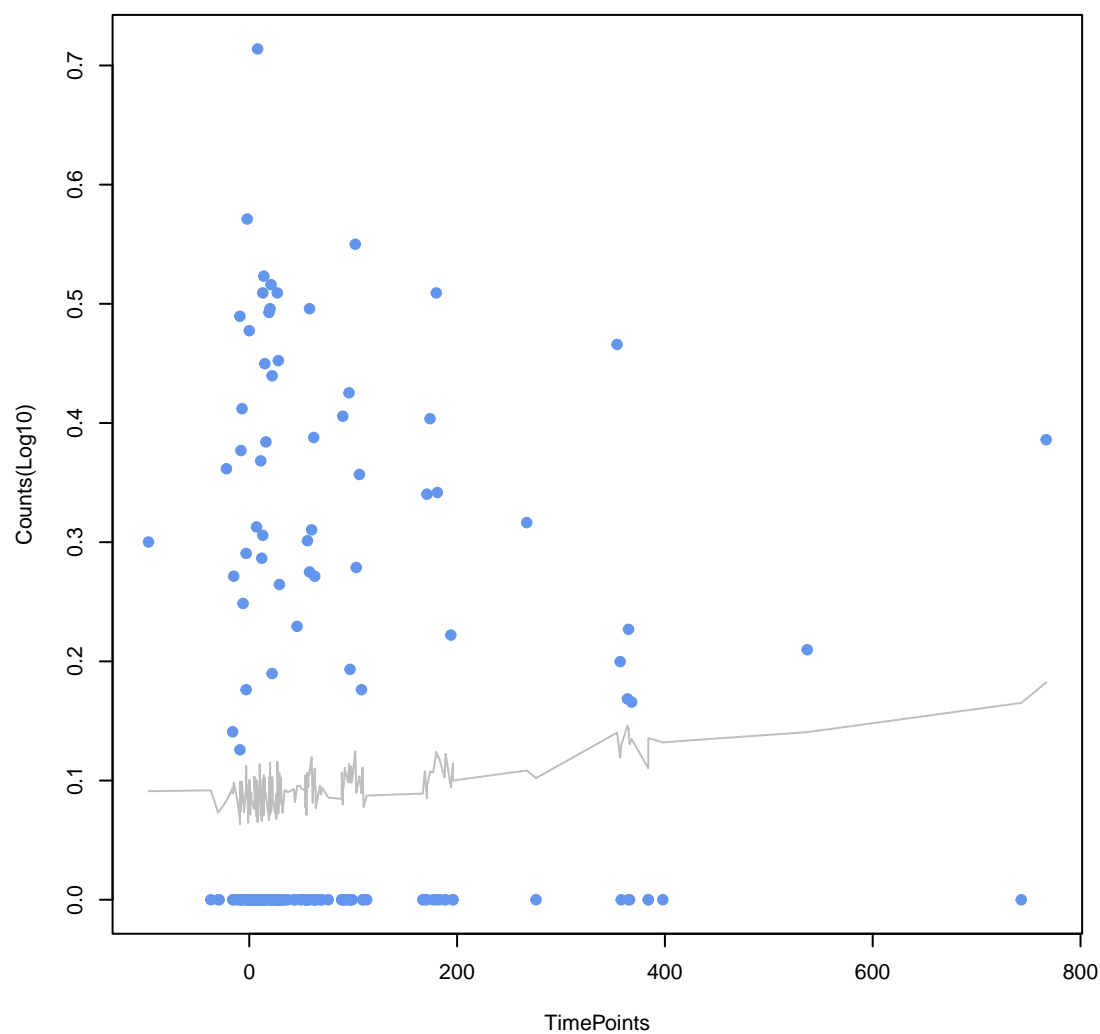
poxA
ANOVA P=0.256, adj. ANOVA-P=0.56



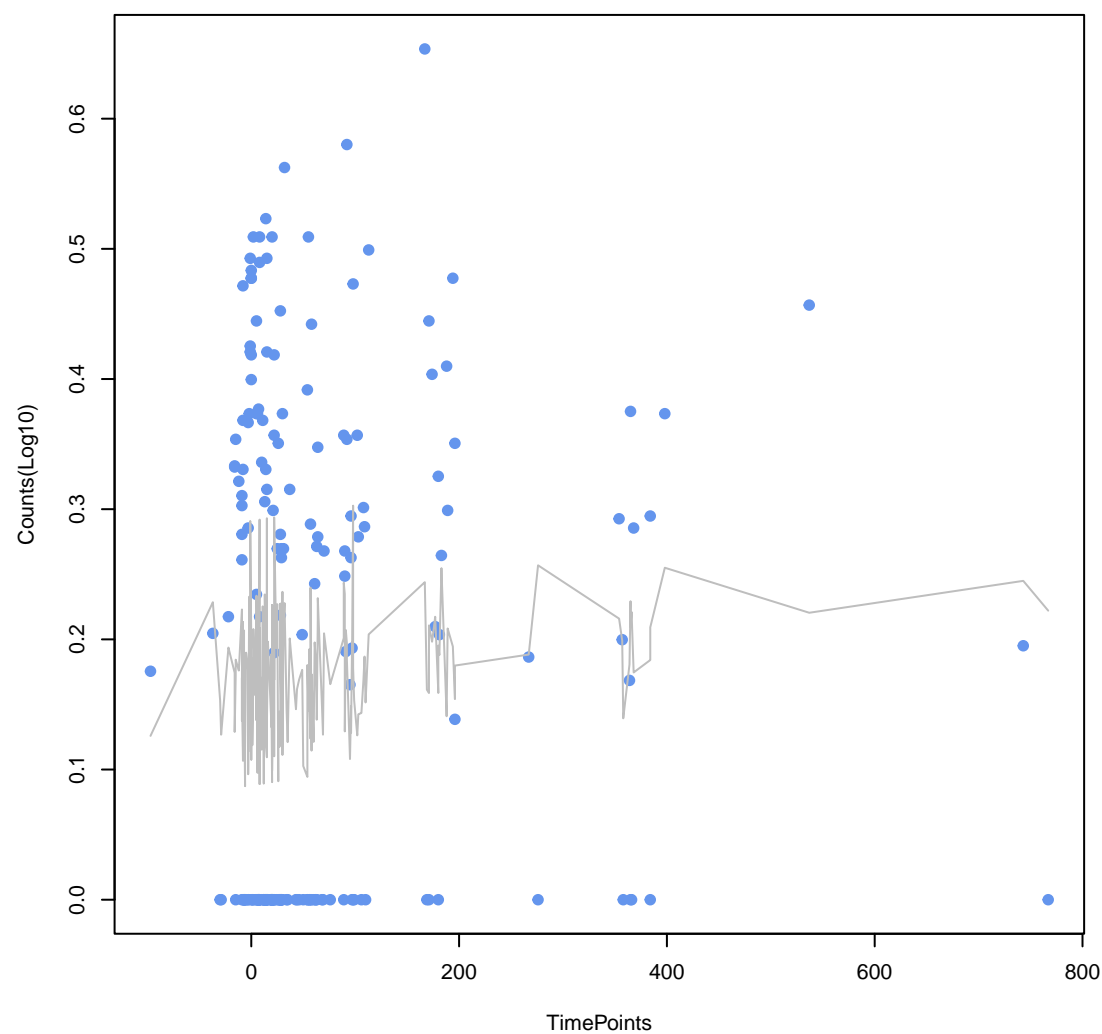
vanX gene in vanA cluster
ANOVA P=0.259, adj. ANOVA-P=0.56



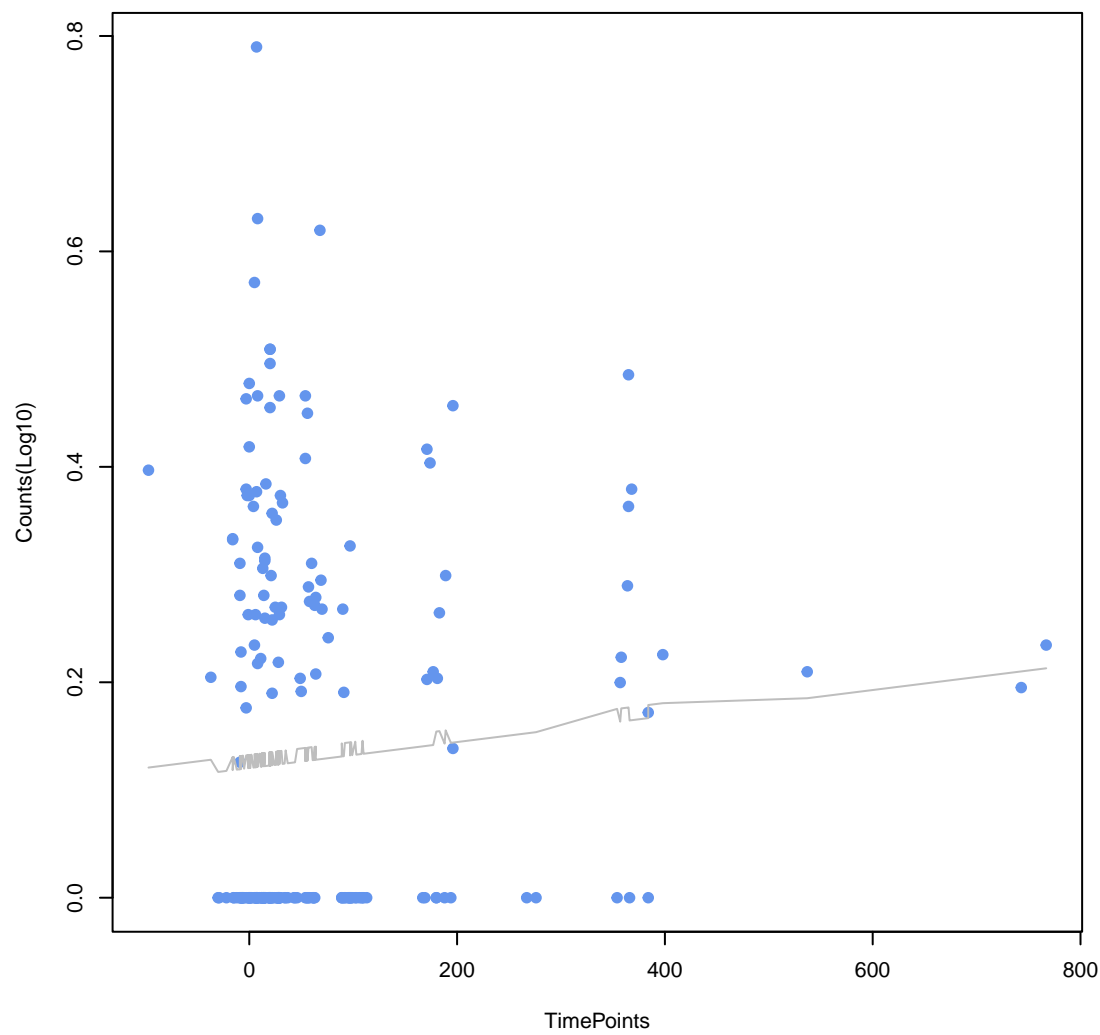
tet(W/N/W)
ANOVA P=0.259, adj. ANOVA-P=0.56



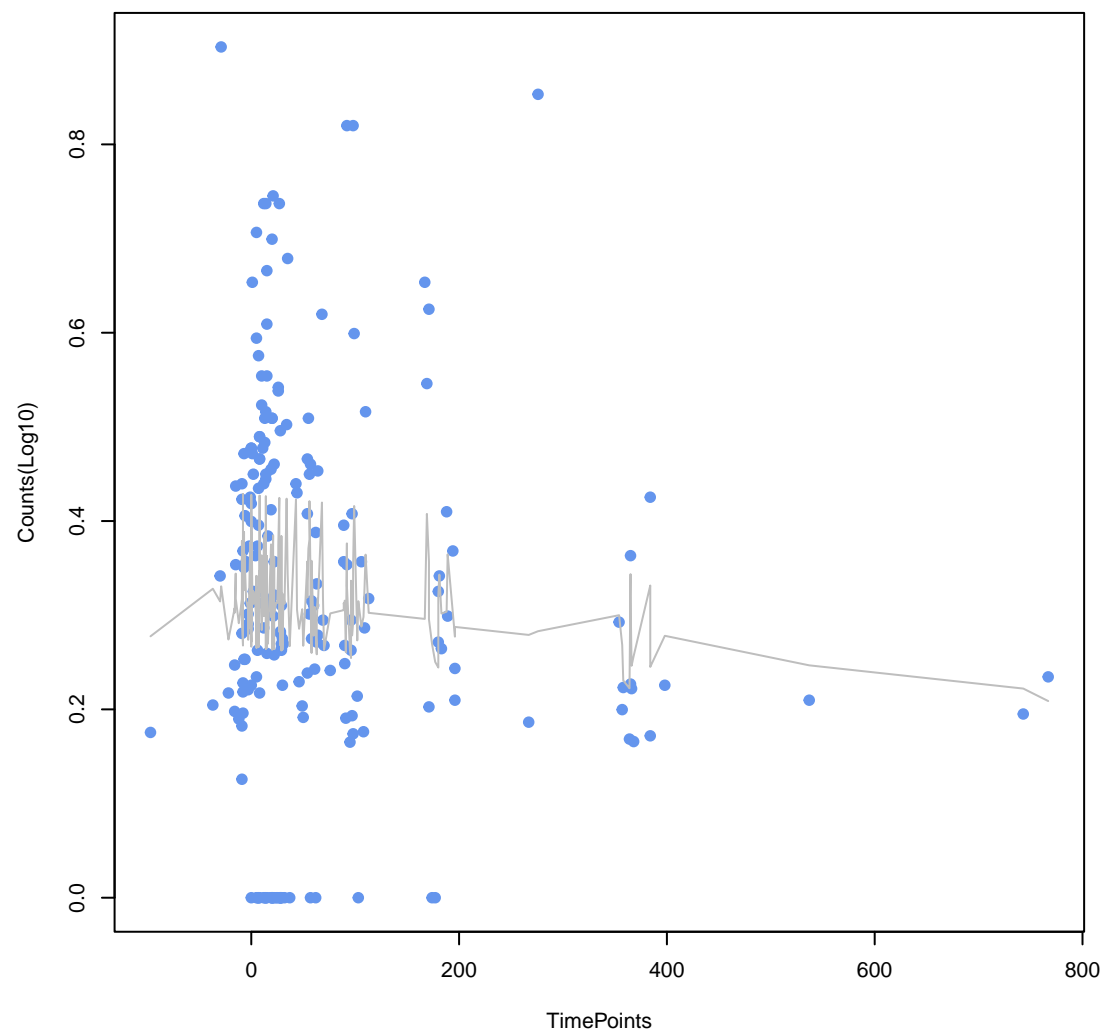
mdtG
ANOVA P=0.265, adj. ANOVA-P=0.56



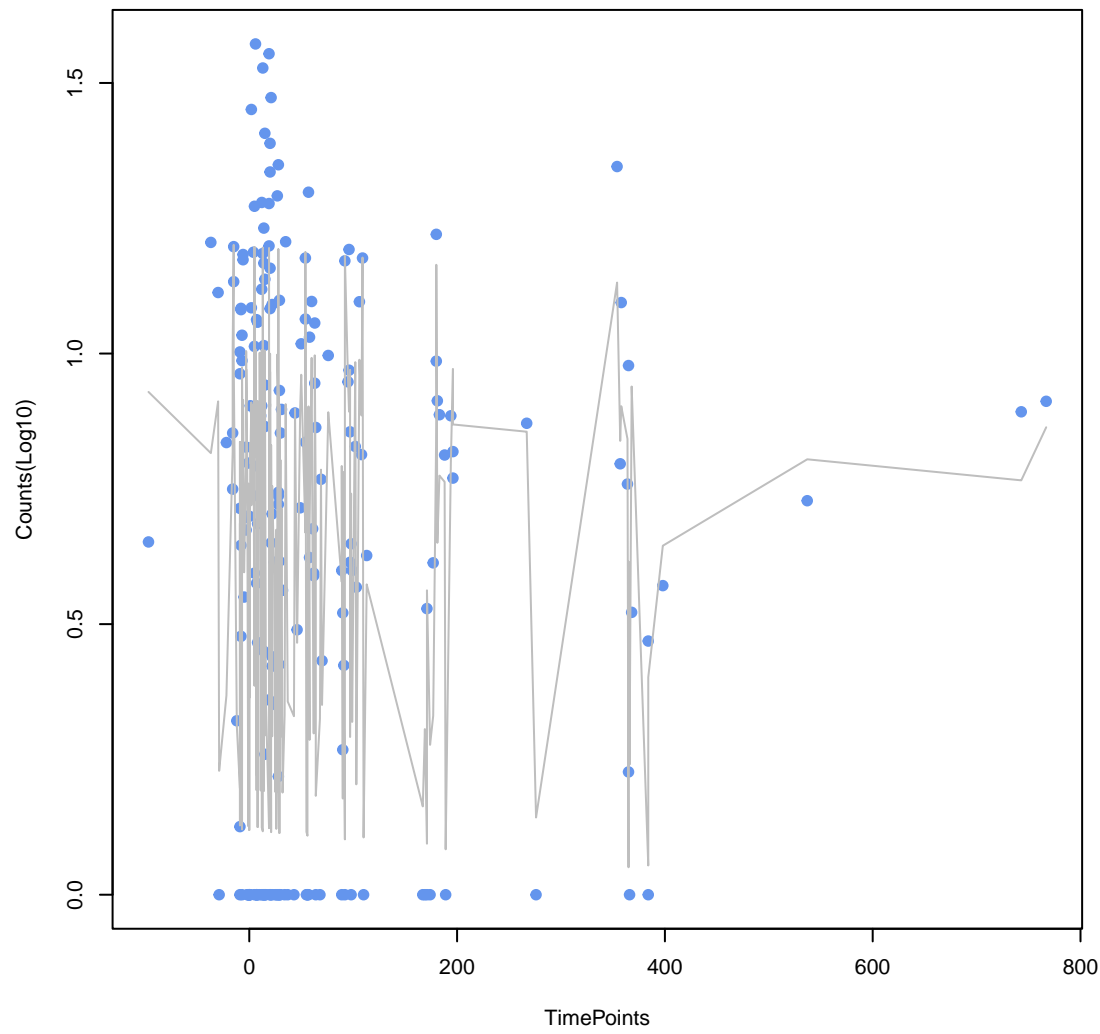
mdtN
ANOVA P=0.267, adj. ANOVA-P=0.56



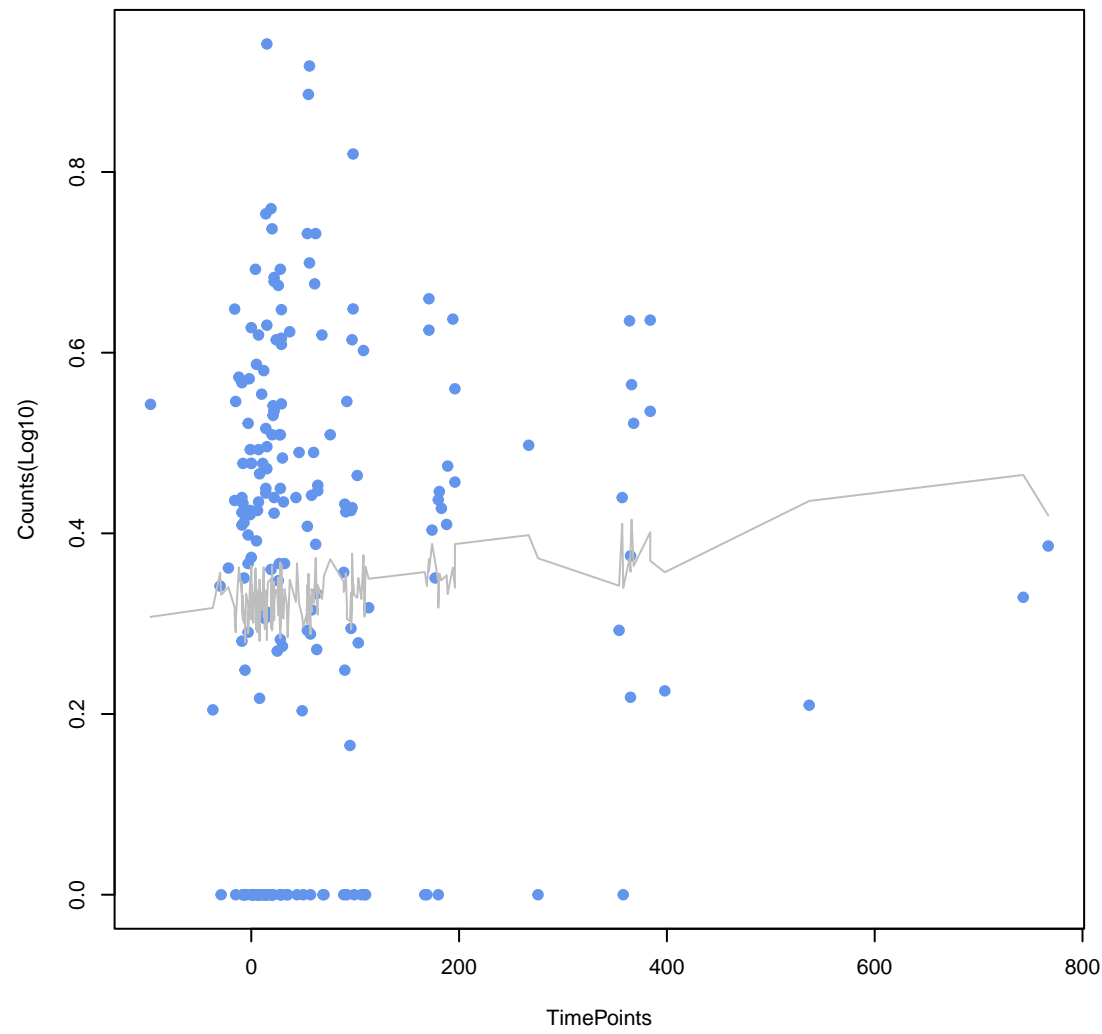
tet(40)
ANOVA P=0.298, adj. ANOVA-P=0.597



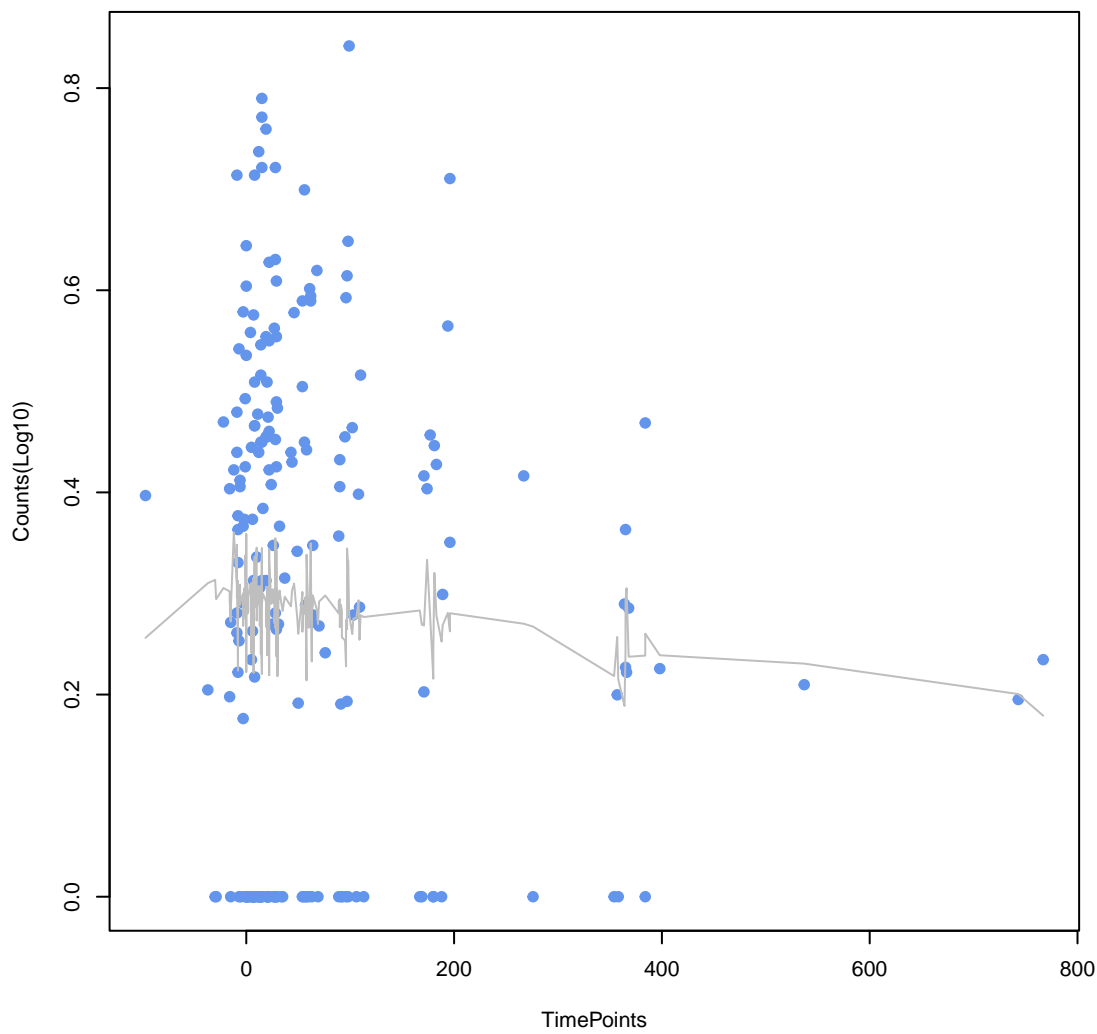
adeF
ANOVA P=0.305, adj. ANOVA-P=0.597



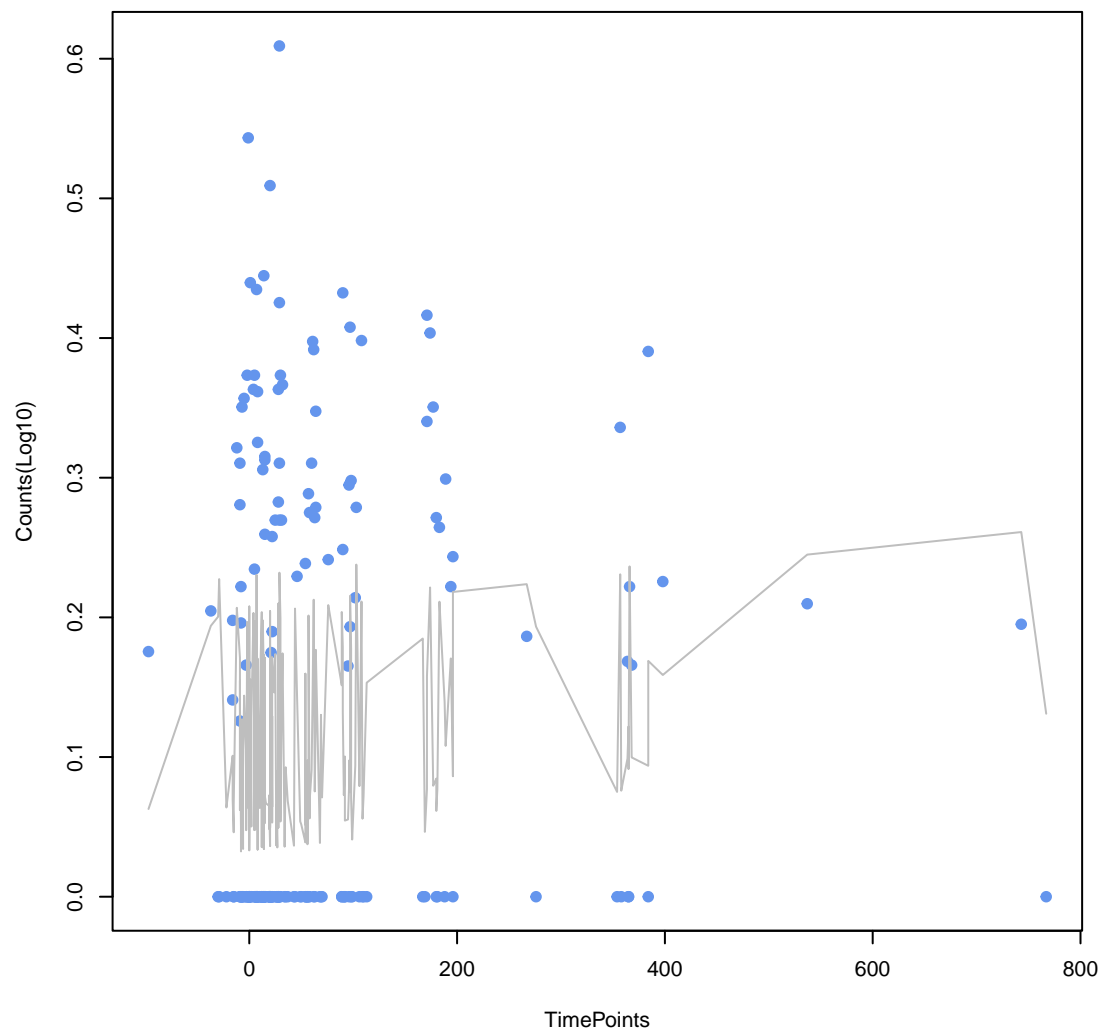
acrD
ANOVA P=0.306, adj. ANOVA-P=0.597



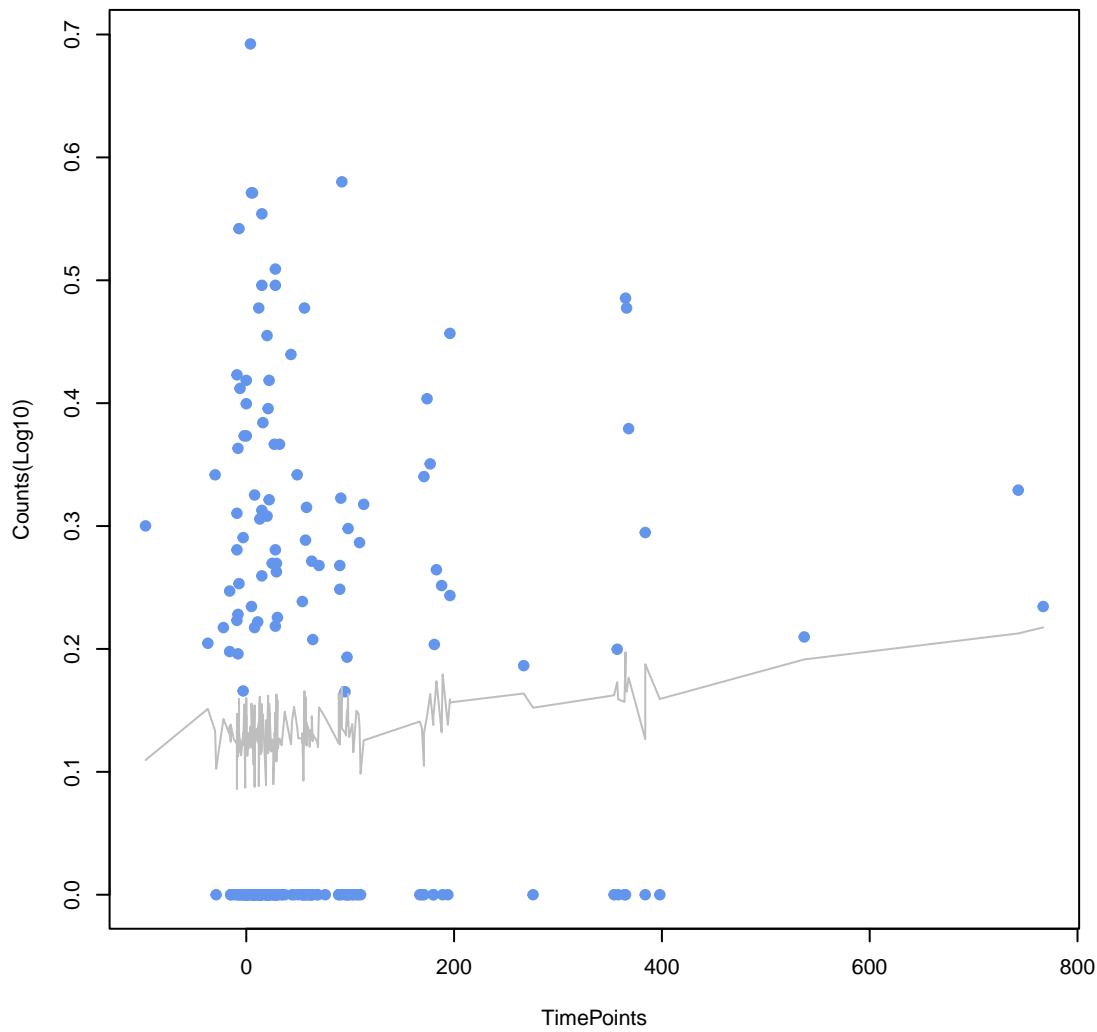
mdtC
ANOVA P=0.307, adj. ANOVA-P=0.597



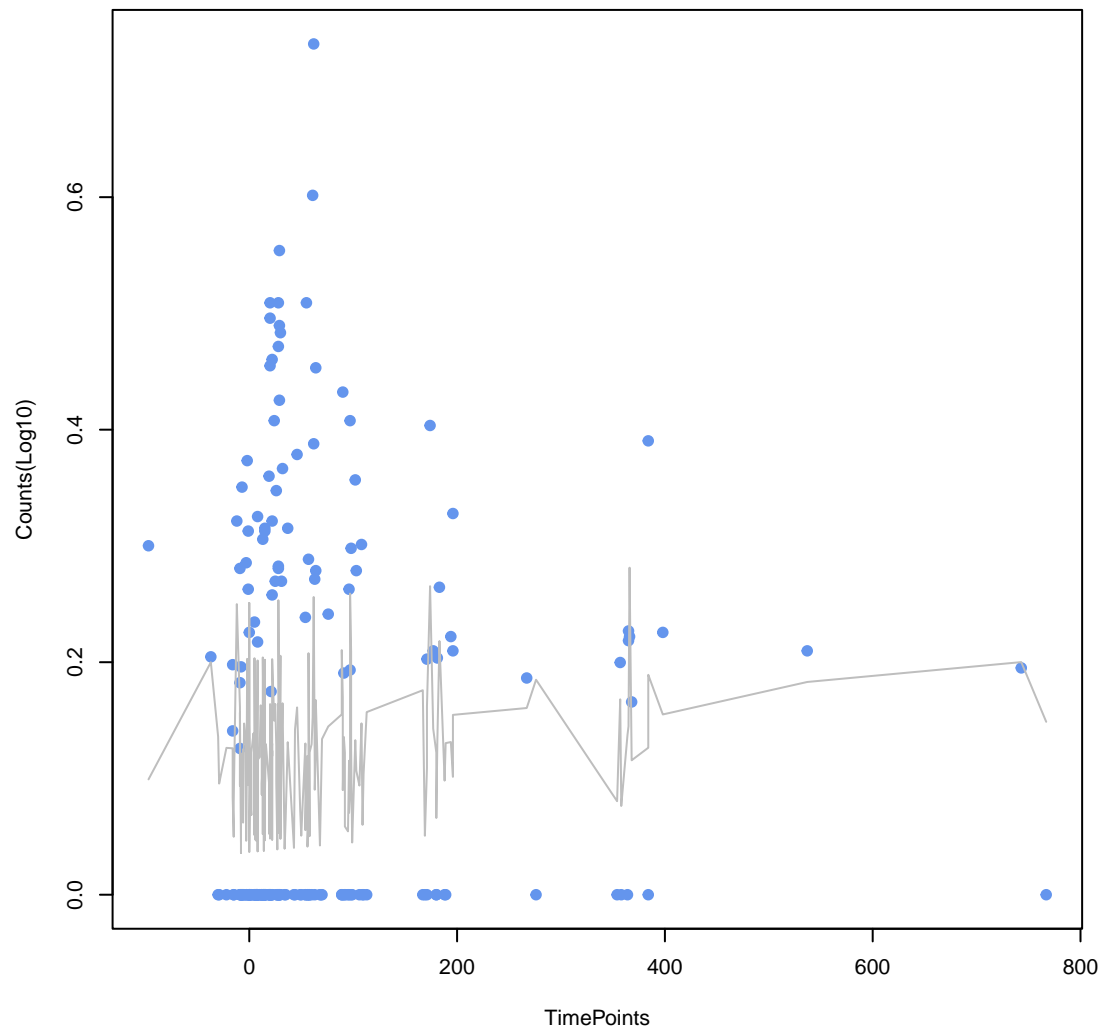
Escherichia coli soxS with mutation conferring antibiotic resistance
ANOVA P=0.315, adj. ANOVA-P=0.602



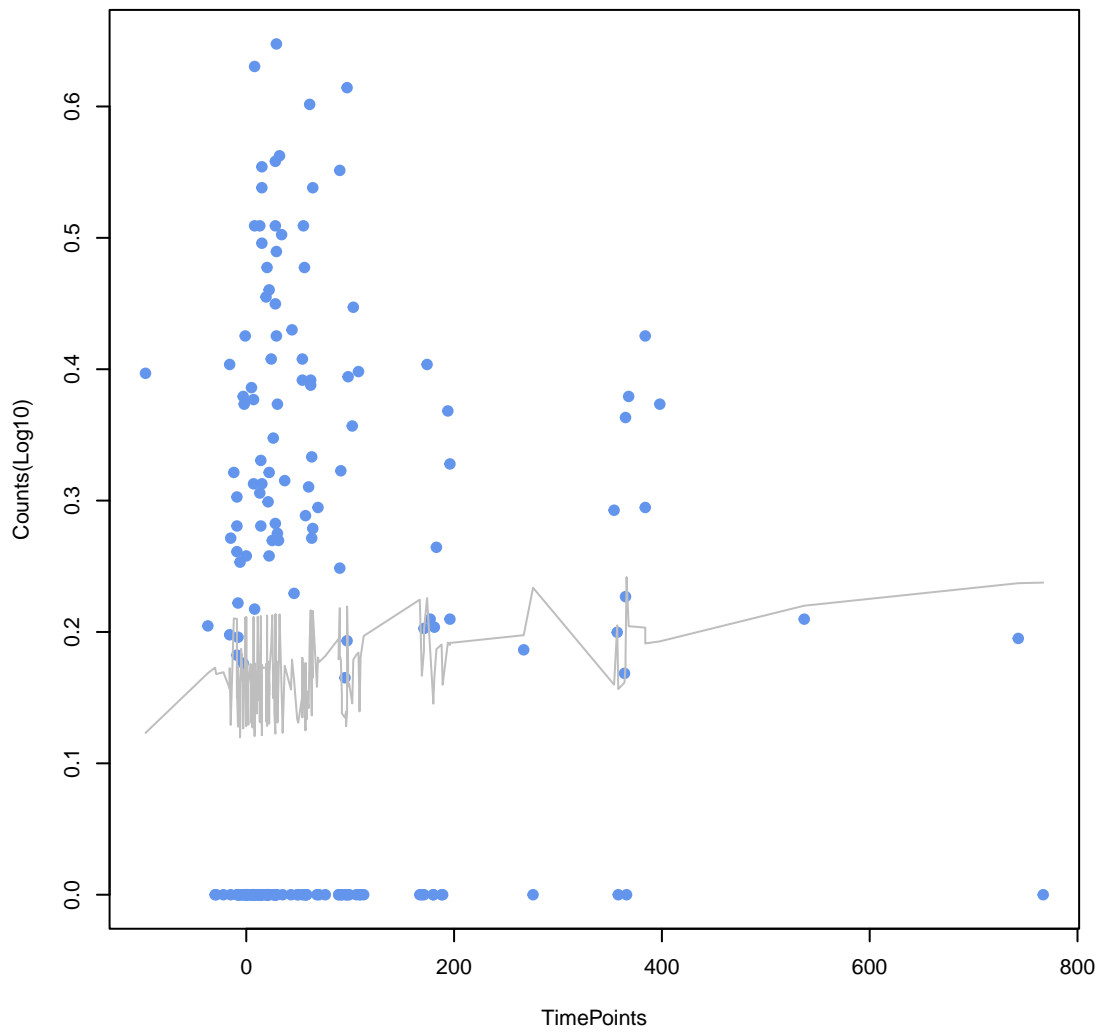
eptA
ANOVA P=0.345, adj. ANOVA-P=0.648



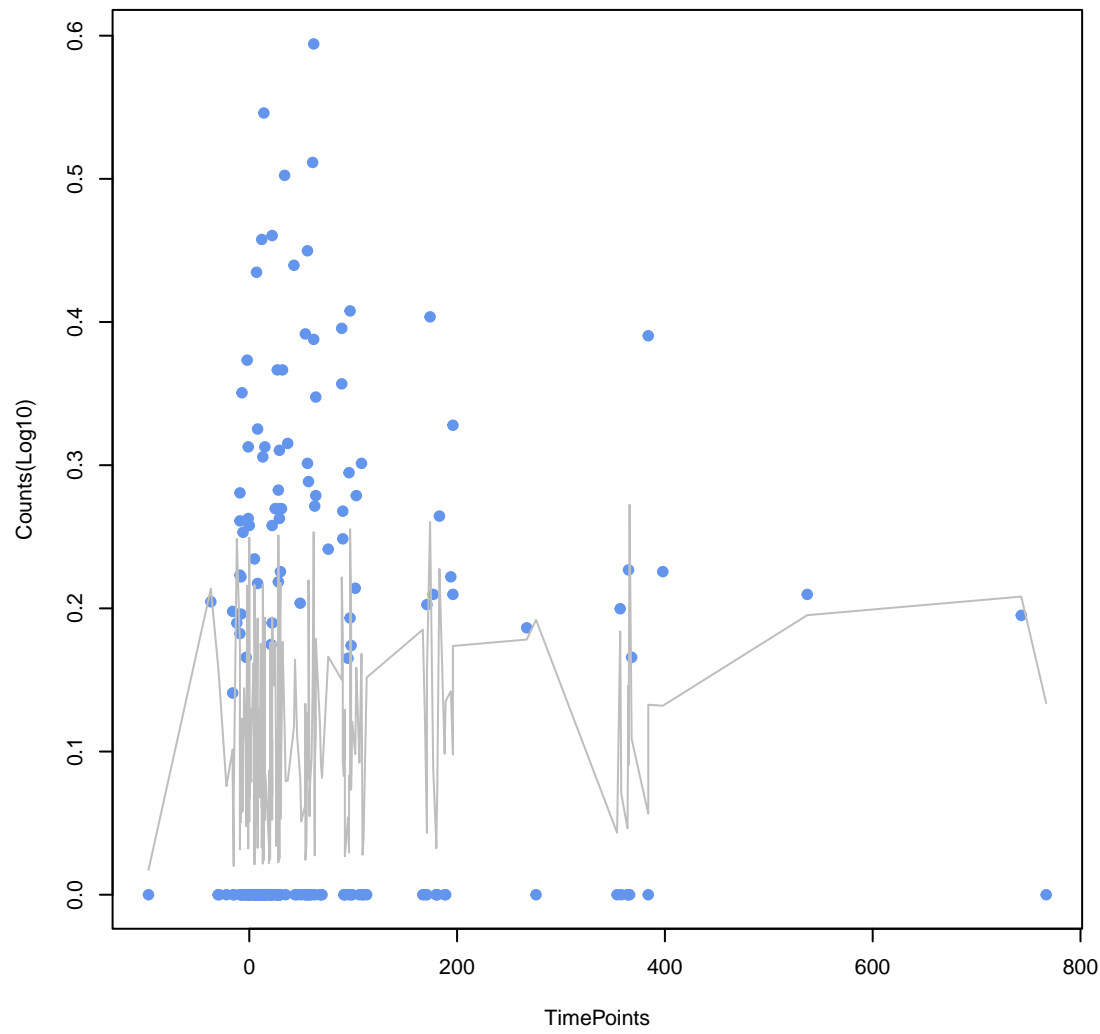
marA
ANOVA P=0.367, adj. ANOVA-P=0.676



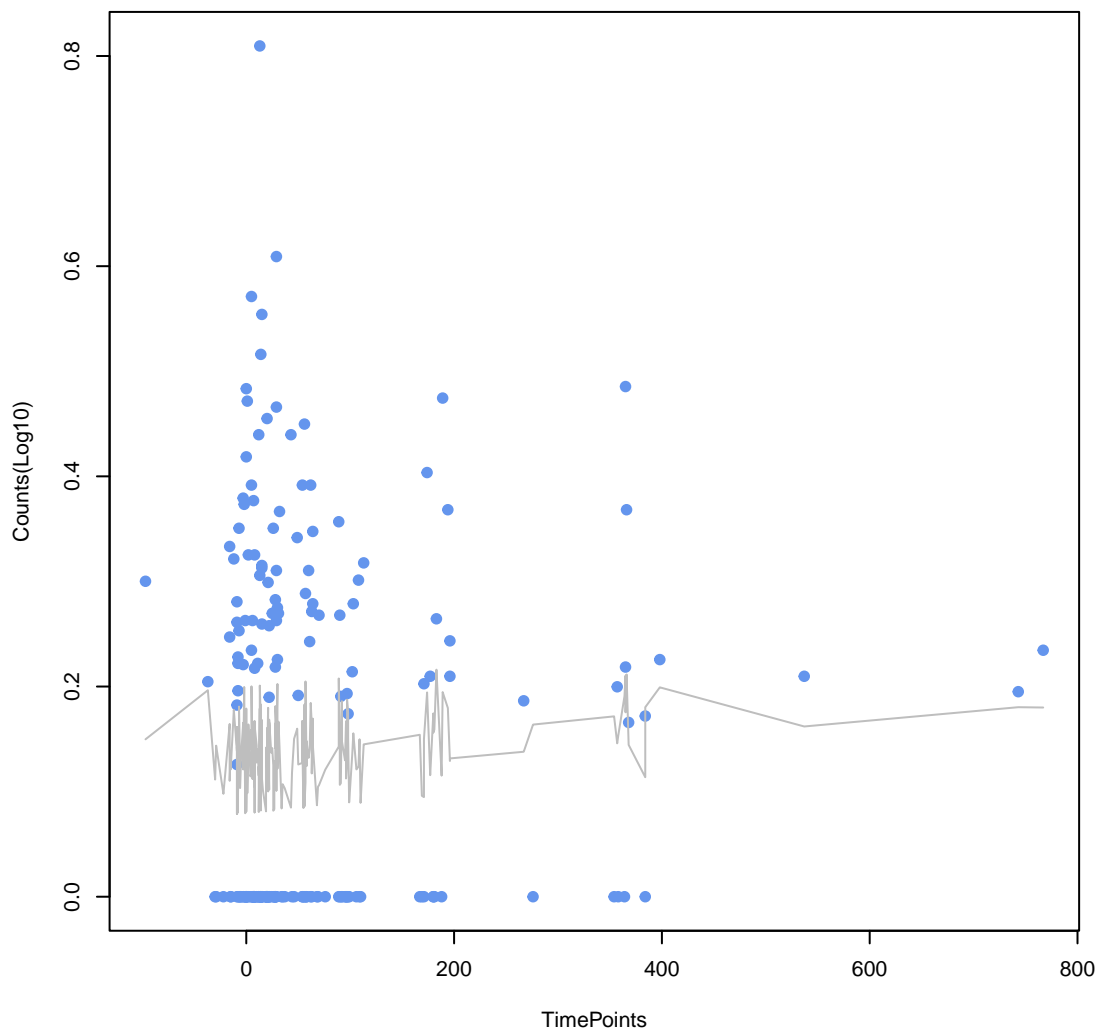
PmrF
ANOVA P=0.392, adj. ANOVA-P=0.712



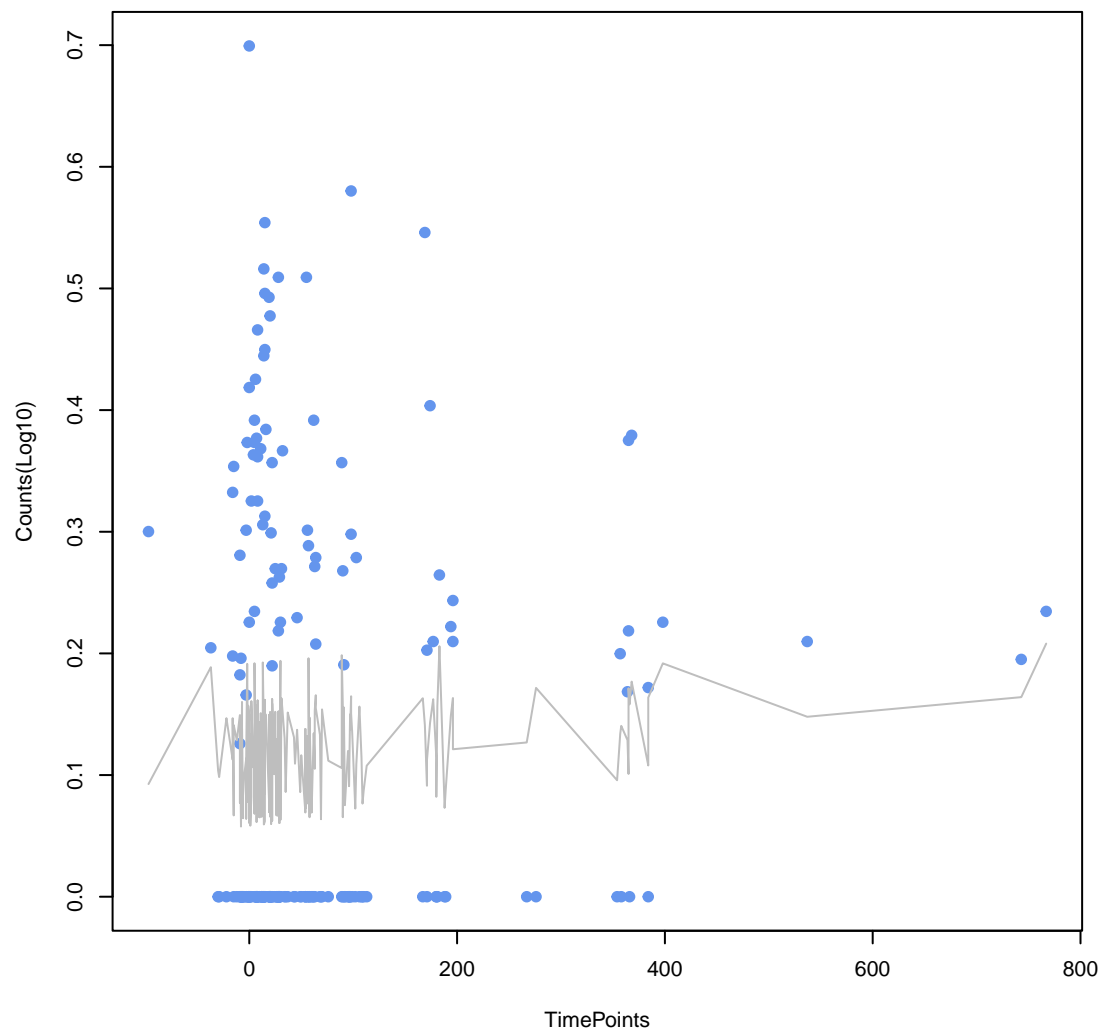
H-NS
ANOVA P=0.403, adj. ANOVA-P=0.717



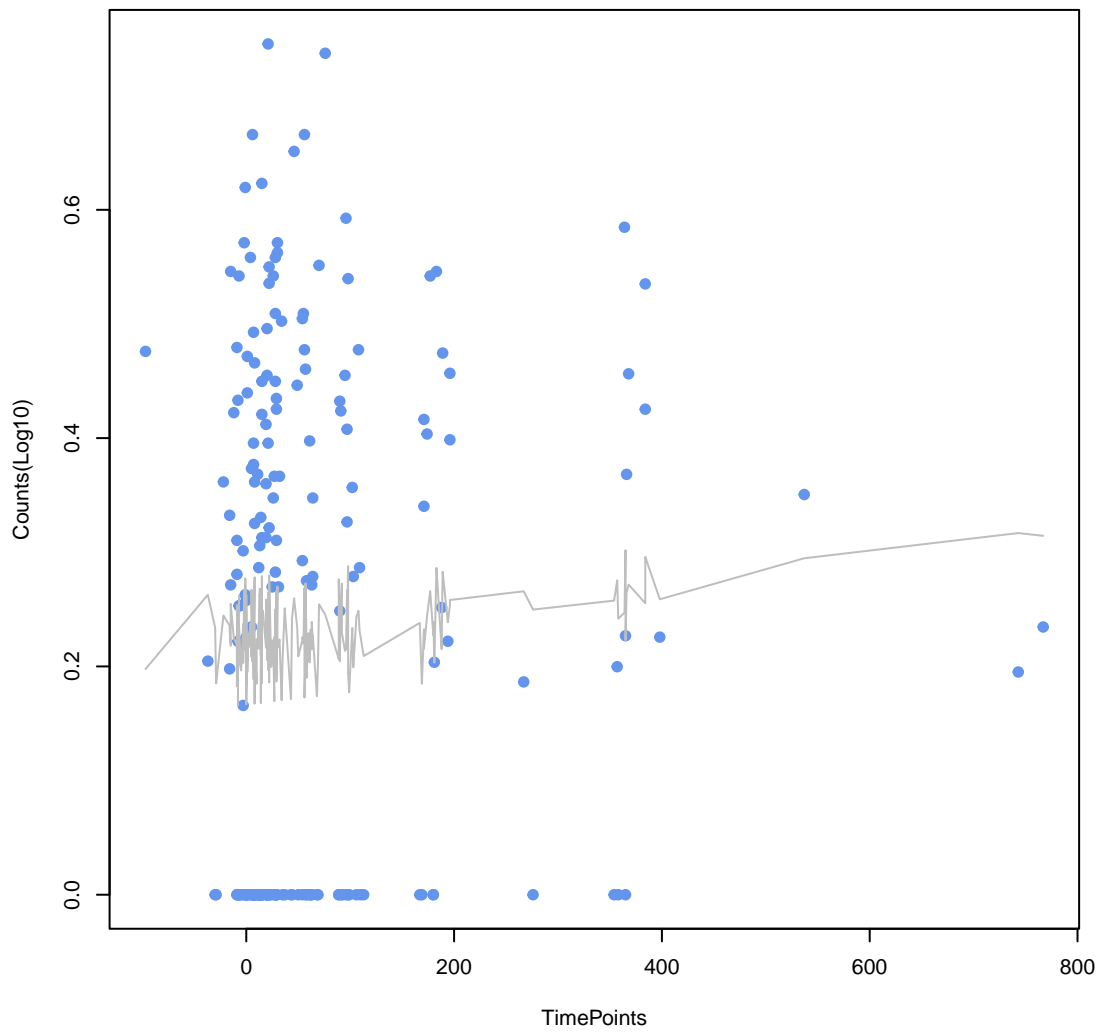
Escherichia coli acrA
ANOVA P=0.409, adj. ANOVA-P=0.717



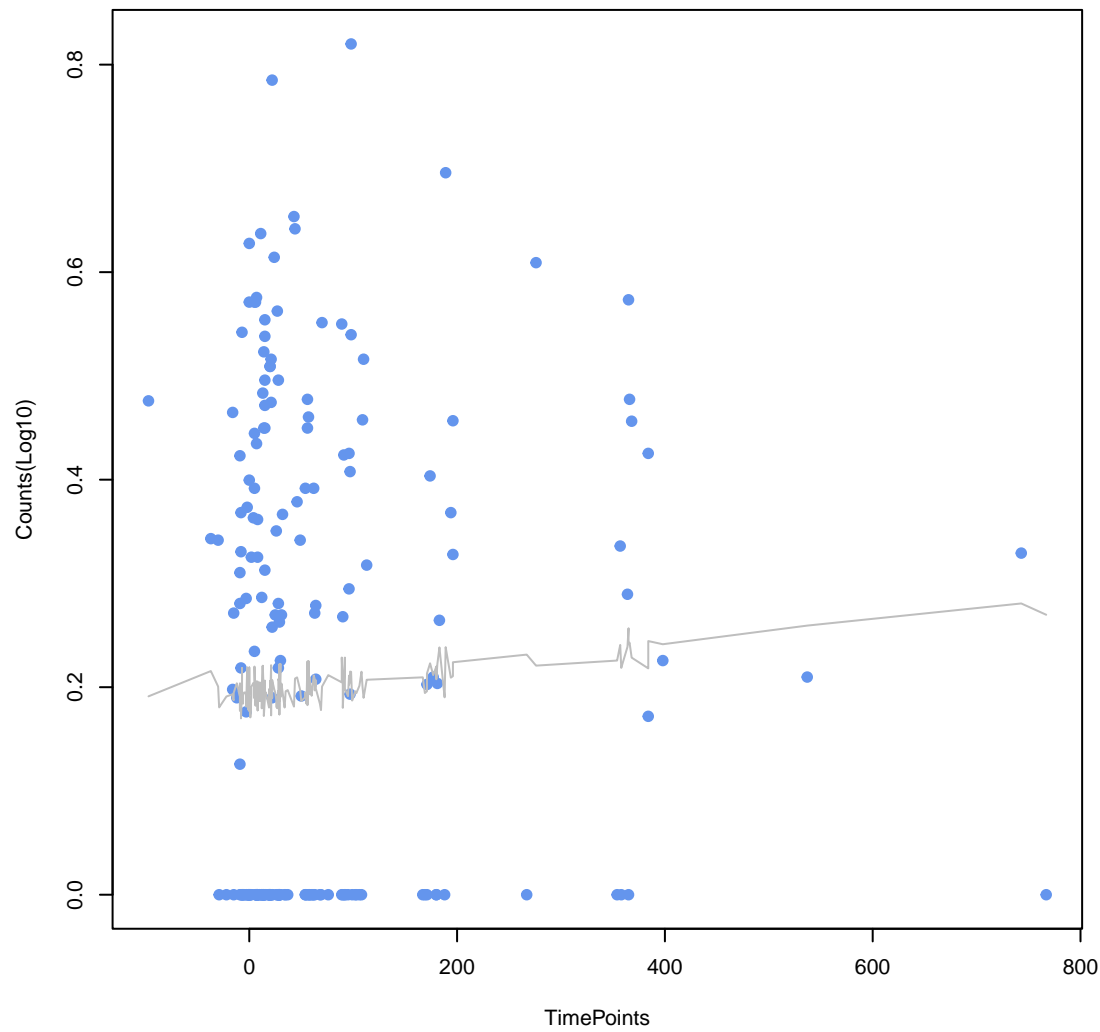
mdtE
ANOVA P=0.415, adj. ANOVA-P=0.717



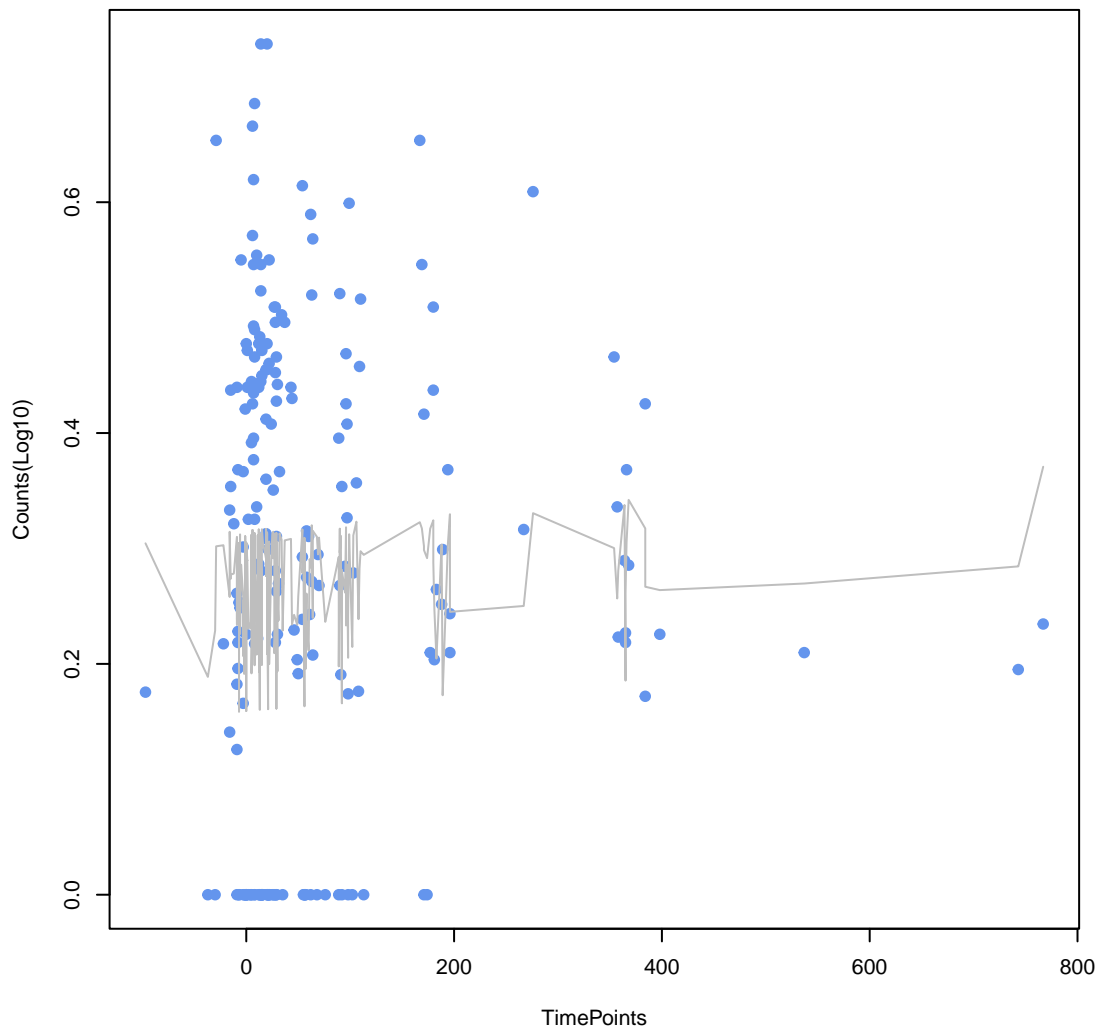
cpxA
ANOVA P=0.43, adj. ANOVA-P=0.73



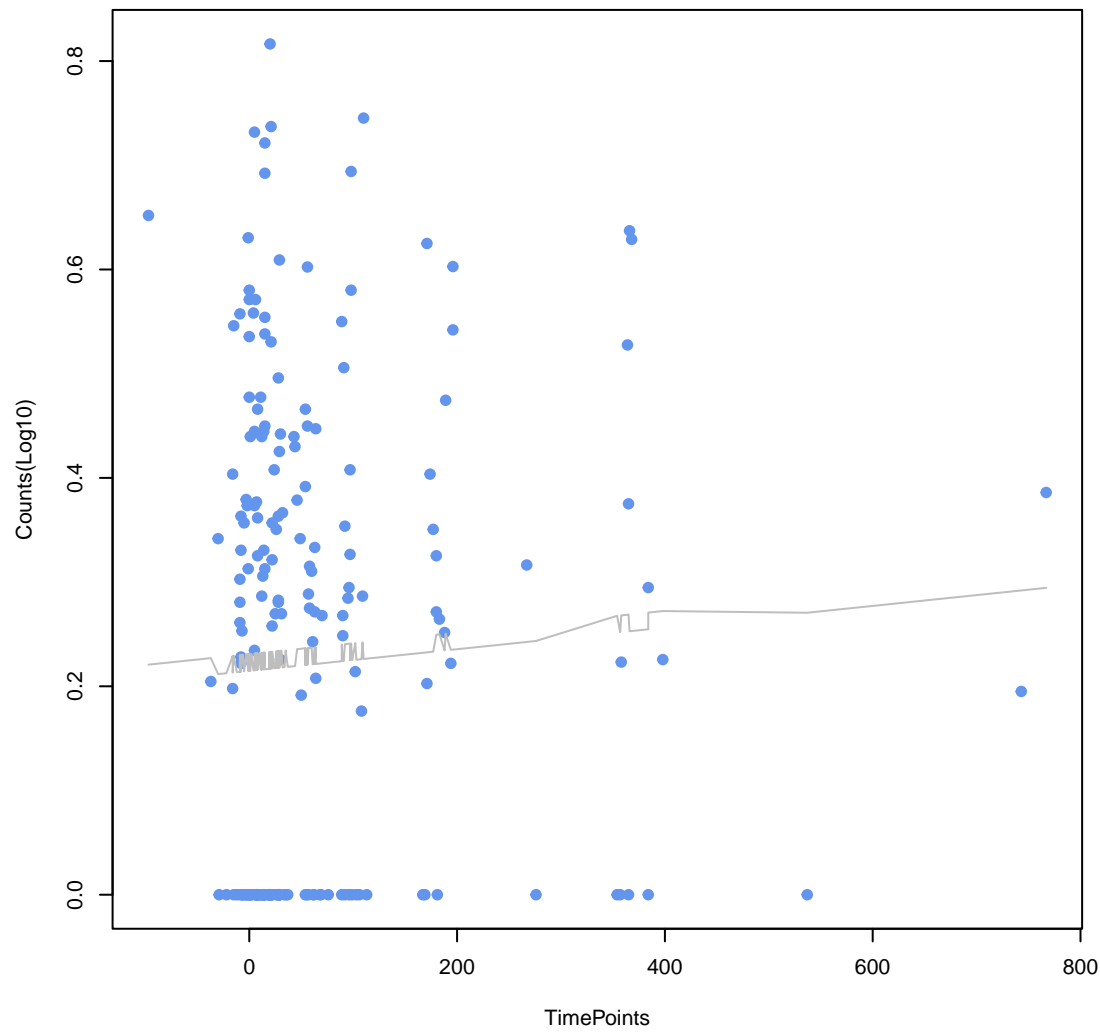
mdtO
ANOVA P=0.442, adj. ANOVA-P=0.739



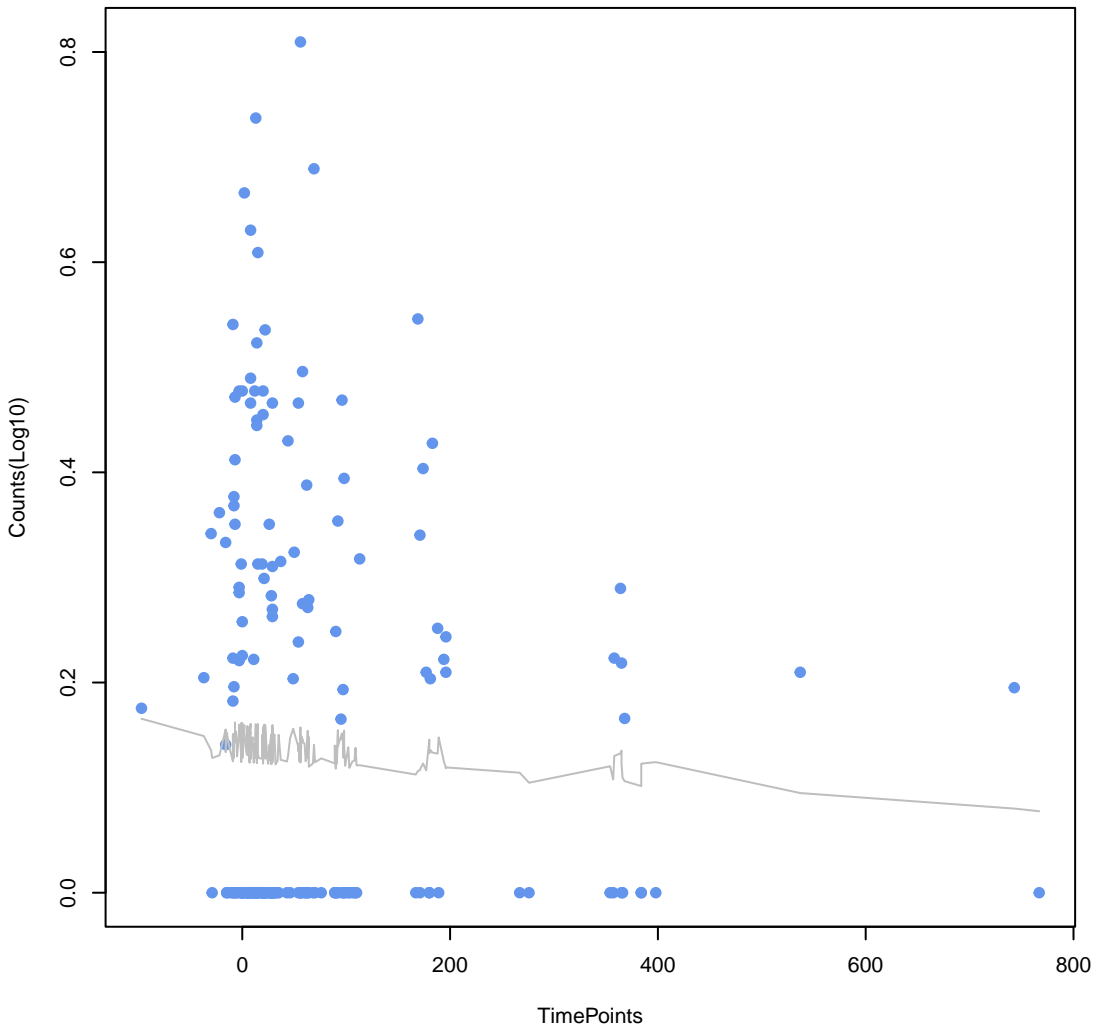
SAT-4
ANOVA P=0.457, adj. ANOVA-P=0.753



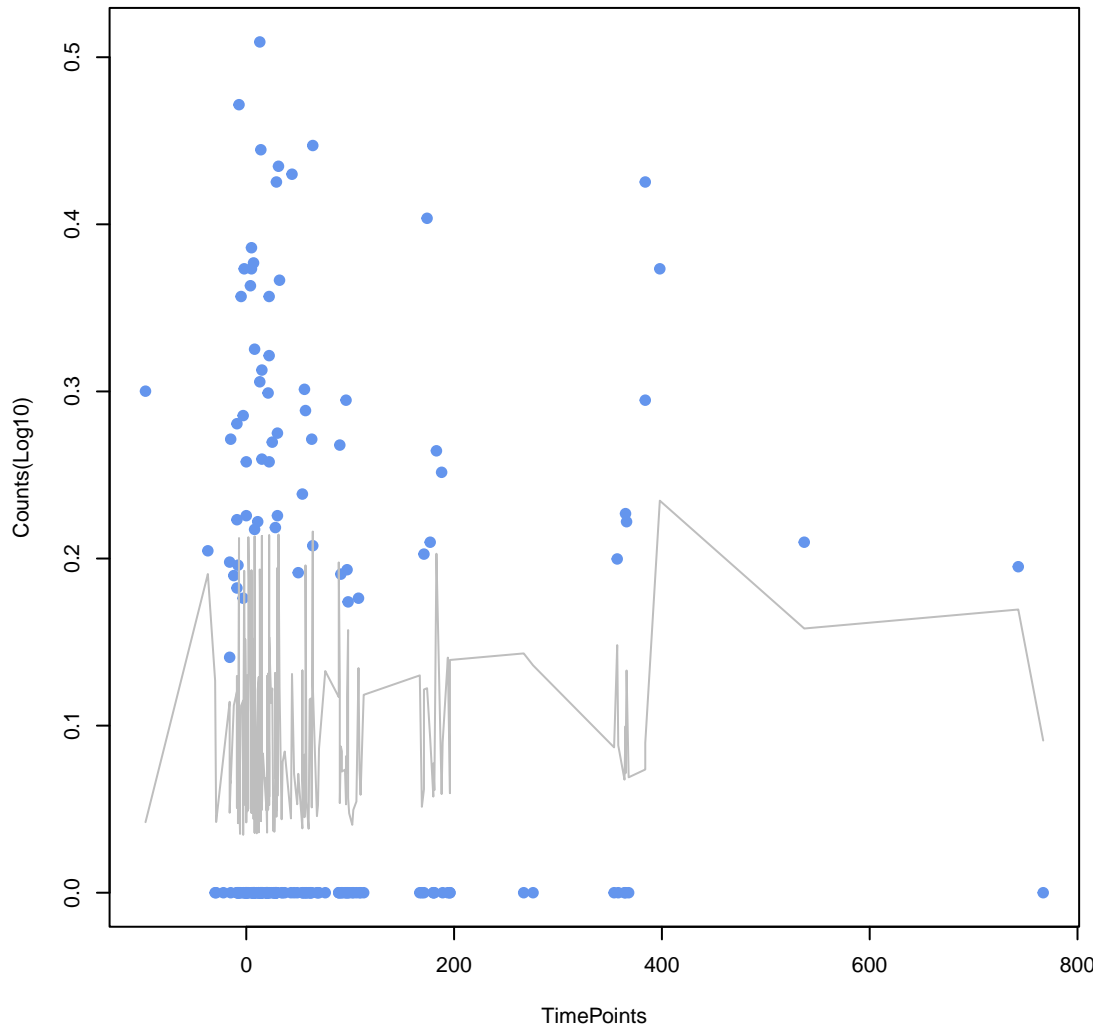
AcrF
ANOVA P=0.467, adj. ANOVA-P=0.757



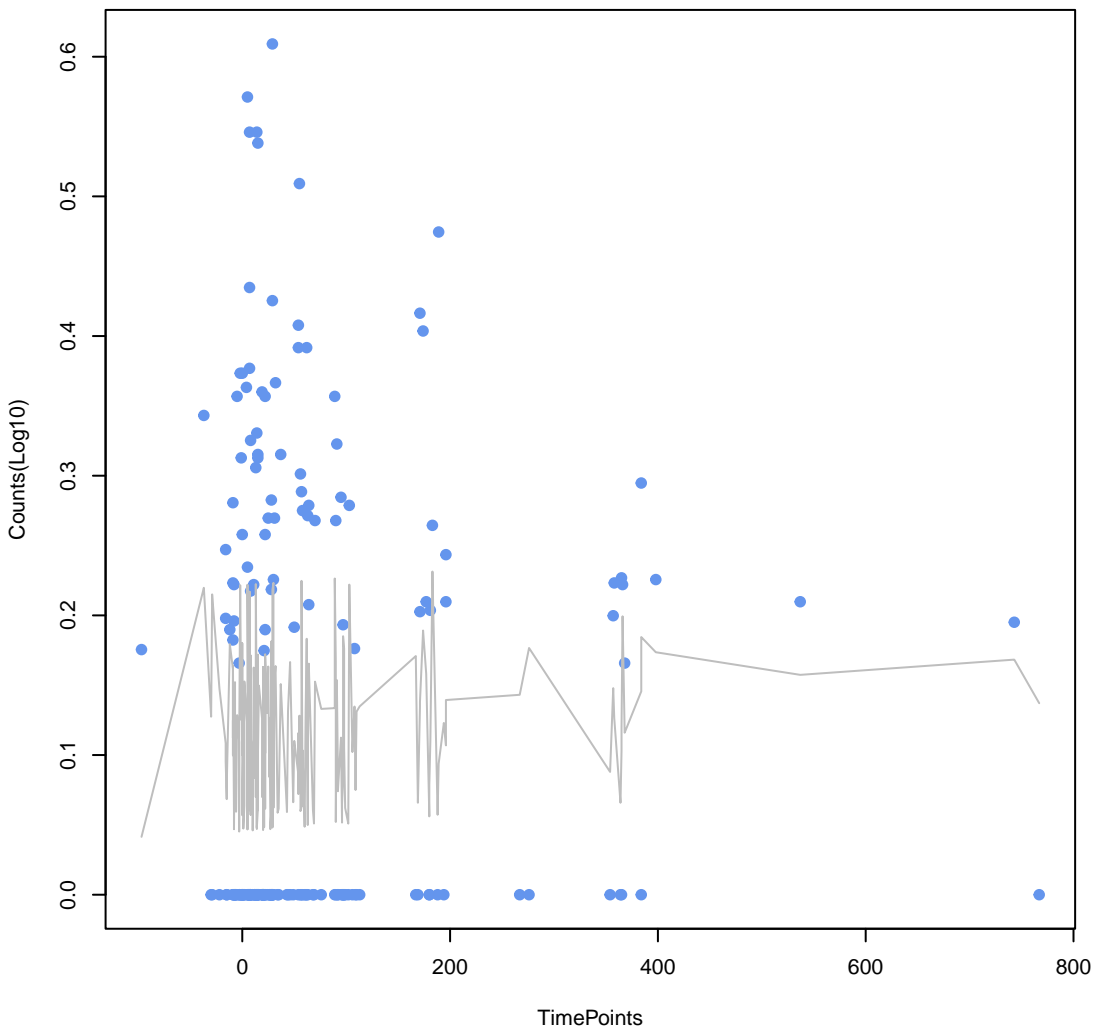
Bifidobacterium bifidum ileS conferring resistance to mupirocin
ANOVA P=0.477, adj. ANOVA-P=0.76



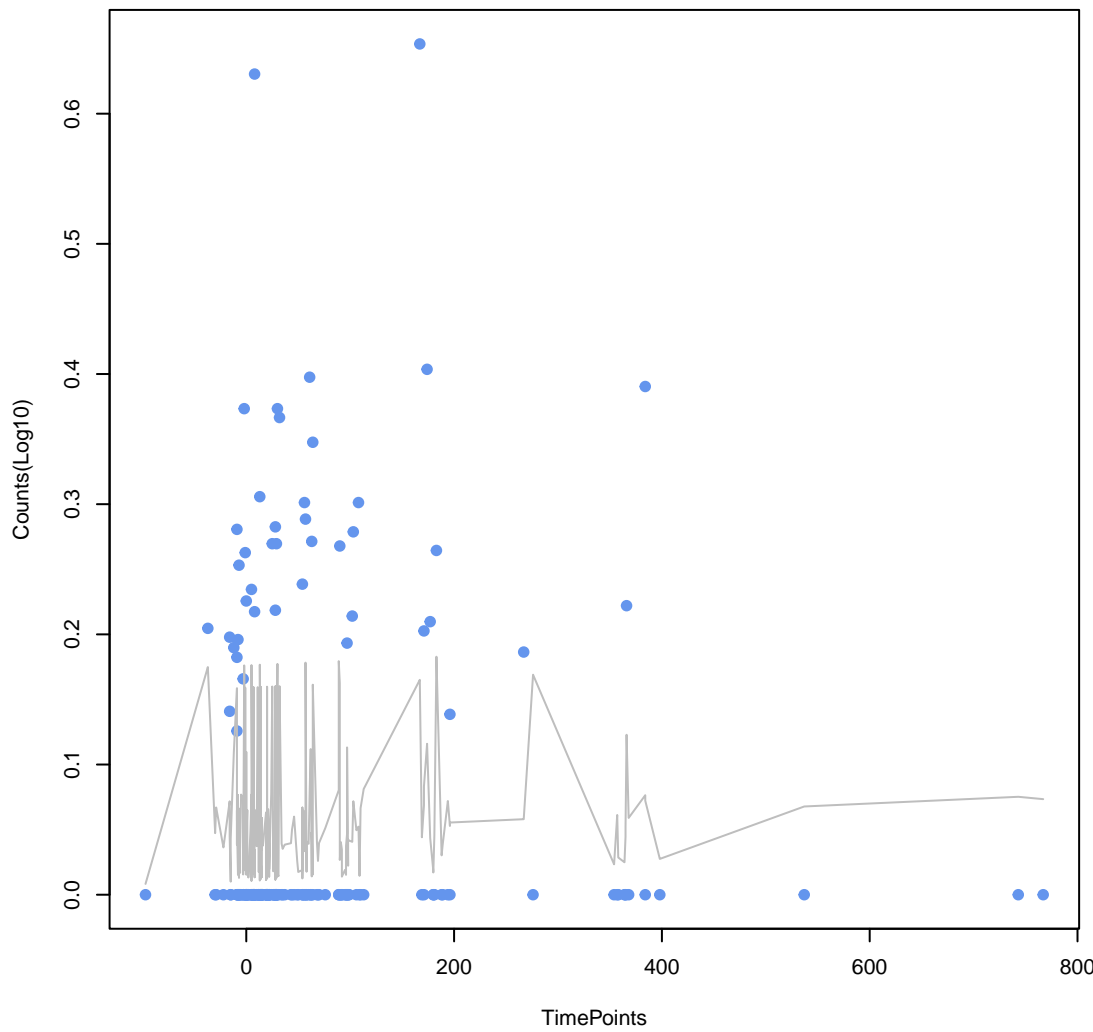
chia coli AcrAB-TolC with AcrR mutation conferring resistance to ciprofloxacin, tetracycline
ANOVA P=0.483, adj. ANOVA-P=0.76



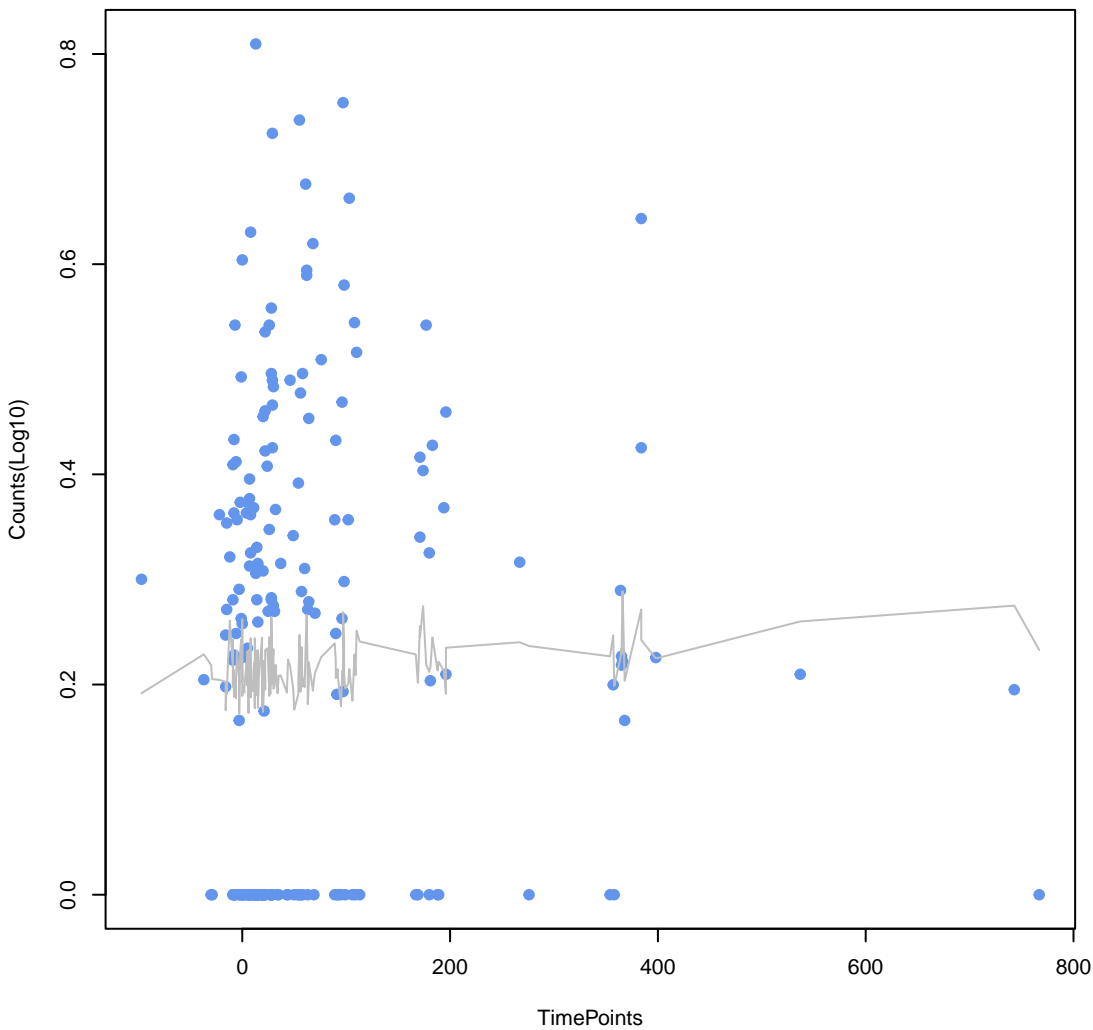
Escherichia coli soxR with mutation conferring antibiotic resistance
ANOVA P=0.517, adj. ANOVA-P=0.802



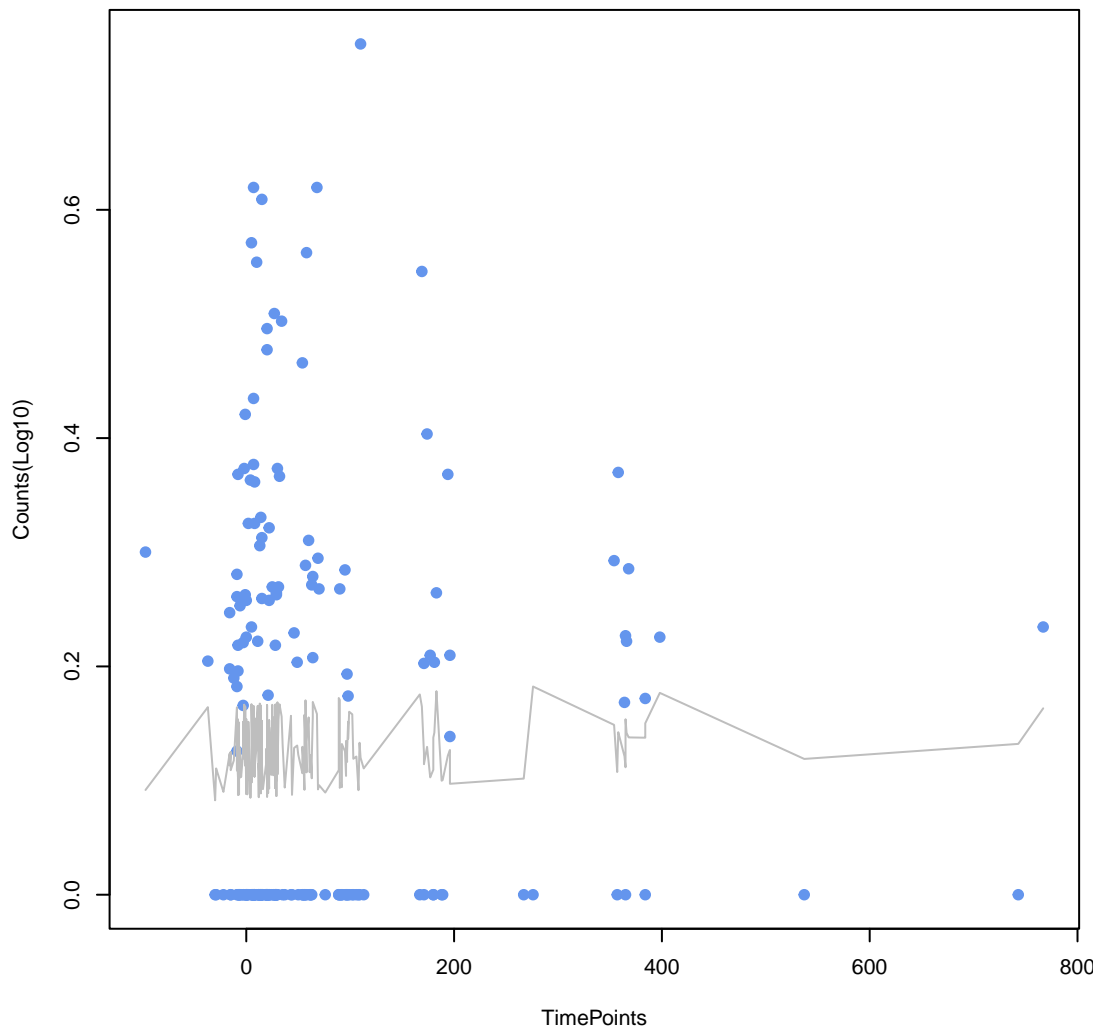
Escherichia coli GlpT with mutation conferring resistance to fosfomycin
ANOVA P=0.535, adj. ANOVA-P=0.807



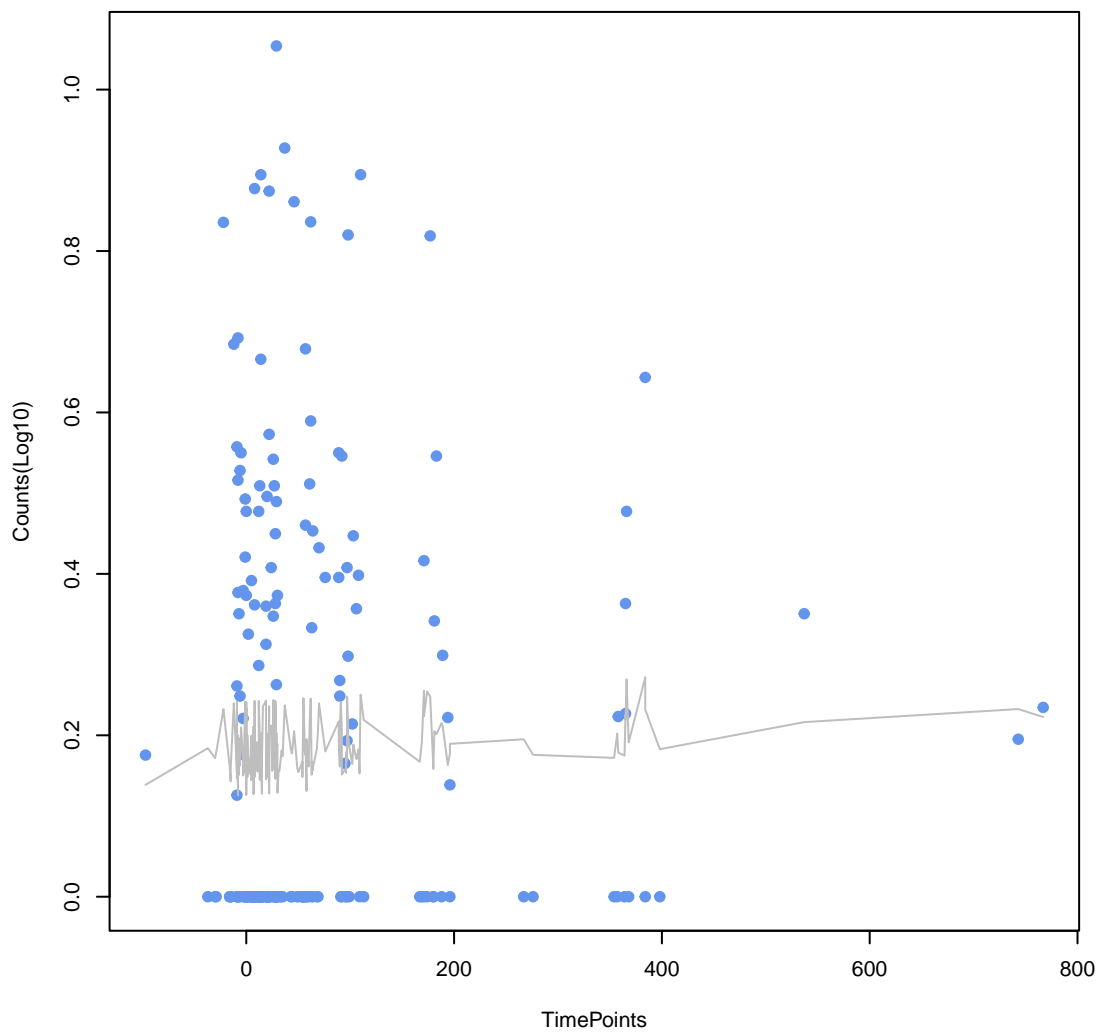
CRP
ANOVA P=0.536, adj. ANOVA-P=0.807



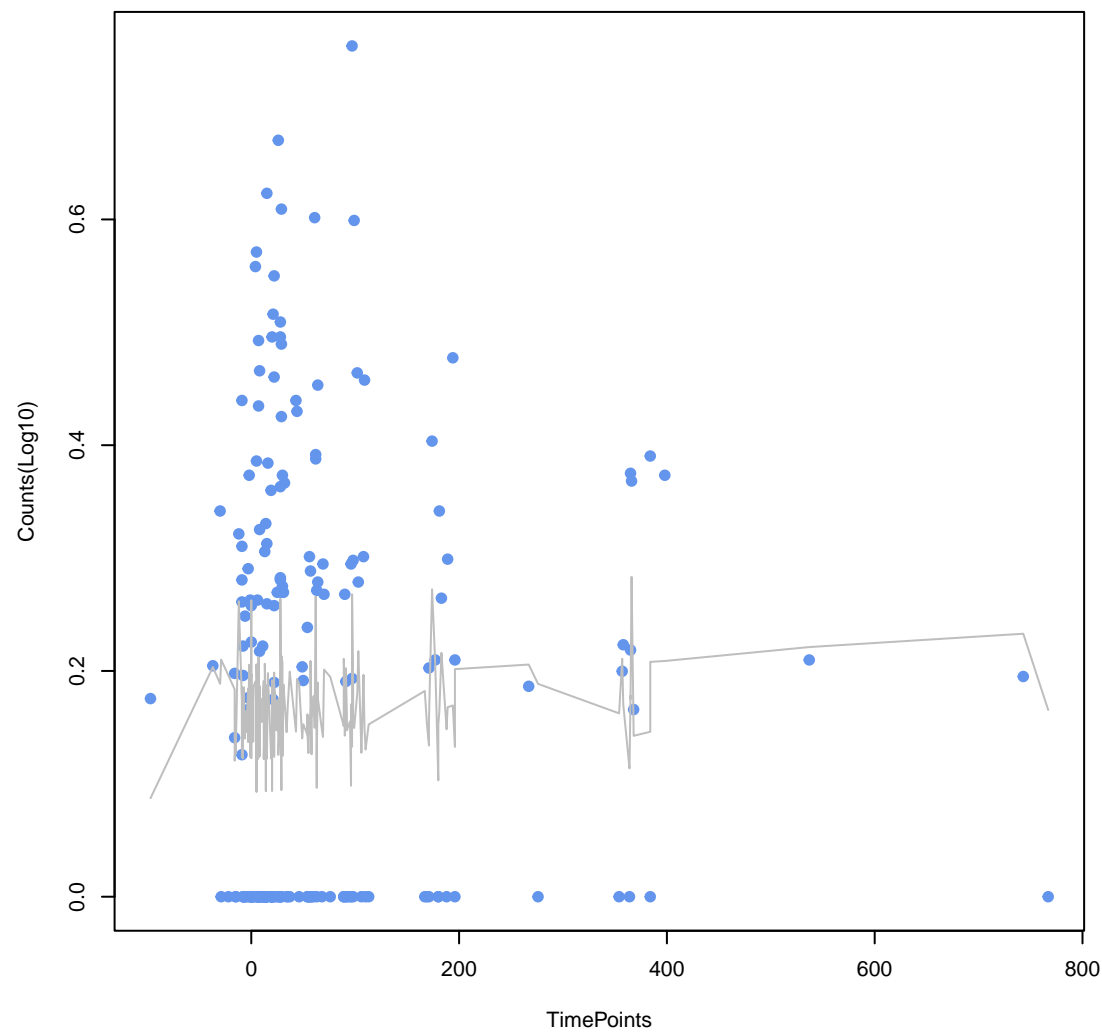
AcrE
ANOVA P=0.549, adj. ANOVA-P=0.816



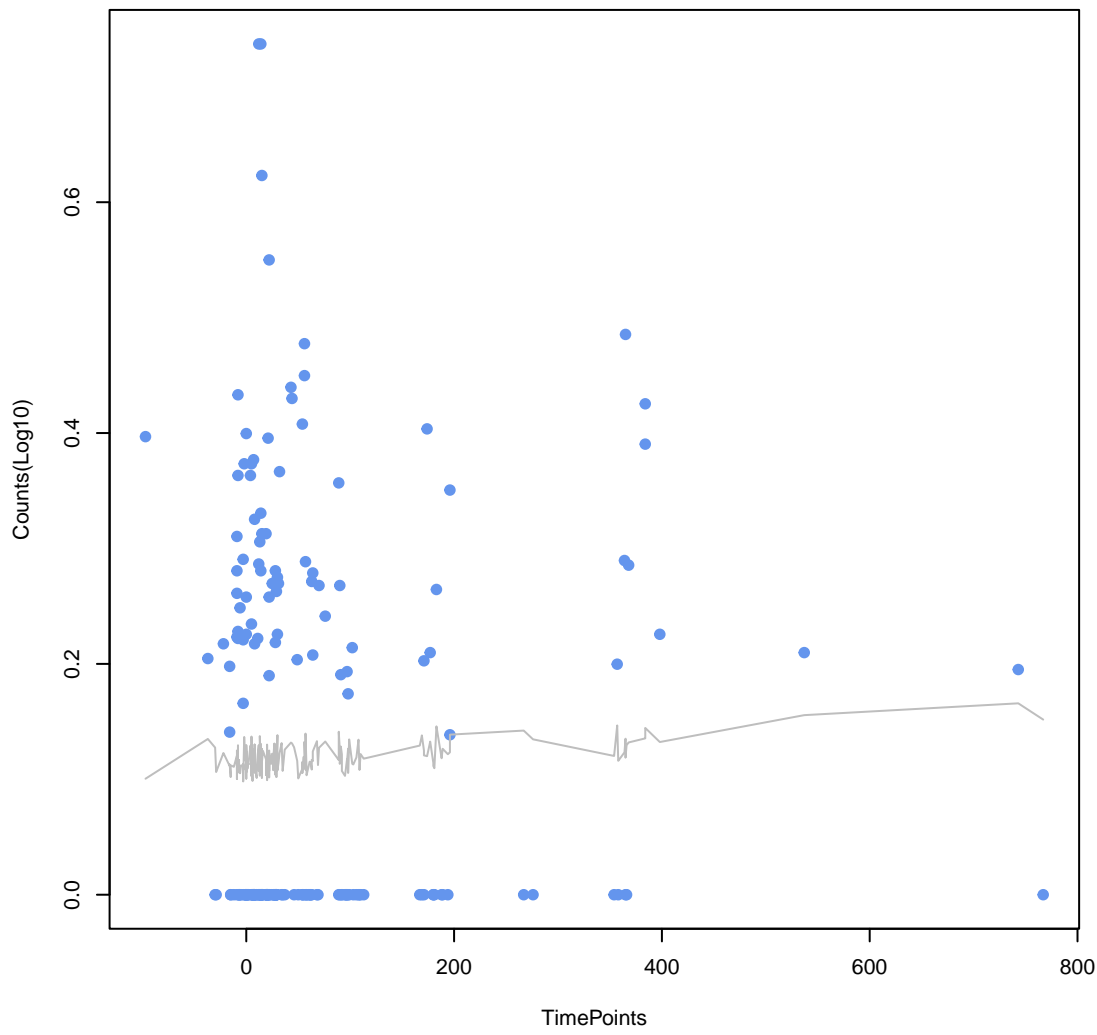
oqxB
ANOVA P=0.565, adj. ANOVA-P=0.828



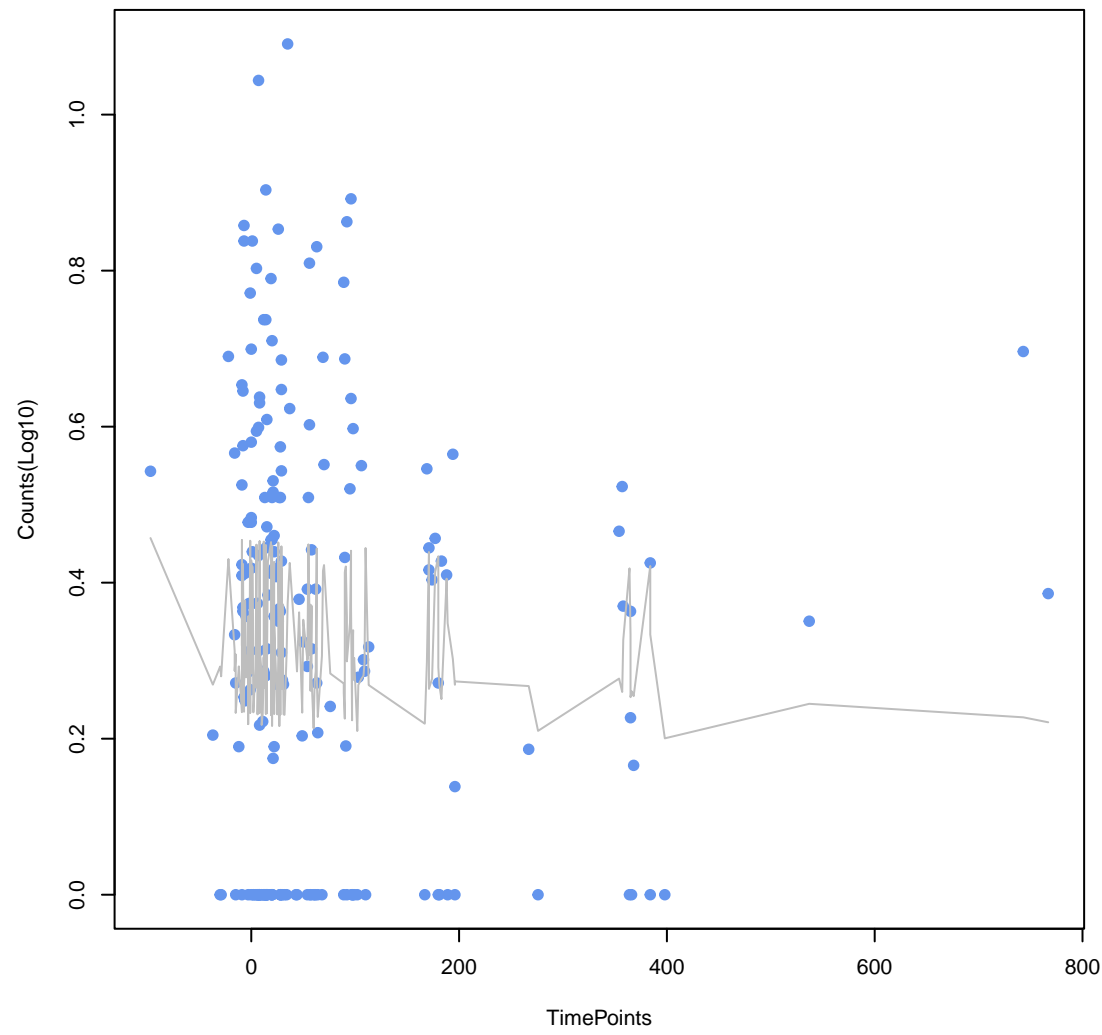
Escherichia coli mdfA
ANOVA P=0.58, adj. ANOVA-P=0.839



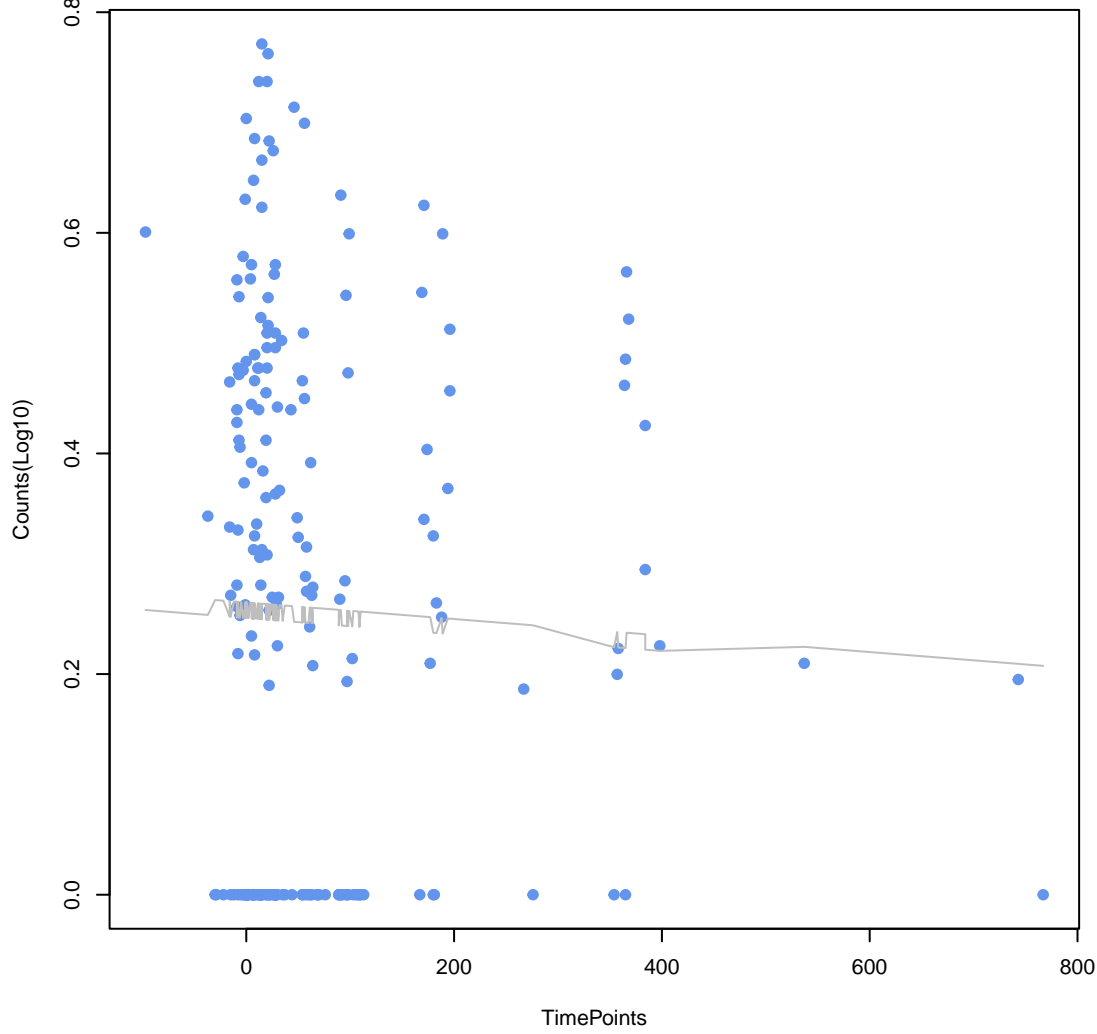
mdtA
ANOVA P=0.591, adj. ANOVA-P=0.844



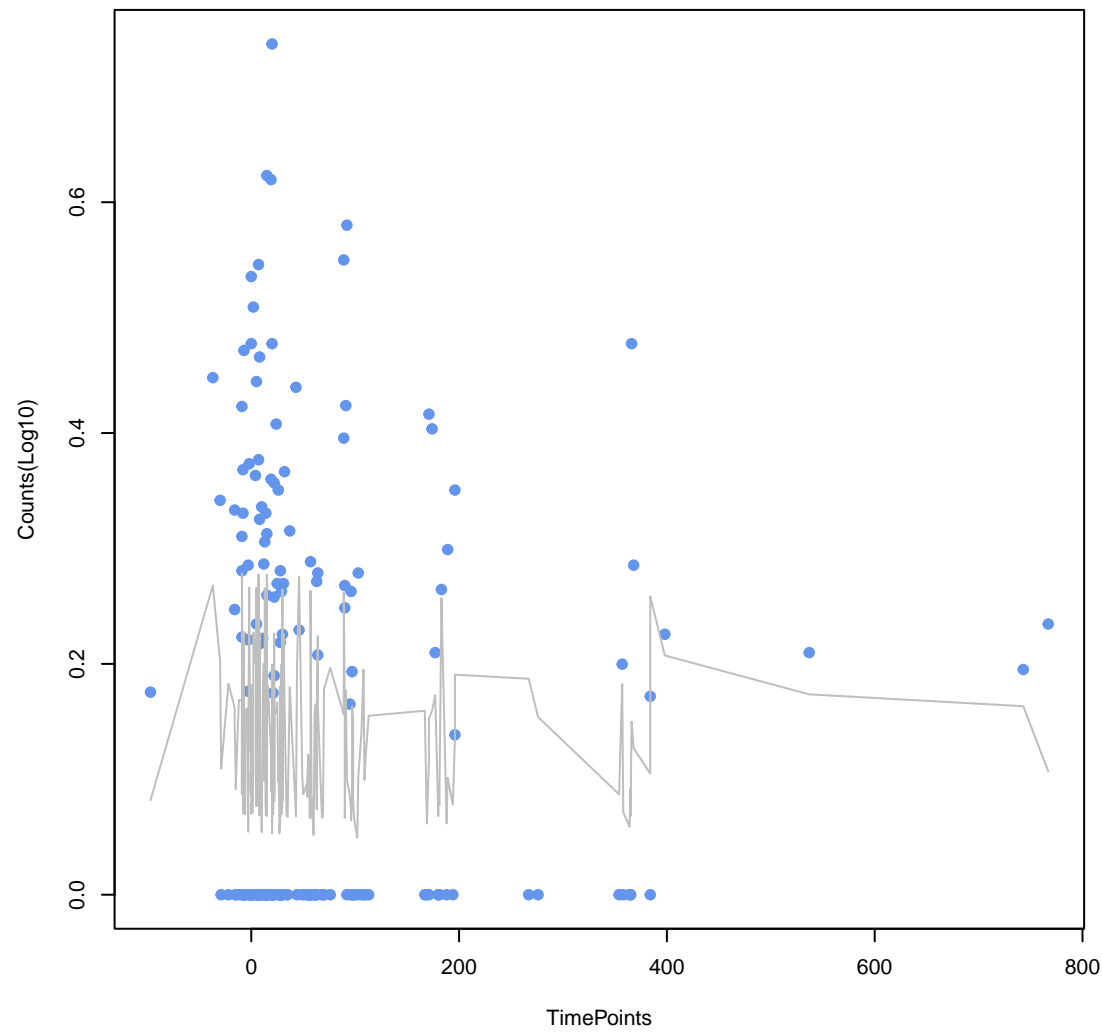
Bifidobacterium adolescentis rpoB mutants conferring resistance to rifampicin
ANOVA P=0.613, adj. ANOVA-P=0.863



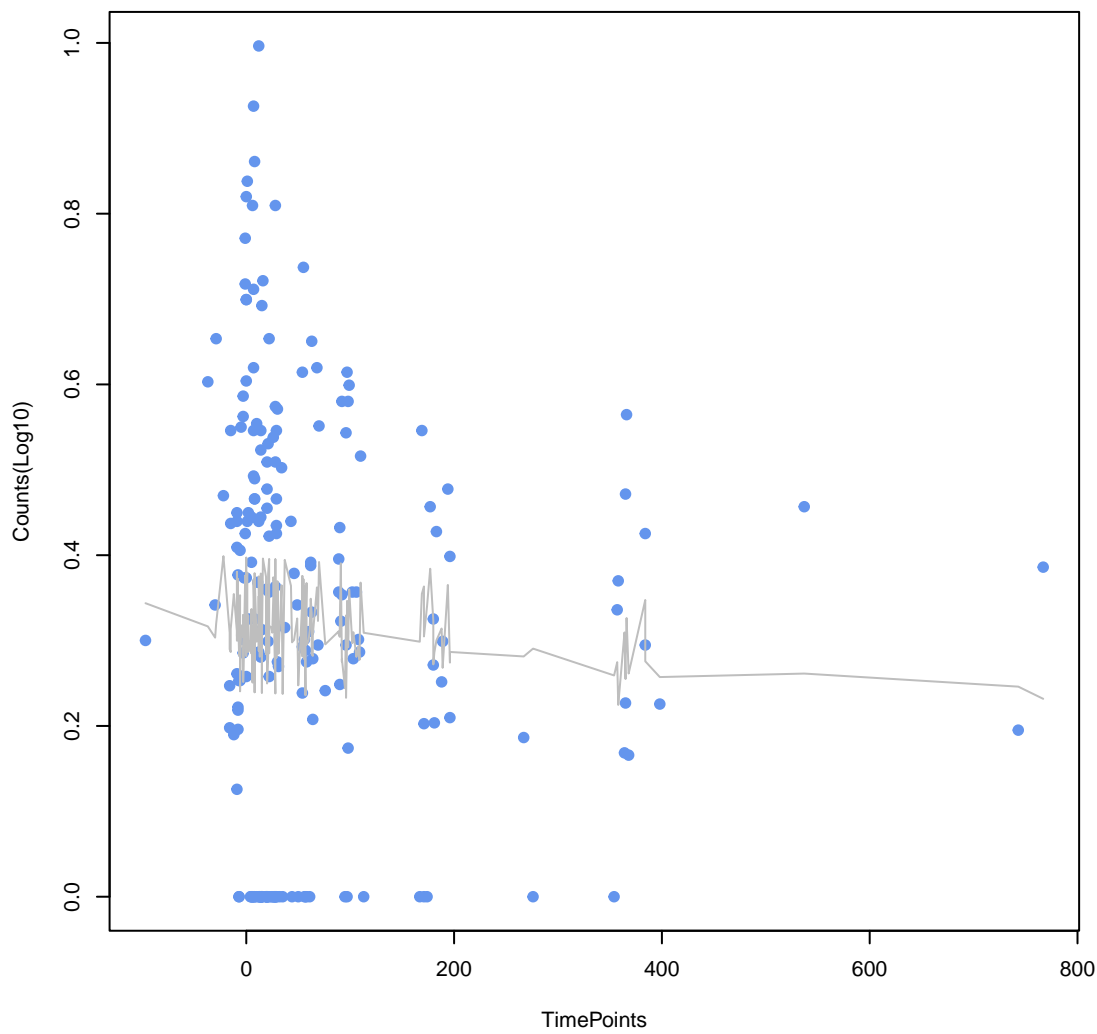
evgS
ANOVA P=0.625, adj. ANOVA-P=0.864



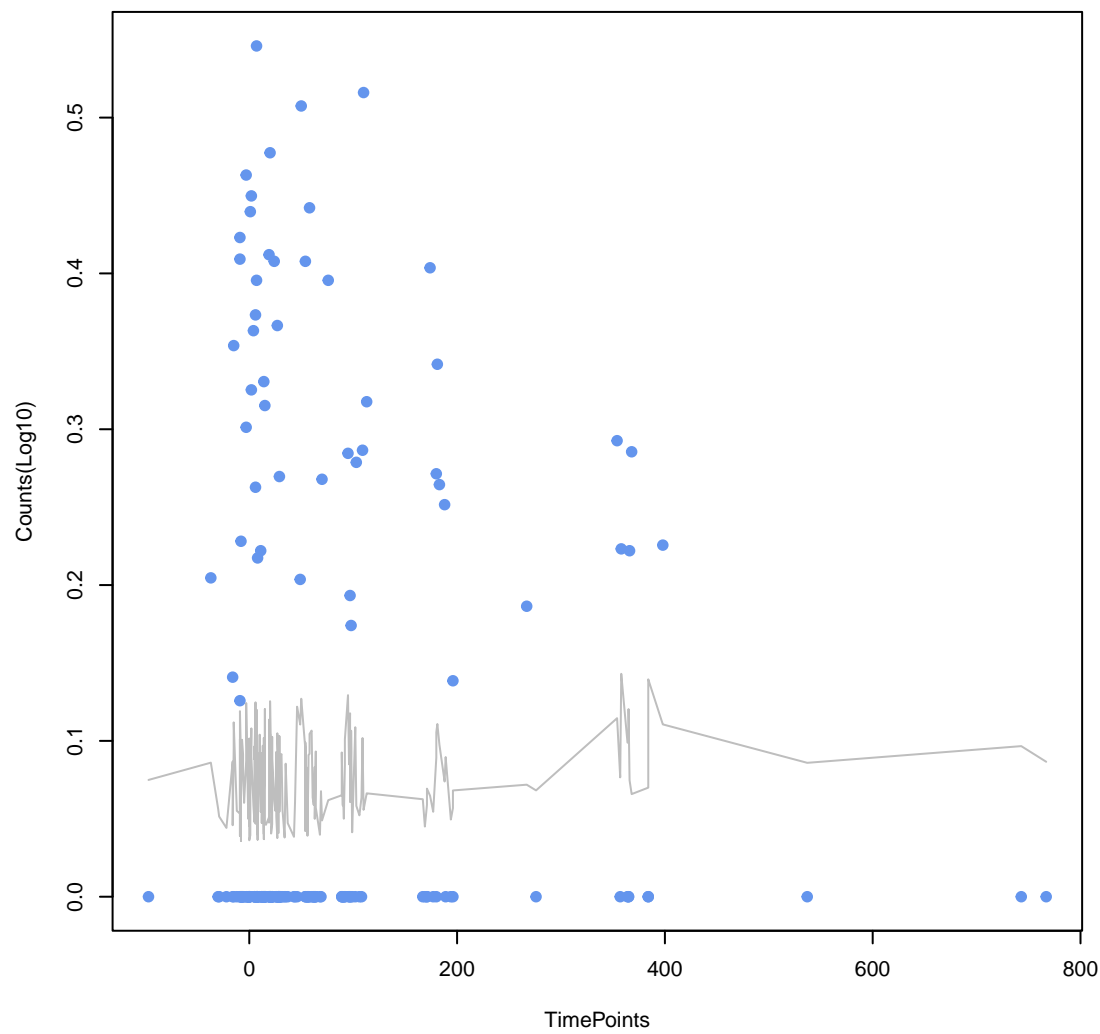
emrY
ANOVA P=0.63, adj. ANOVA-P=0.864



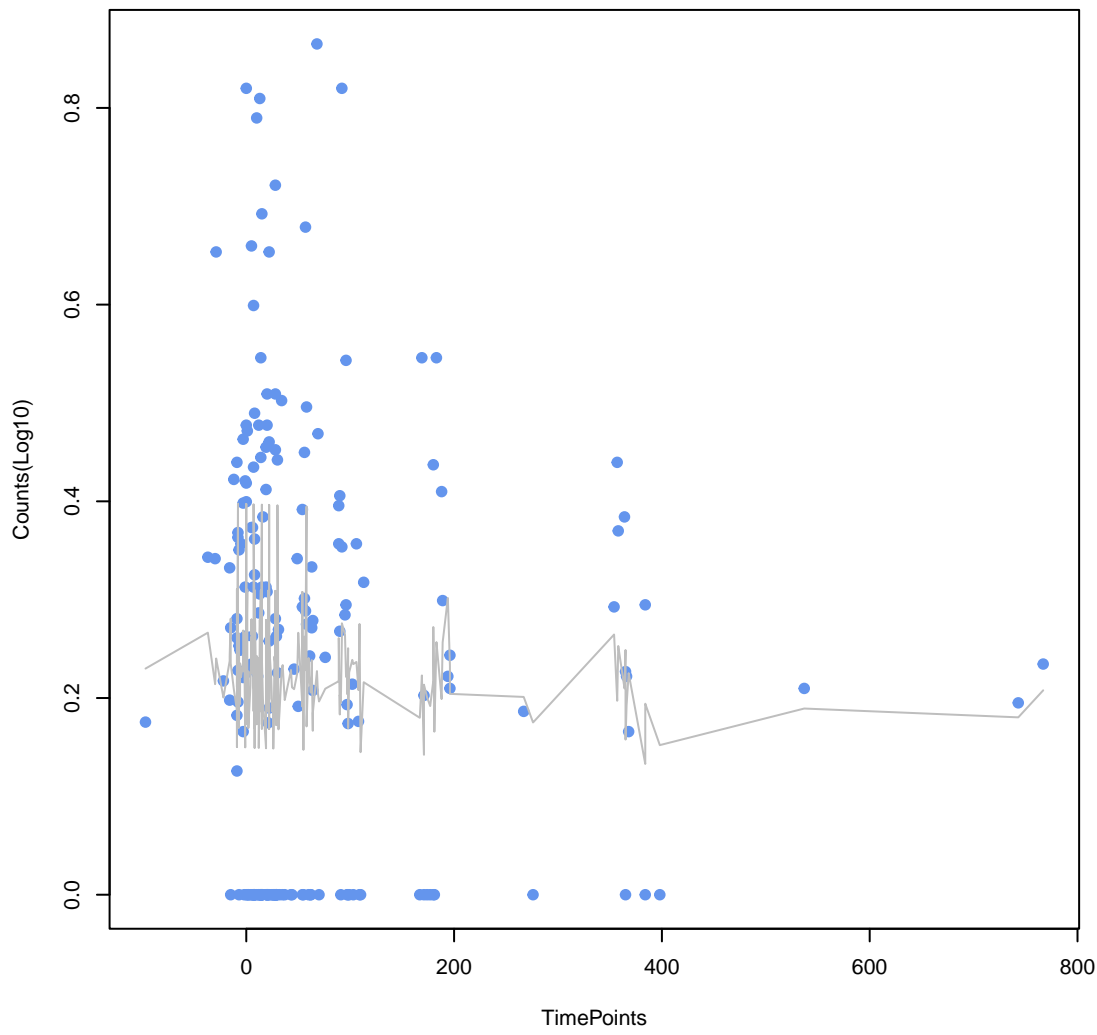
tetB(46)
ANOVA P=0.649, adj. ANOVA-P=0.879



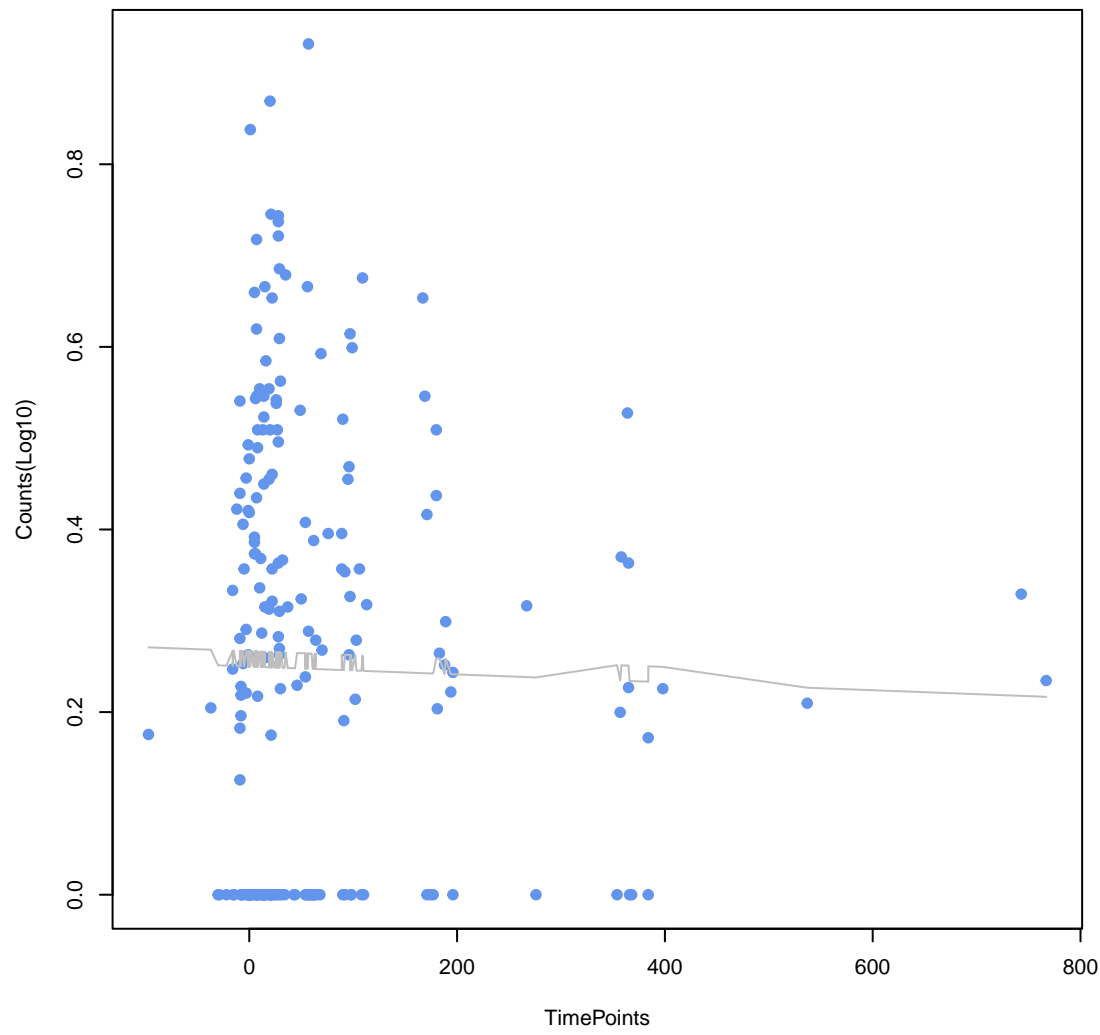
mtrD
ANOVA P=0.681, adj. ANOVA-P=0.911



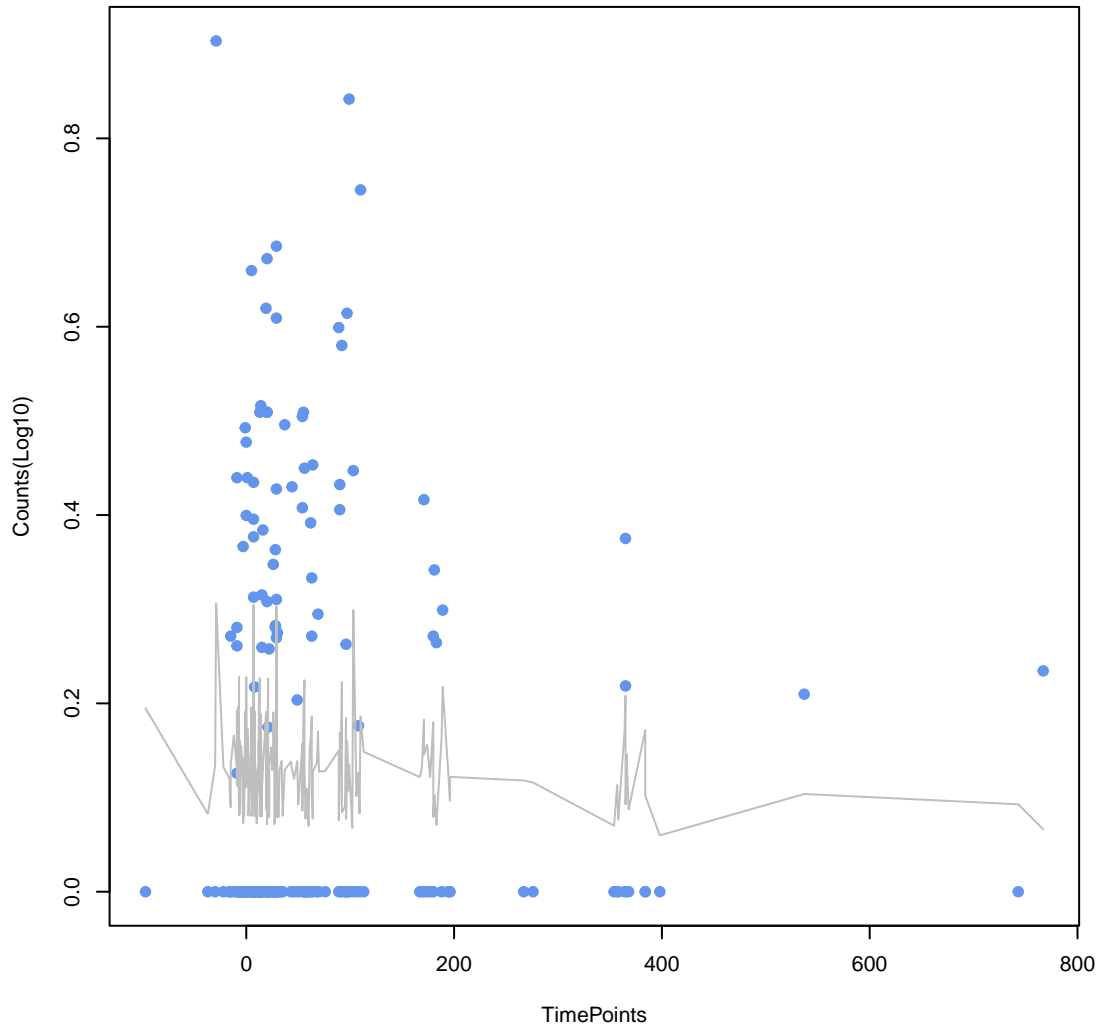
InuC
ANOVA P=0.693, adj. ANOVA-P=0.915



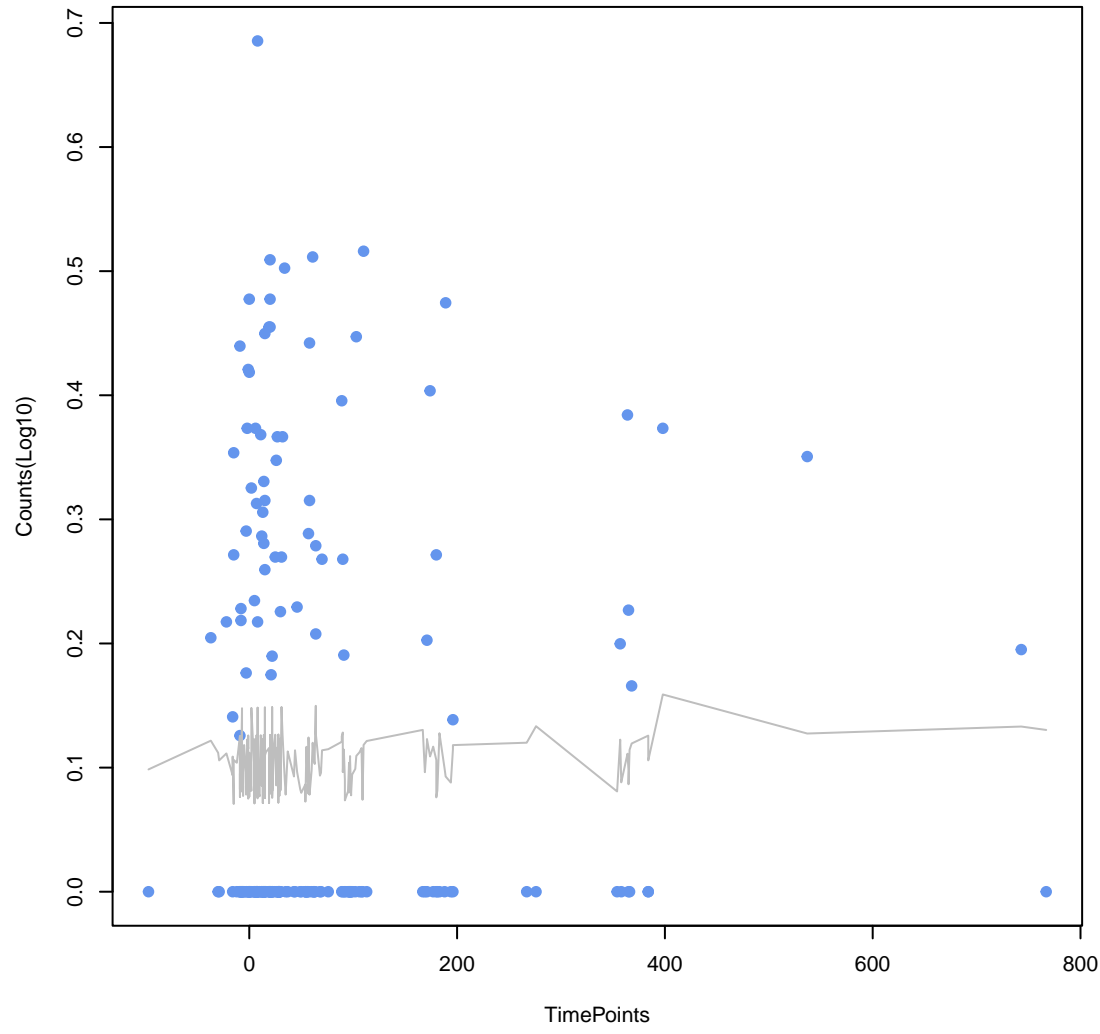
fexA
ANOVA P=0.715, adj. ANOVA-P=0.933



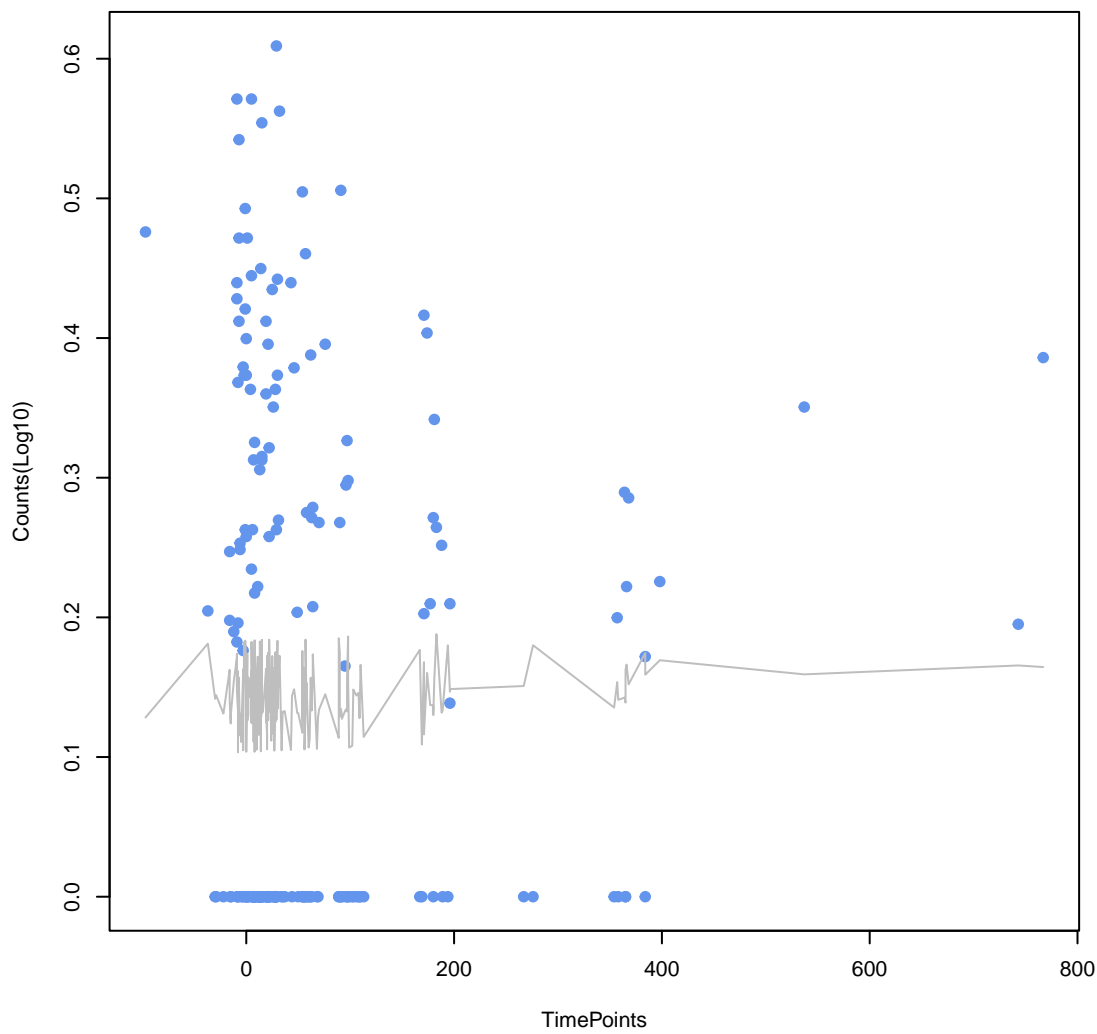
tetB(60)
ANOVA P=0.724, adj. ANOVA-P=0.933



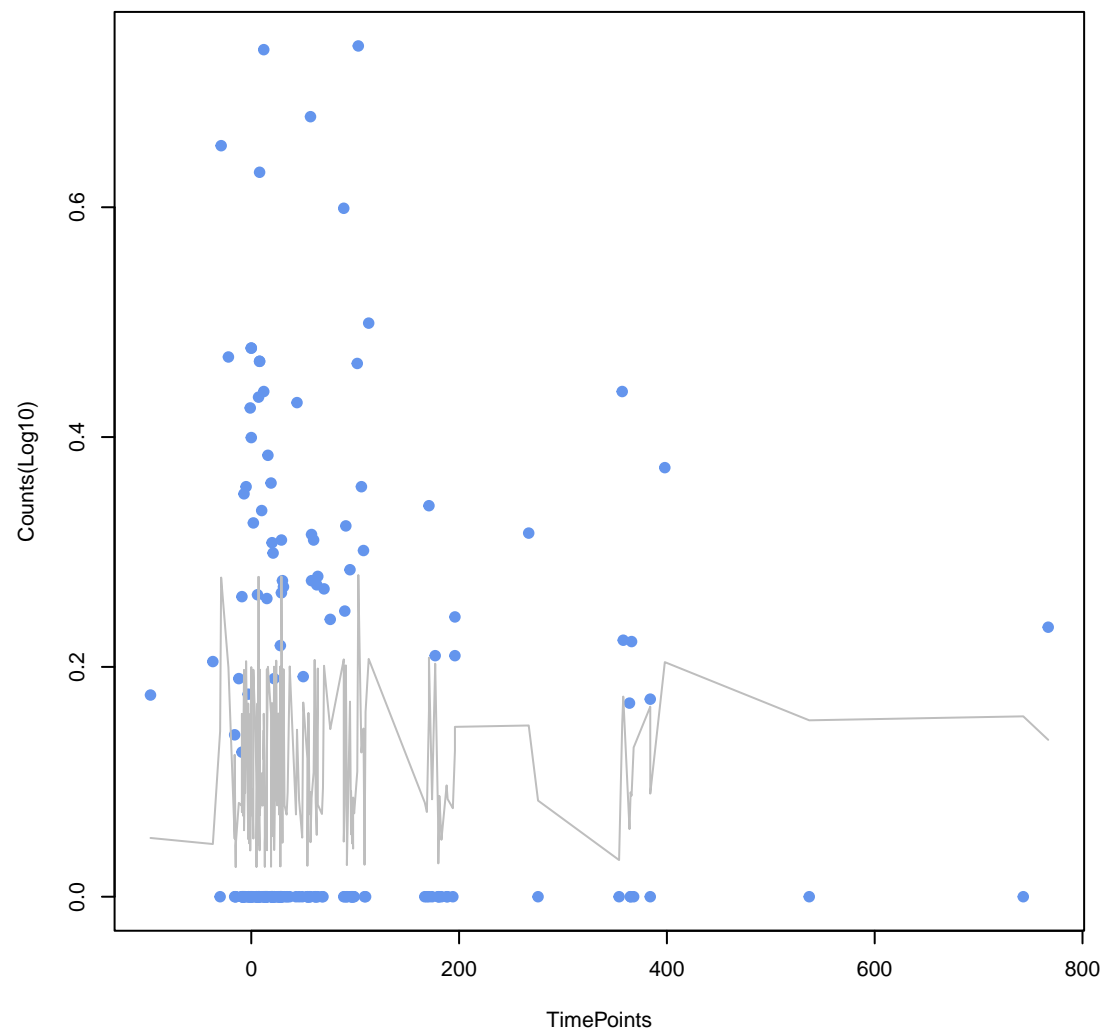
APH(3'')-lb
ANOVA P=0.736, adj. ANOVA-P=0.938



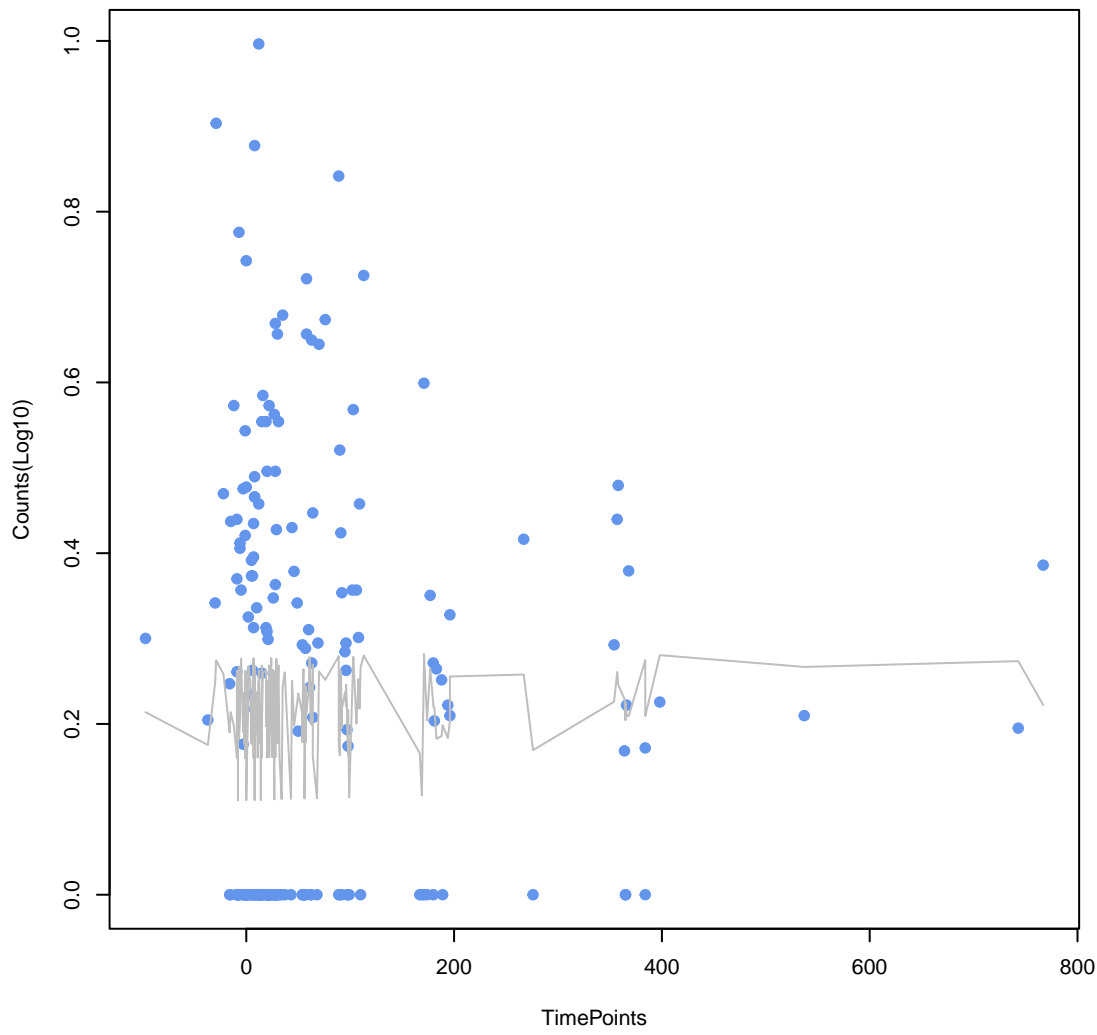
YojI
ANOVA P=0.762, adj. ANOVA-P=0.959



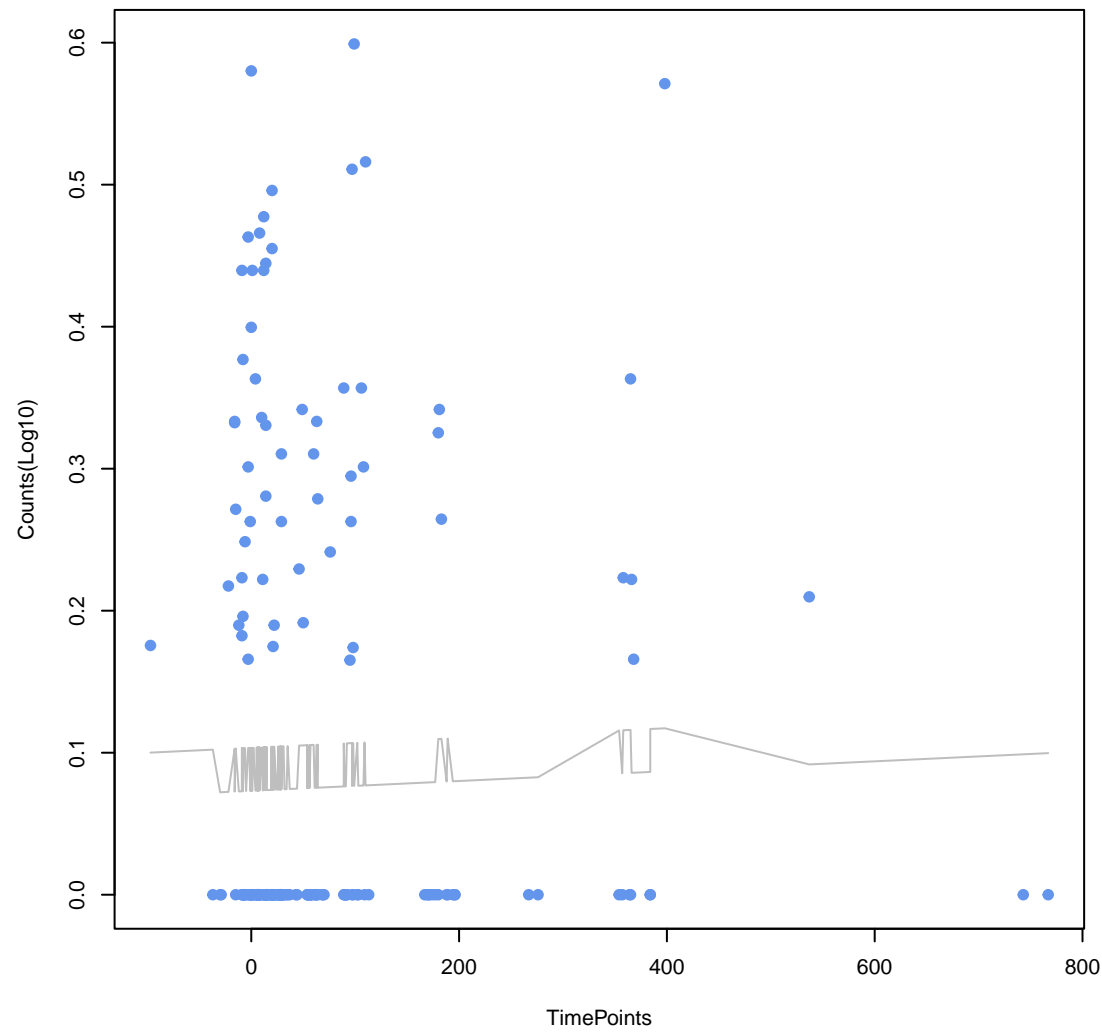
vanX gene in vanD cluster
ANOVA P=0.787, adj. ANOVA-P=0.98



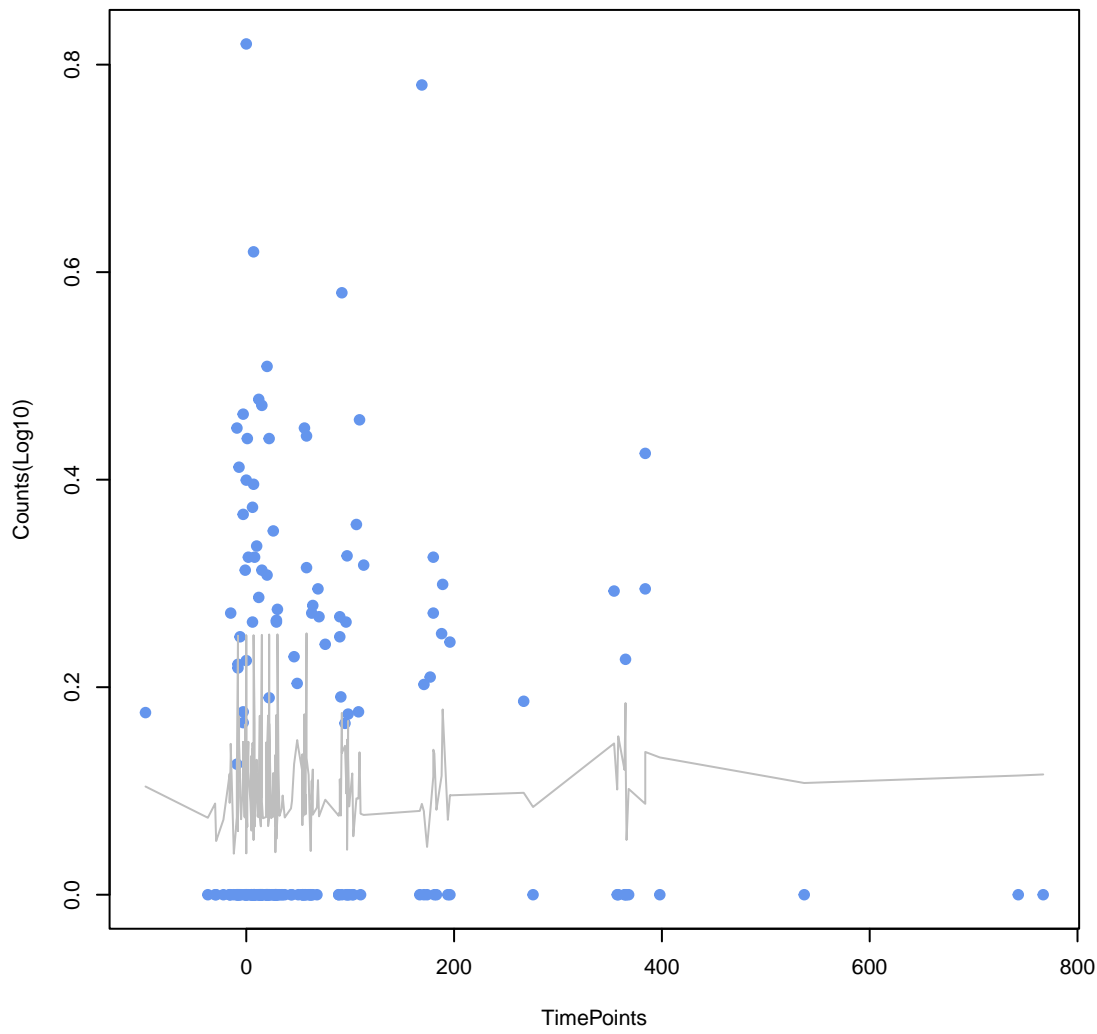
vanR gene in vanD cluster
ANOVA P=0.816, adj. ANOVA-P=0.996



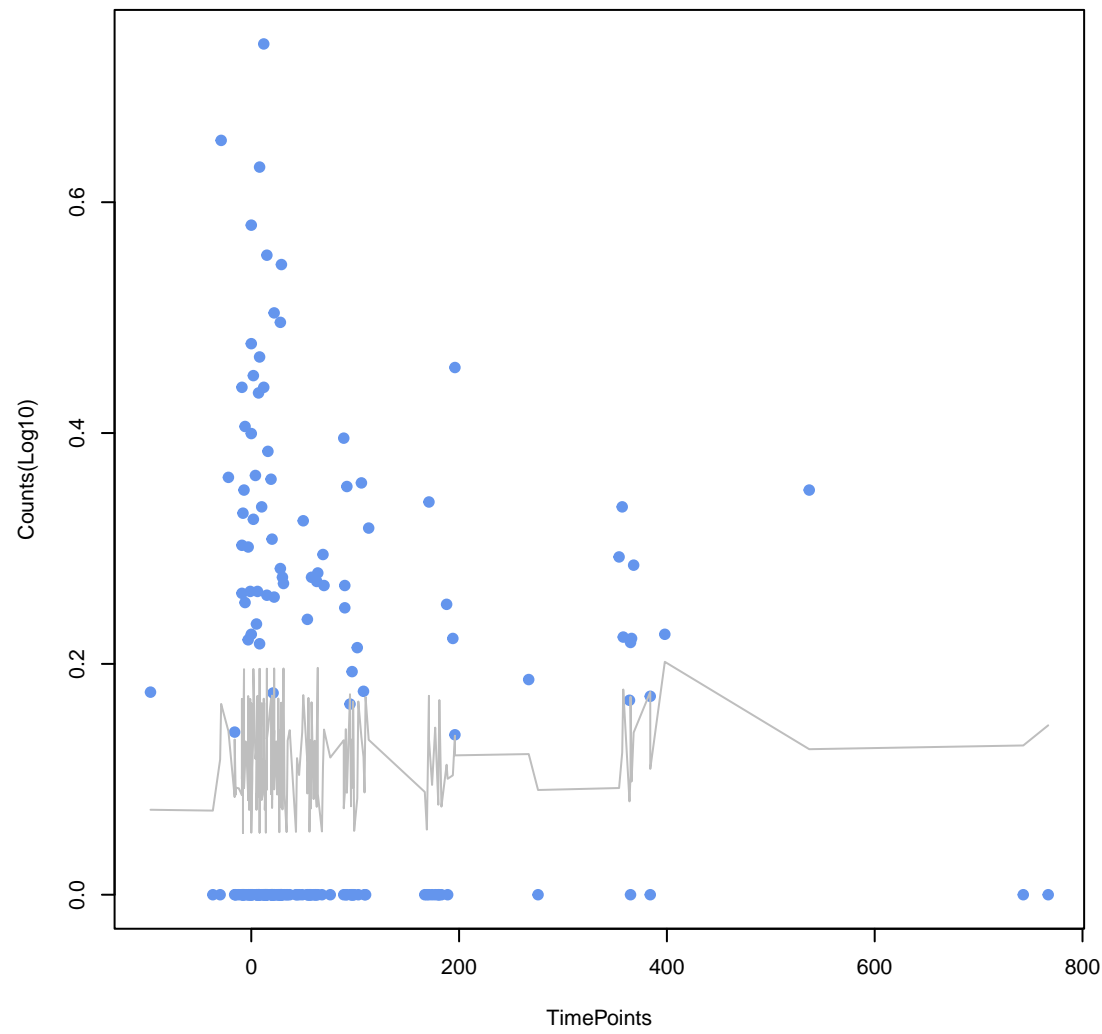
TaeA
ANOVA P=0.827, adj. ANOVA-P=0.996



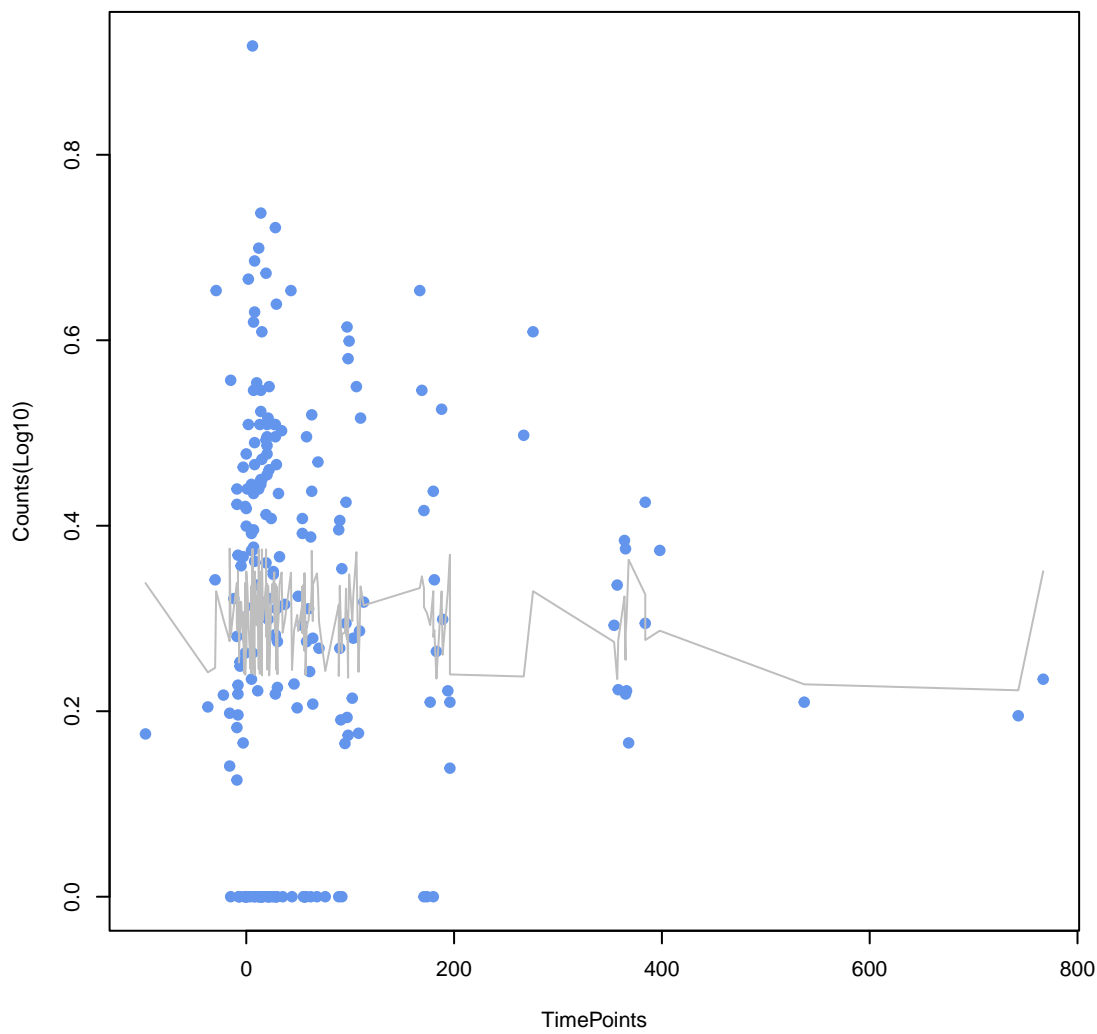
farB
ANOVA P=0.853, adj. ANOVA-P=0.996



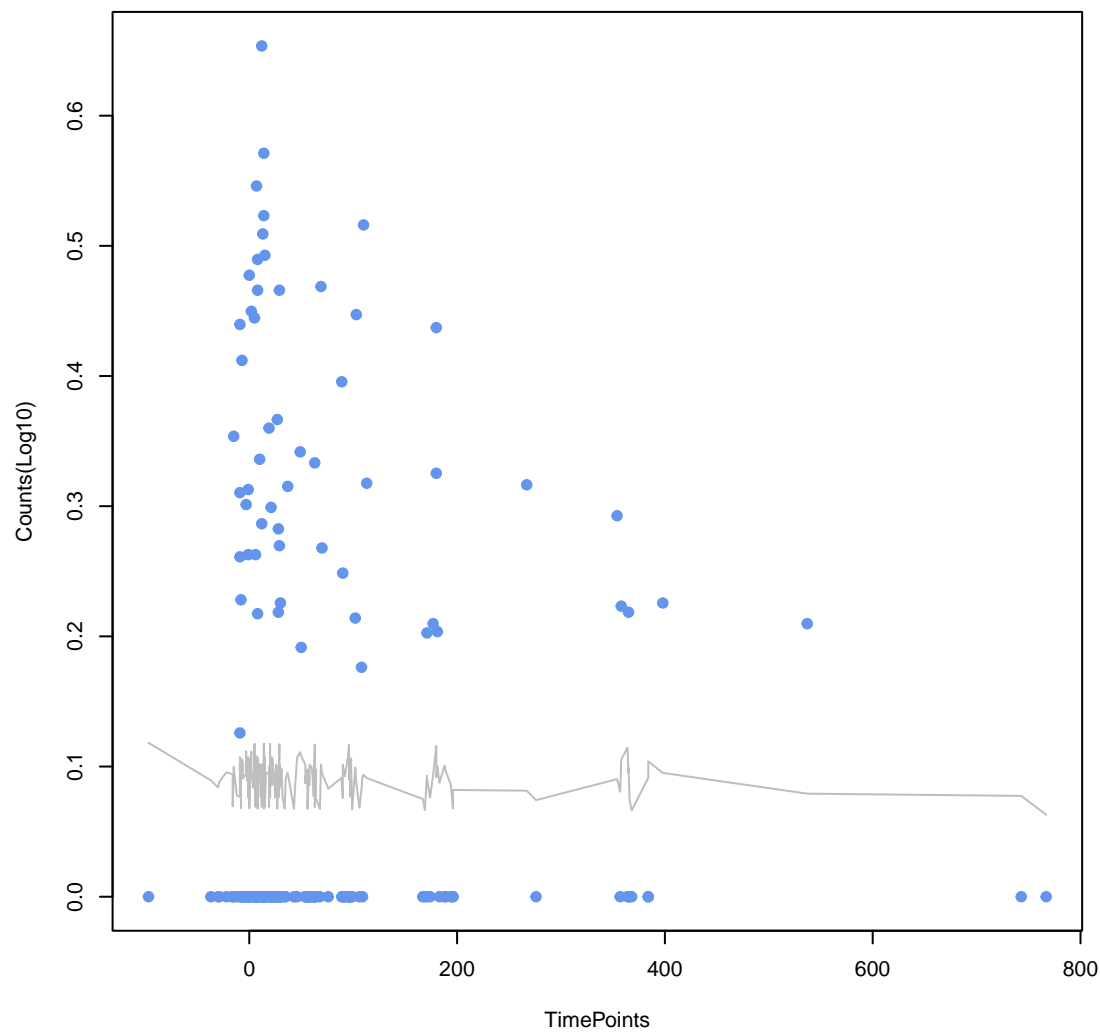
vanS gene in vanD cluster
ANOVA P=0.86, adj. ANOVA-P=0.996



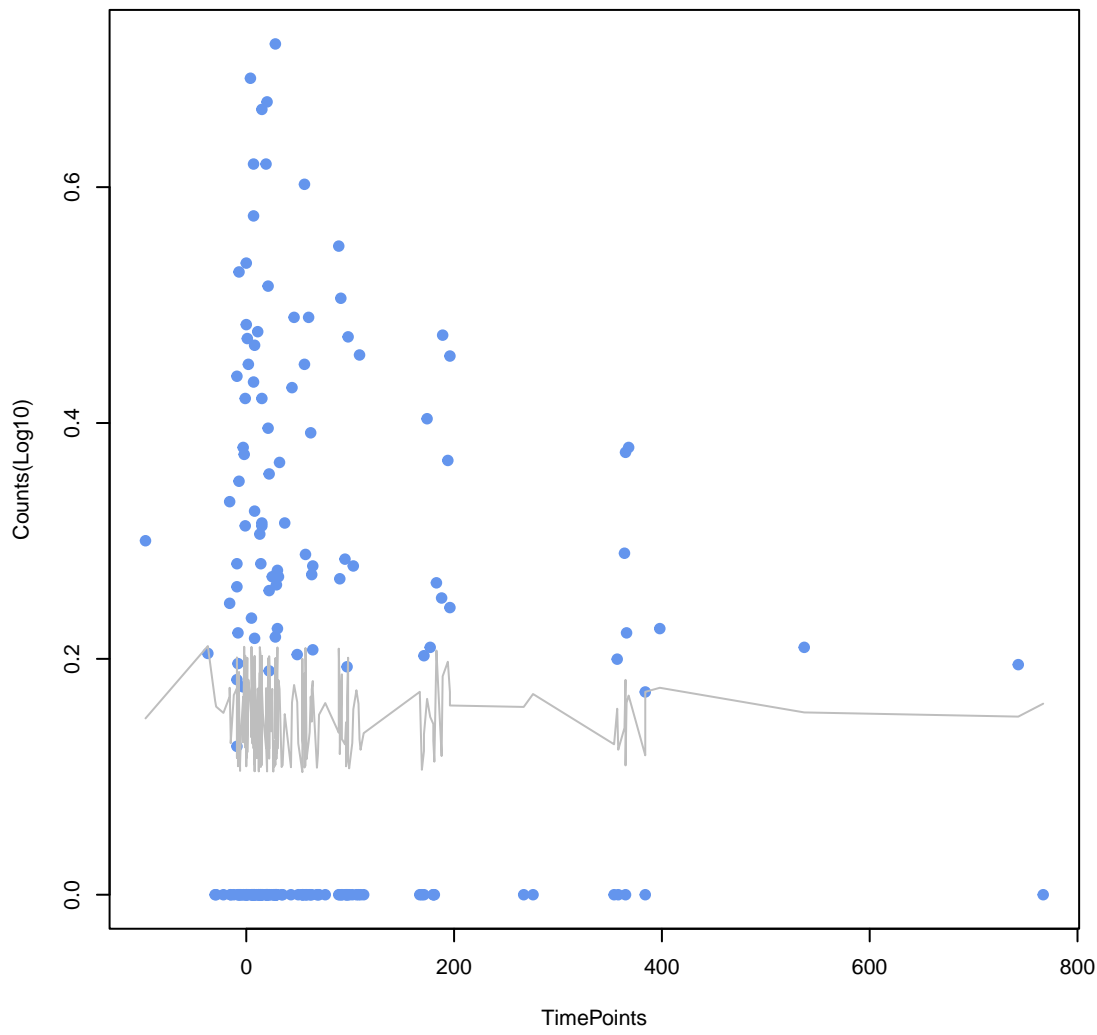
aad(6)
ANOVA P=0.877, adj. ANOVA-P=0.996



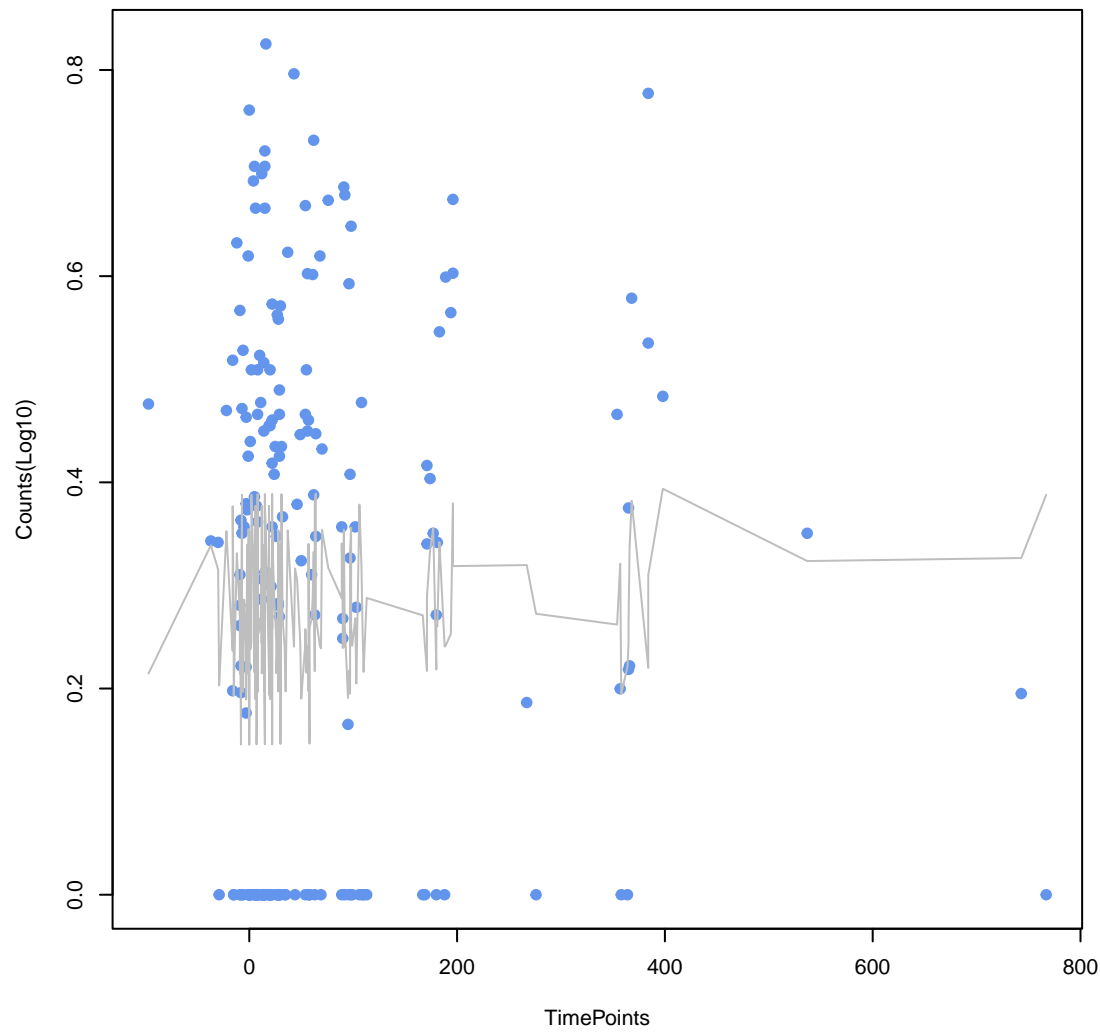
oleB
ANOVA P=0.879, adj. ANOVA-P=0.996



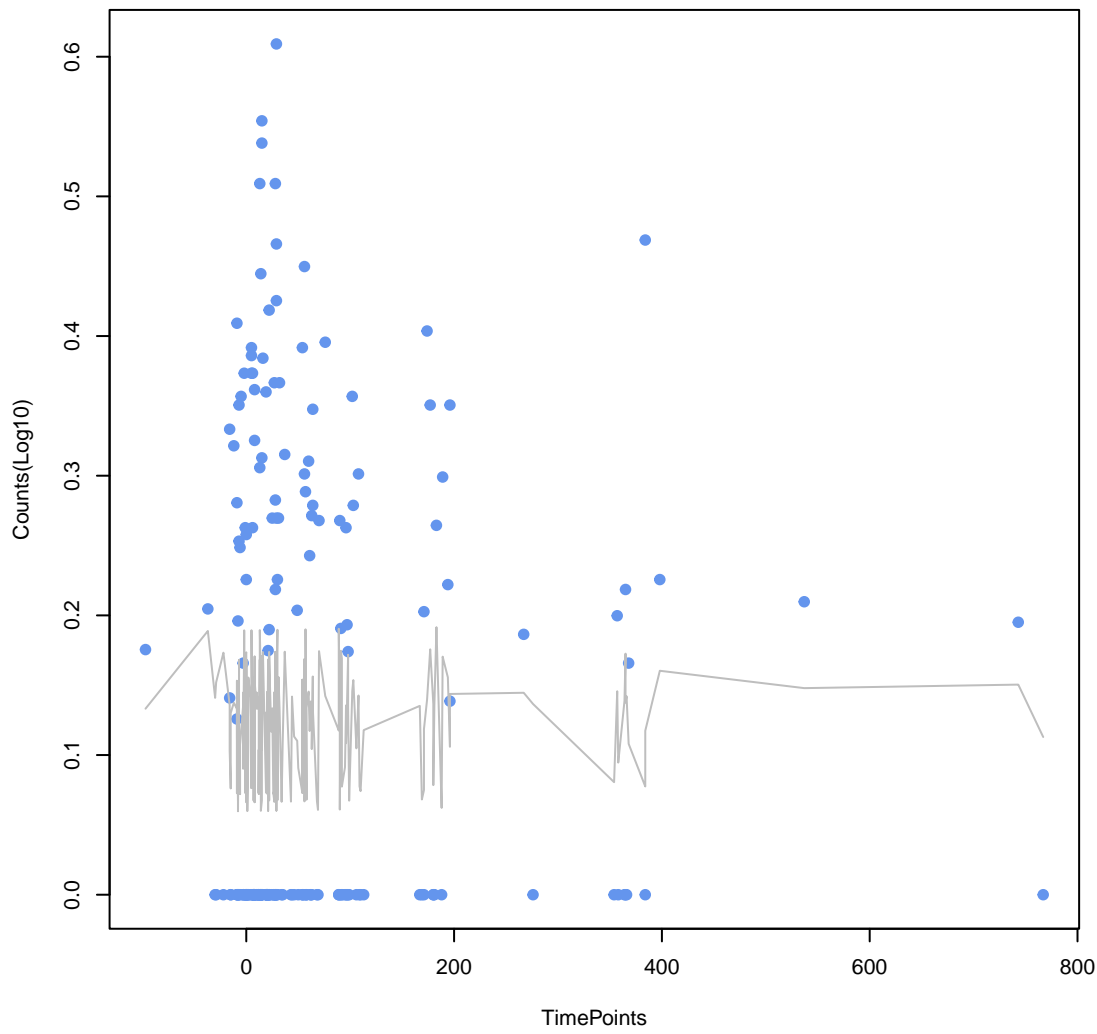
mdtP
ANOVA P=0.882, adj. ANOVA-P=0.996



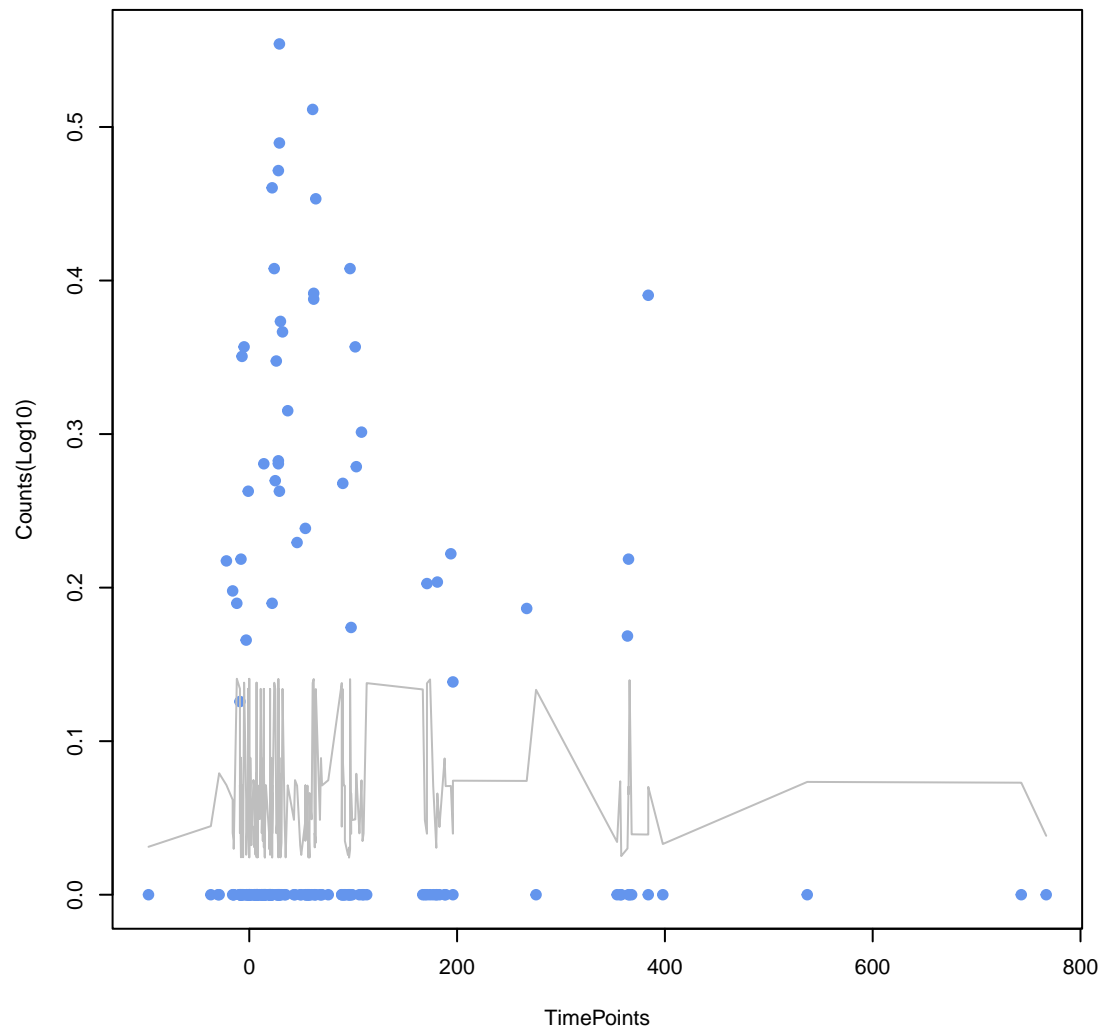
acrB
ANOVA P=0.892, adj. ANOVA-P=0.996



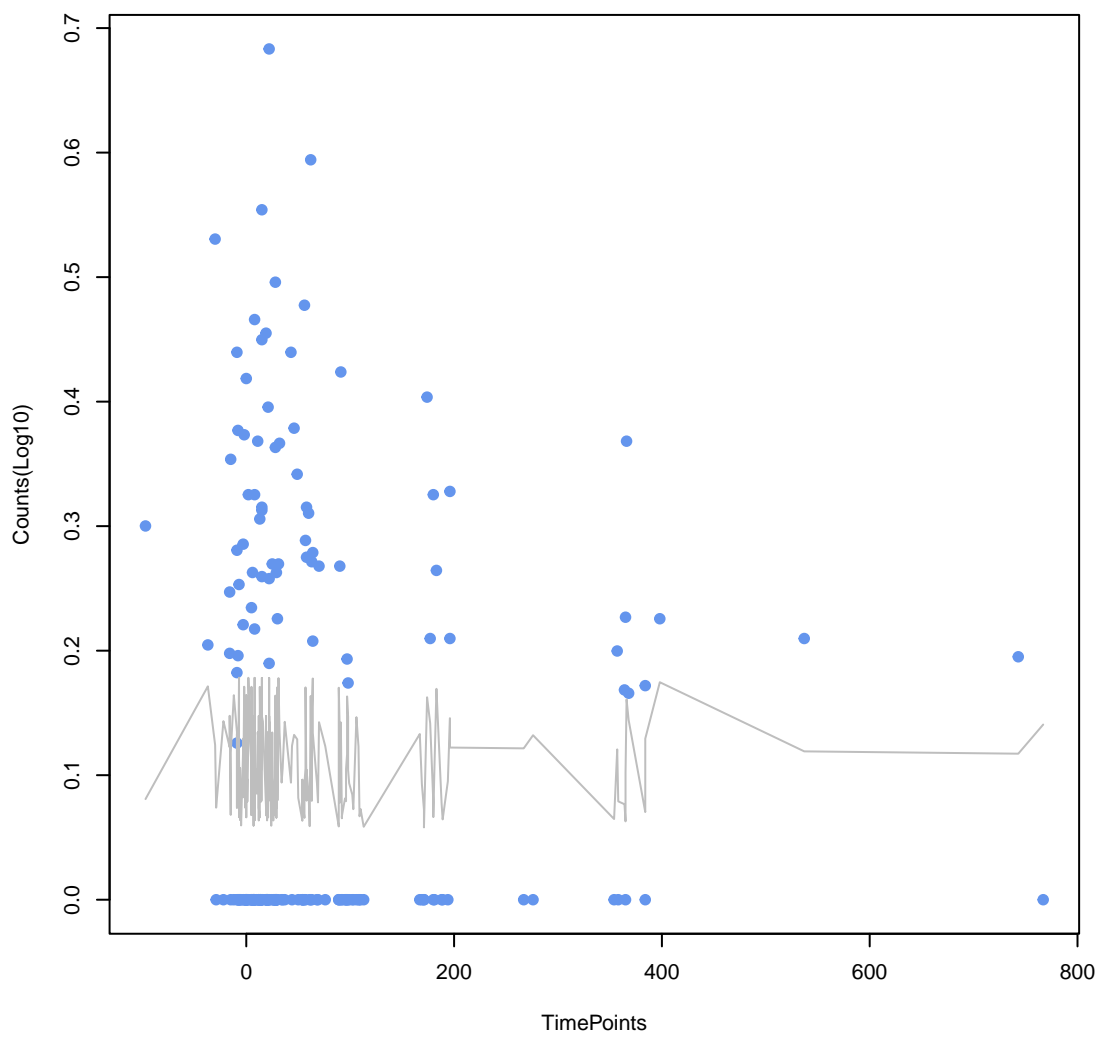
kdpE
ANOVA P=0.908, adj. ANOVA-P=0.996



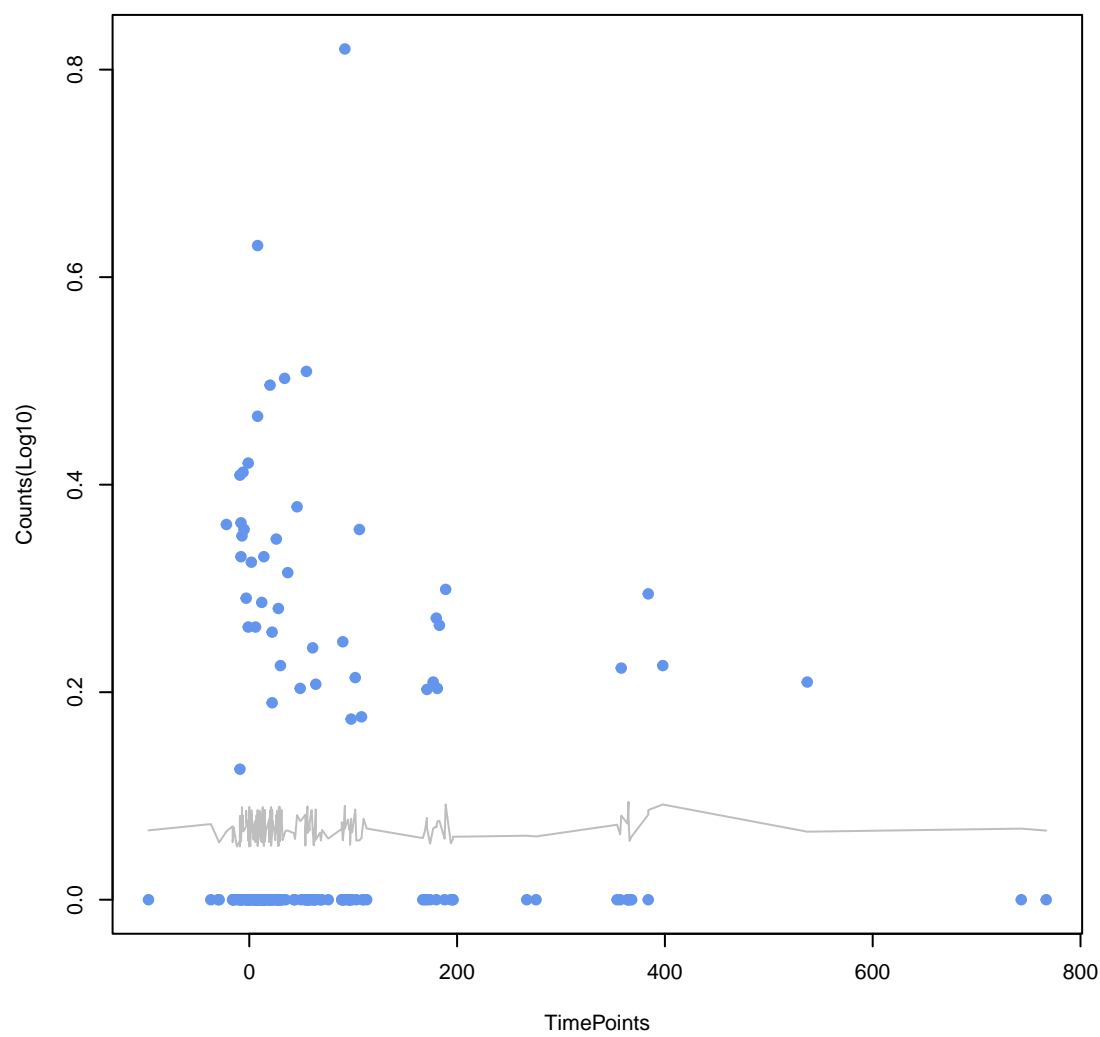
Escherichia coli UhpT with mutation conferring resistance to fosfomycin
ANOVA P=0.912, adj. ANOVA-P=0.996



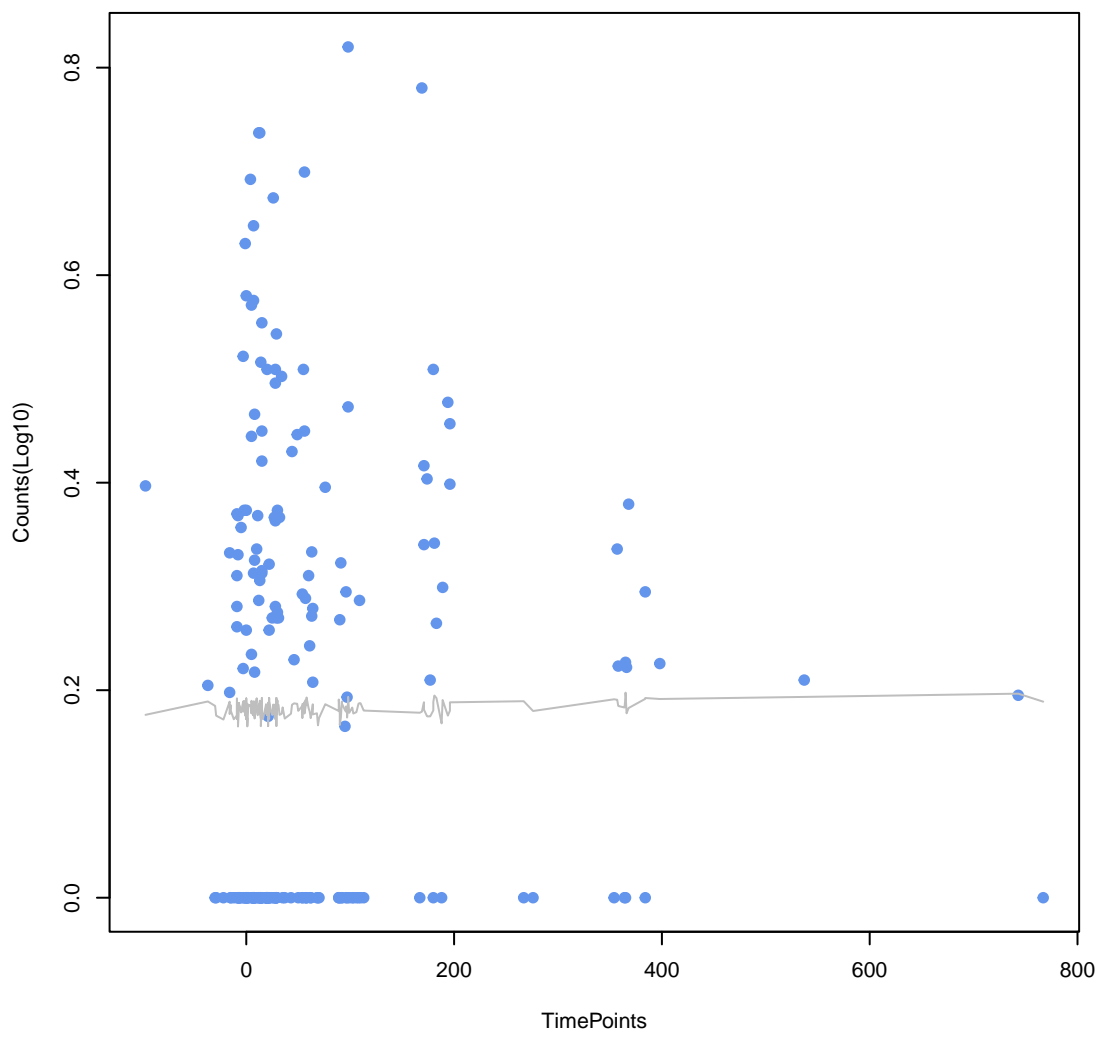
emrK
ANOVA P=0.921, adj. ANOVA-P=0.996



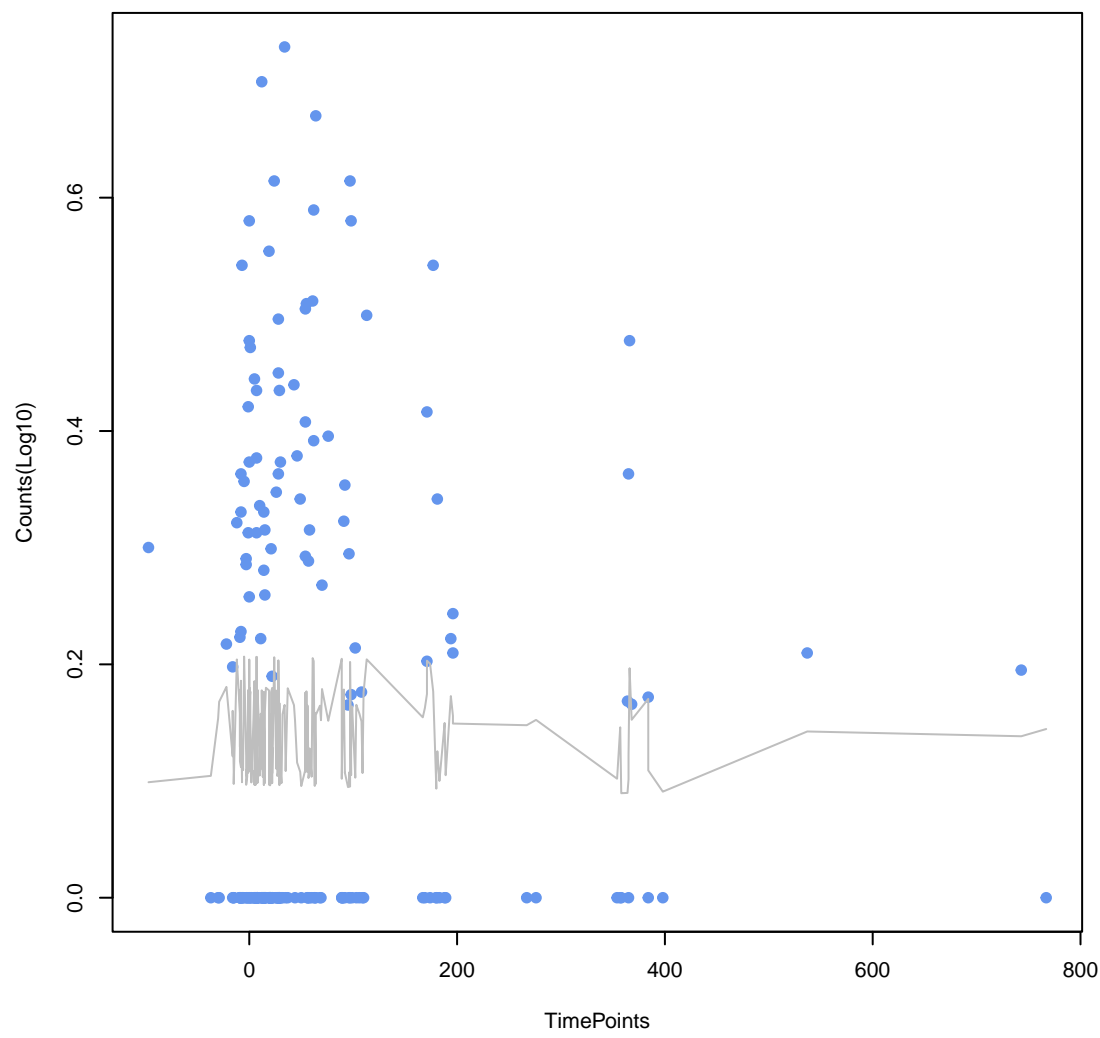
Klebsiella pneumoniae acrA
ANOVA P=0.924, adj. ANOVA-P=0.996



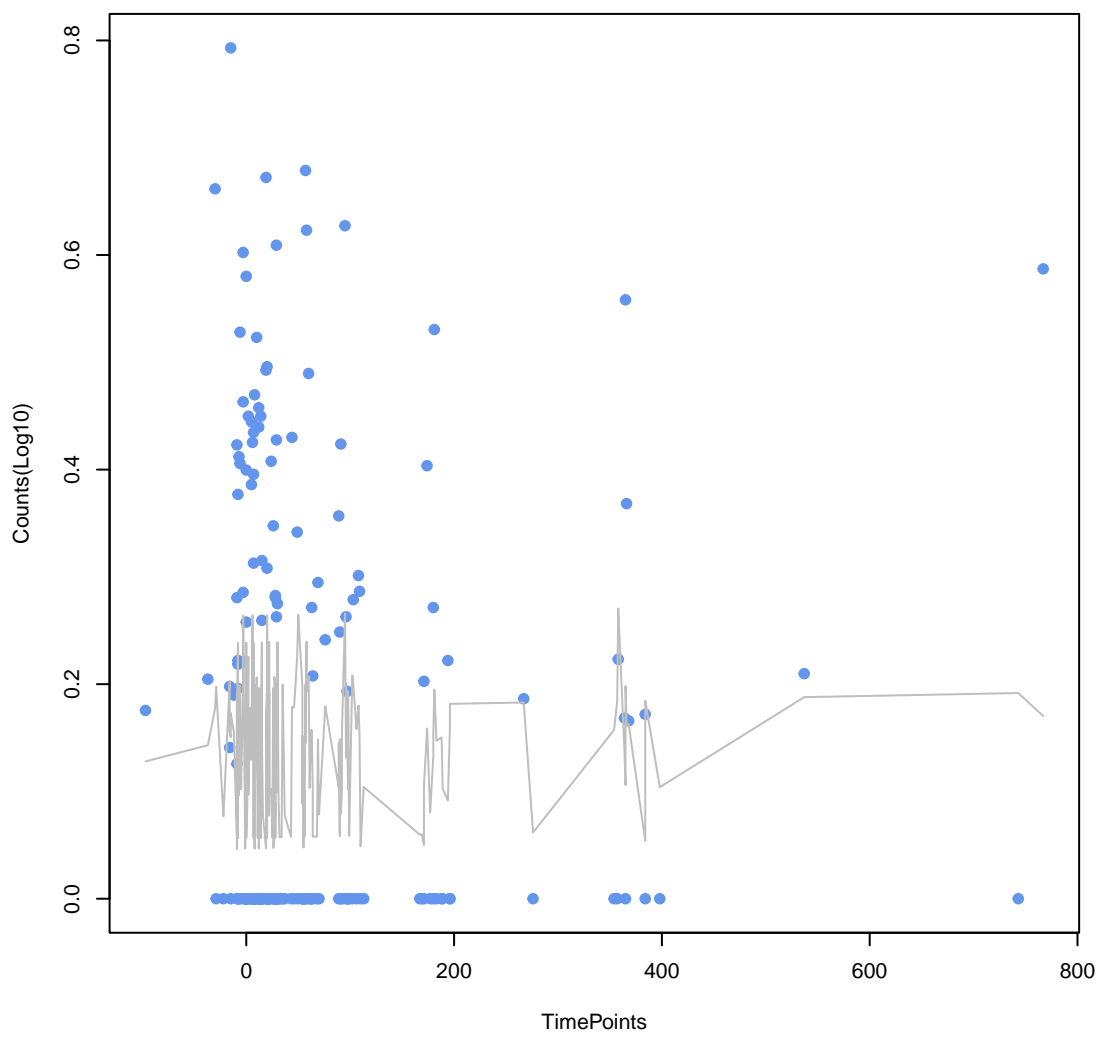
ToIC
ANOVA P=0.928, adj. ANOVA-P=0.996



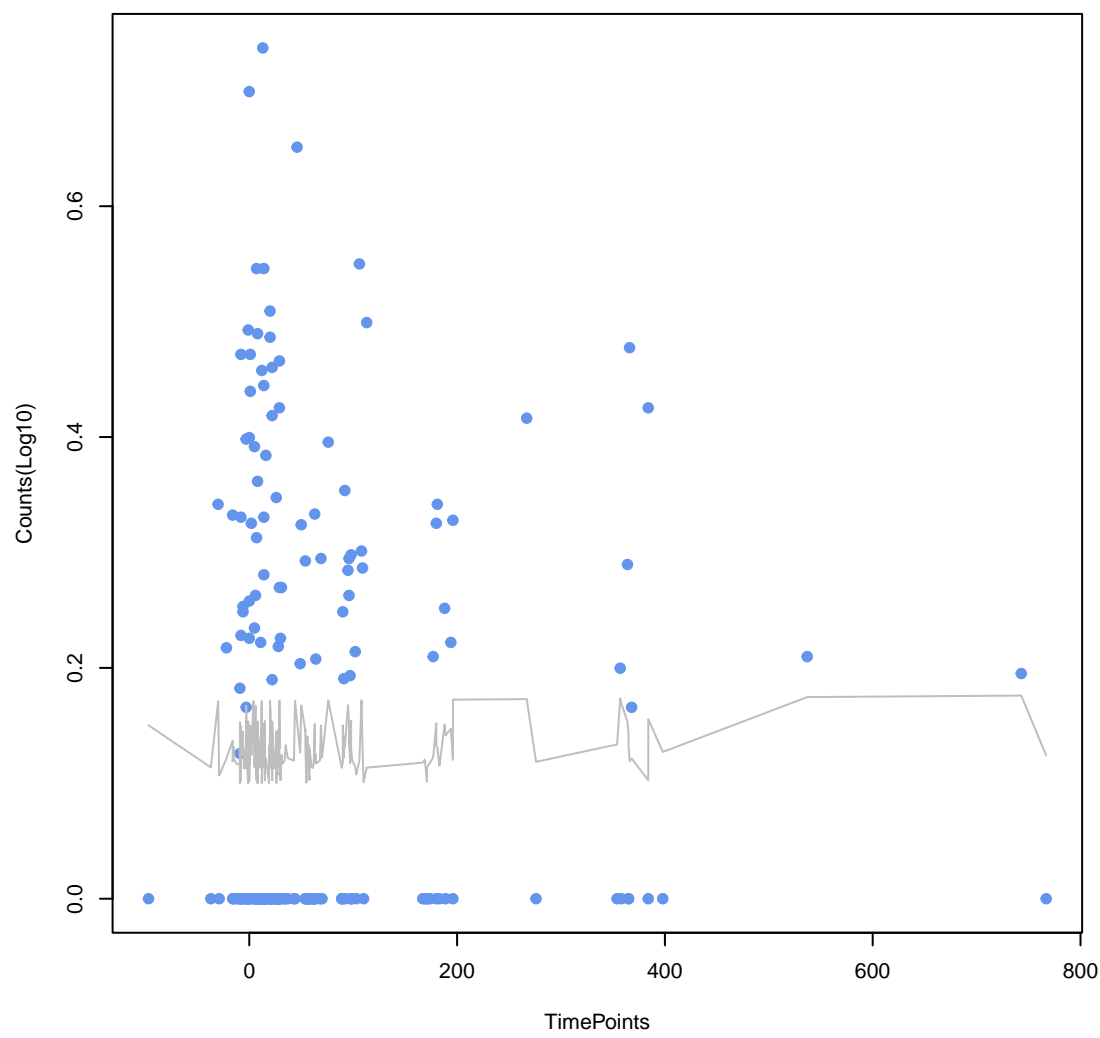
Klebsiella pneumoniae KpnH
ANOVA P=0.958, adj. ANOVA-P=0.996



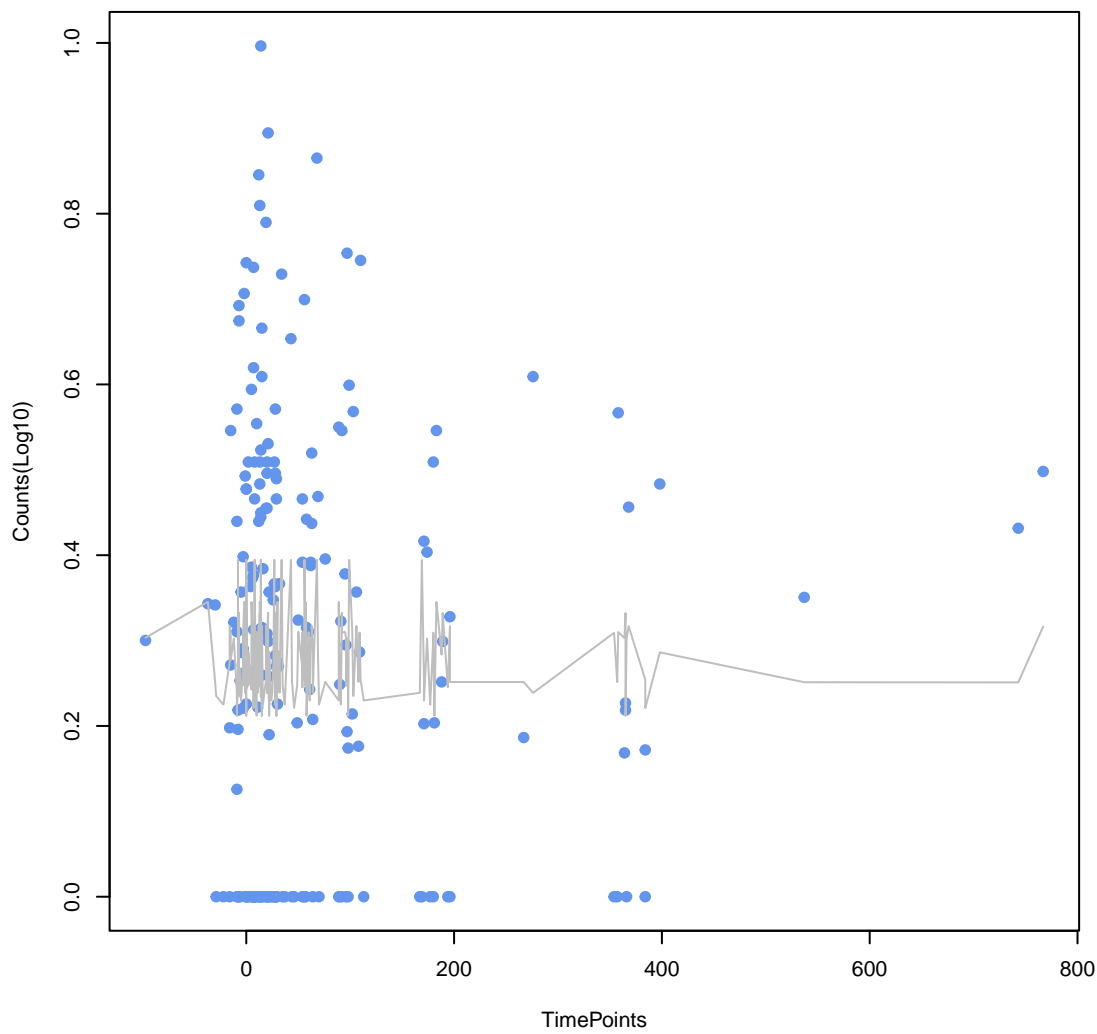
PDC-402
ANOVA P=0.958, adj. ANOVA-P=0.996



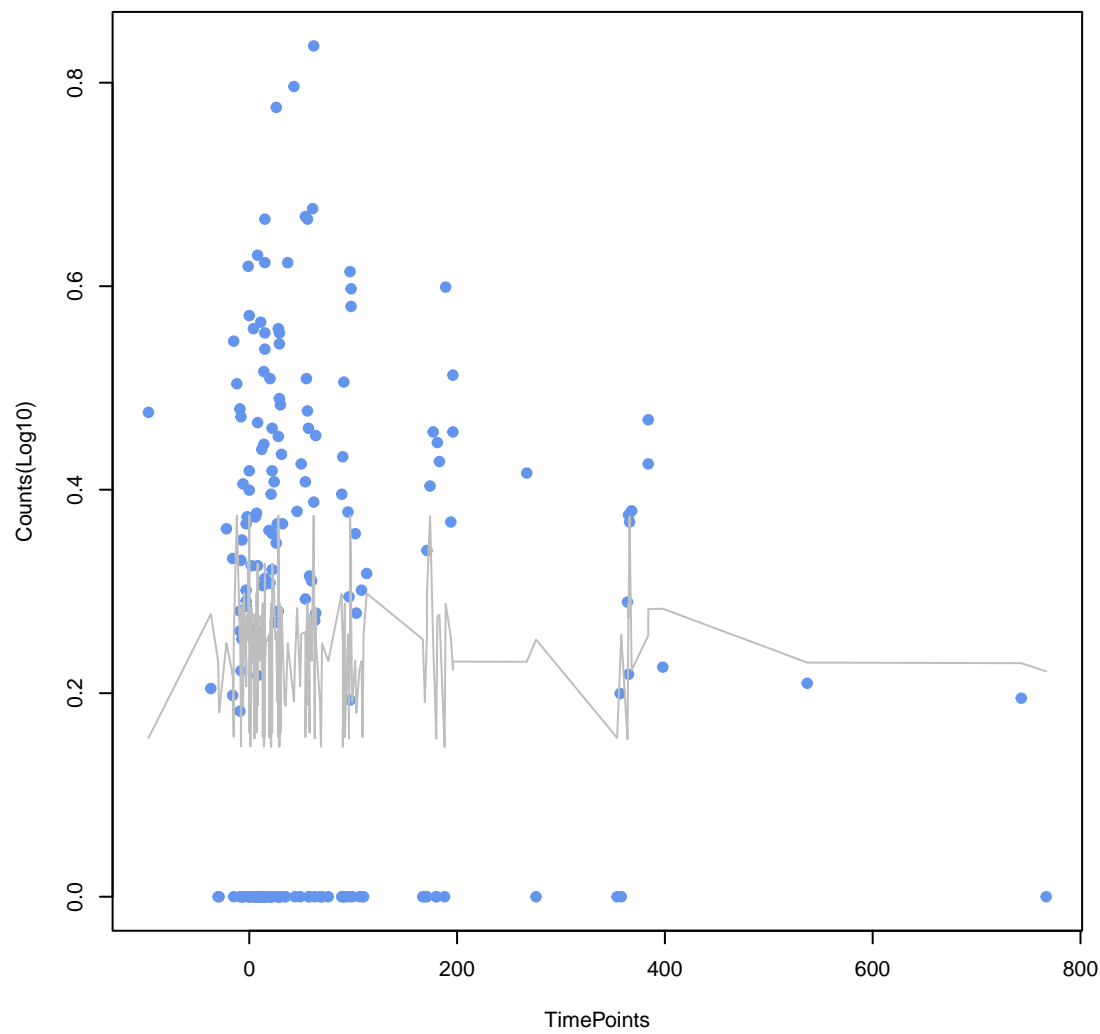
MuxC
ANOVA P=0.974, adj. ANOVA-P=0.996



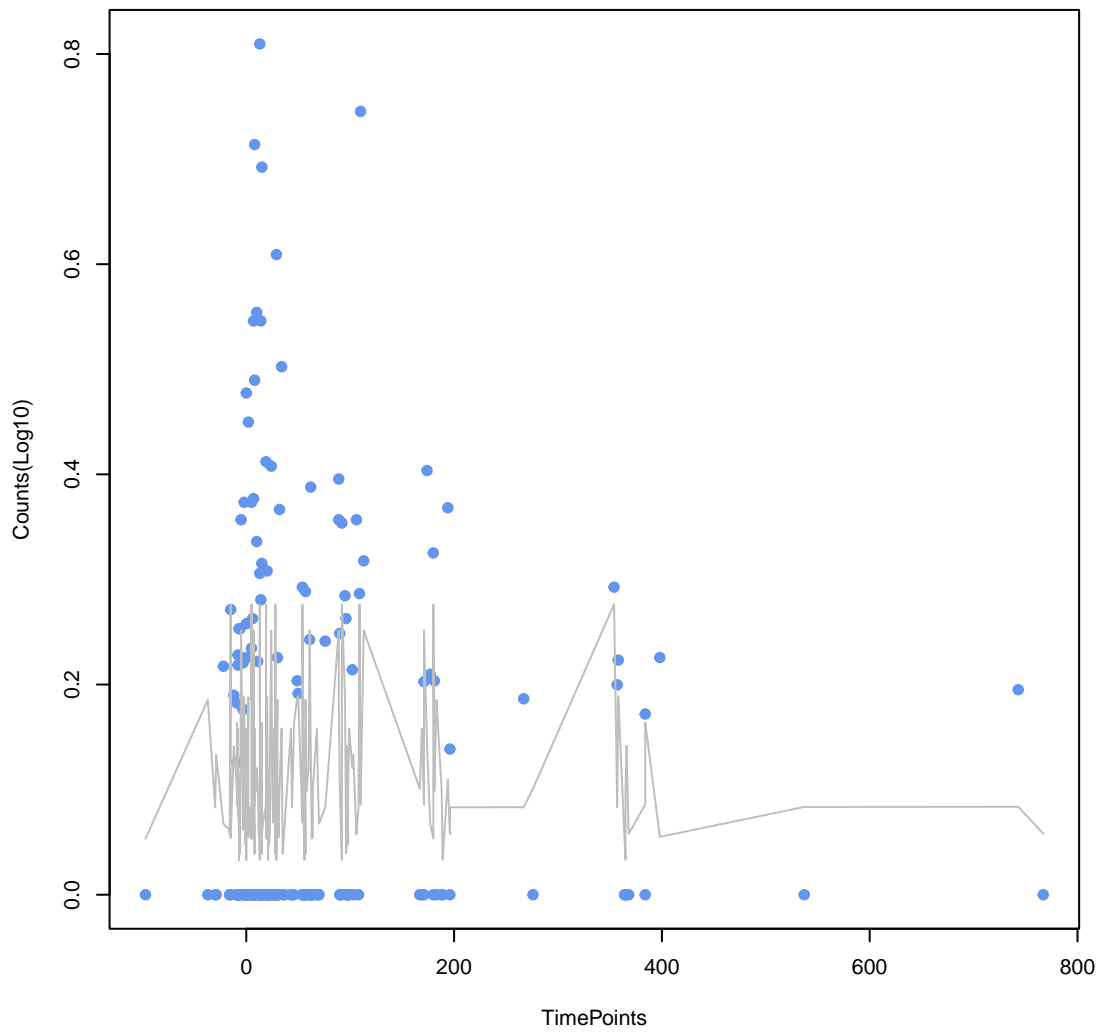
efrB
ANOVA P=0.982, adj. ANOVA-P=0.996



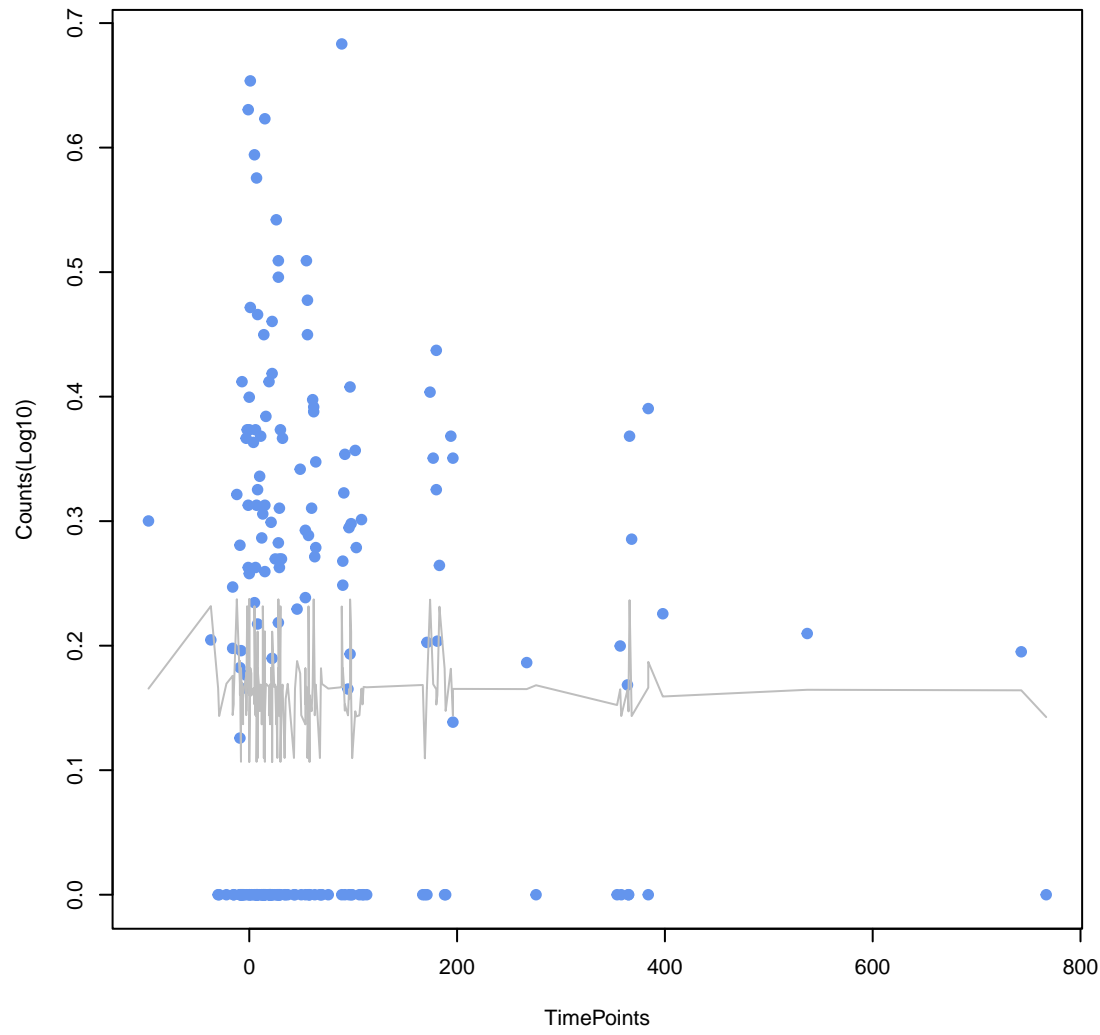
msbA
ANOVA P=0.982, adj. ANOVA-P=0.996



CfxA3
ANOVA P=0.986, adj. ANOVA-P=0.996



emrA
ANOVA P=0.989, adj. ANOVA-P=0.996



rsmA
ANOVA P=0.996, adj. ANOVA-P=0.996

